

# III – Métallurgie de l'aluminium et de ses alliages

Un simple eutectique côté Al, avec un intermétallique (fragile), Al<sub>2</sub>Cu.

Alliage à la fois important en pratique, et de surcroît excellent du point de vue recherche & pédagogie.

Phase	Composition
	[%pds Cu]
(Al)	$0 \ {\rm a} \ 5.65$
heta	$52.5 \ \text{à} \ 53.7$
$\eta_1$	$70.0 \ \text{à} \ 72.2$
$\eta_2$	$70.0 \ \text{à} \ 72.1$
$\zeta_1$	$74.4 \ \text{à} \ 77.8$
$\zeta_2$	74.4  à  75.2
$arepsilon_1$	$77.5 \ \text{à} \ 79.4$
$arepsilon_2$	$72.2 \ \text{à} \ 78.7$

Phase	Composition [%pds Cu]
	(suite)
$\delta$	77.4 à 78.3
$\gamma_0$	$77.8 \ \text{\`a} \ 84$
$\gamma_1$	$79.7 \ \text{à} \ 84$
$eta_0$	$83.1 \ \text{à} \ 84.7$
$\beta$	$85.0 \ \text{à} \ 91.5$
$\alpha_2$	$88.5 \ \text{à} \ 89$
(Cu)	$90.6 \ \text{à} \ 100$

#### Al-Cu

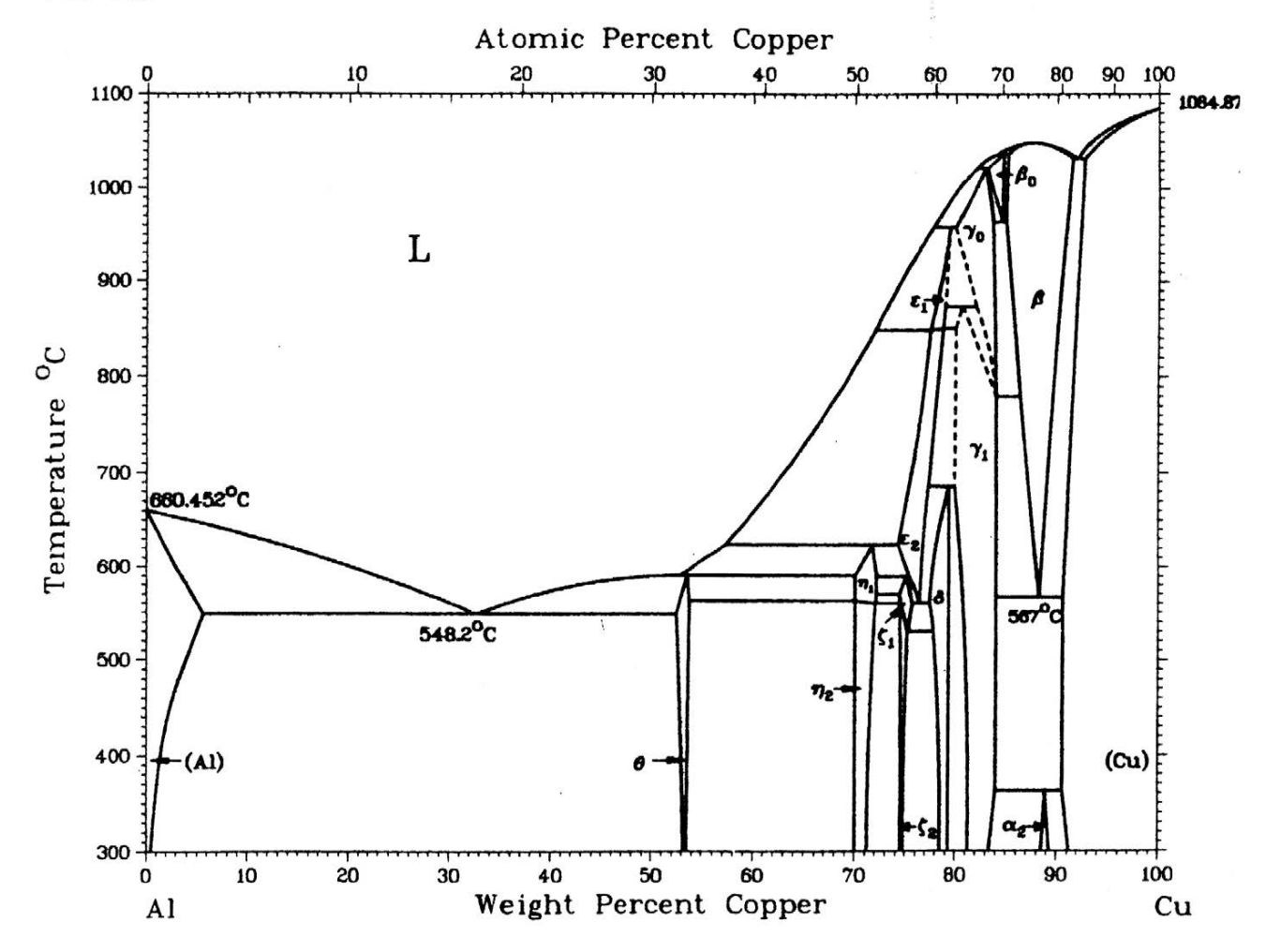


FIGURE II-11 – Diagramme de phase d'équilibre du système Al-Cu. Source: ASM International *Handbook online*, Vol. 3, 2011; J.L. Murray, 1985.

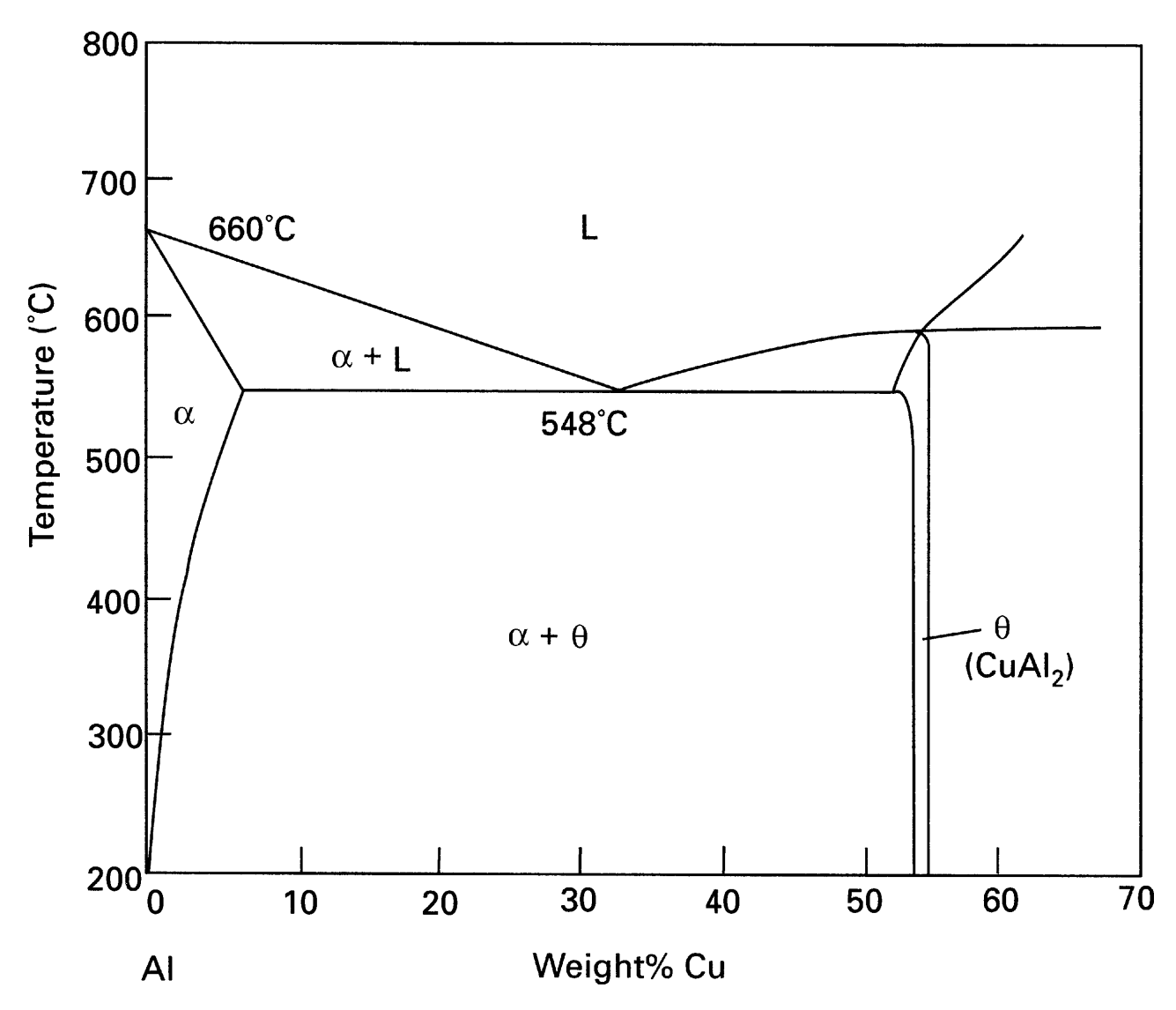
# **EPFL** Points triples des diagrammes de phase

Table II-2 – Typologie et terminologie des points triples.

Nom du point triple	Réaction lors du refroidissement	Apparence schématique sur un diagramme de phase
Eutectique :	$L \longrightarrow \alpha + \beta$	$\alpha$ L $\beta$
Eutectoïde:	$\alpha \longrightarrow \beta + \gamma$	$\beta$ $\alpha$ $\gamma$
Péritectique :	$L + \alpha \longrightarrow \beta$	$L$ $\beta$ $\alpha$
Péritectoïde :	$\alpha + \beta \longrightarrow \gamma$	$\alpha$ $\beta$

Côté Al du diagramme de phase.

On nomme par la lettre  $\theta$  l'intermétallique  $\mathrm{Al_2Cu}$  et par la lettre  $\alpha$  la solution solide de  $\mathrm{Cu}$  dans  $\mathrm{Al}$ 



Source: M.F. Ashby & D.R.H. Jones, Engineering Materials Vol. 2, 4<sup>th</sup> Ed., 2006, Elsevier Butterworth.

#### **EPFL** La loi du levier

si pour un alliage de C% de B dans A, qui contient deux phases de composition  $C_{\alpha} < C_{\beta}$ , on doit avoir deux relations. D'une part, la somme des fractions des deux phases doit être égale à 1, qu'elles soient massiques ou atomiques :

$$f_{\alpha} + f_{\beta} = 1 \tag{II-4}$$

D'autre part, la composition de l'alliage doit être retrouvée dans la moyenne de celle des deux phases en présence :

$$C = f_{\alpha}C_{\alpha} + f_{\beta}C_{\beta} \tag{II-5}$$

De ceci, on peut déduire (simple question d'algèbre) les fractions respectives de chacune des phases en fonction de leurs deux différentes concentrations :

$$f_{\alpha} = \frac{C_{\beta} - C}{C_{\beta} - C_{\alpha}} \tag{II-6}$$

$$f_{\beta} = \frac{C - C_{\alpha}}{C_{\beta} - C_{\alpha}} \tag{II-7}$$

où  $f_i$  est la fraction de la phase i par rapport à l'unité utilisée pour la composition C. Par exemple, si l'unité de mesure de la concentration est le pourcentage massique,  $f_i$  est la fraction massique de phase i de l'alliage de composition C. Si C est mesurée en fraction ou pour cent molaire,  $f_i$  est la fraction molaire de phase i par atome ou mole d'alliage.

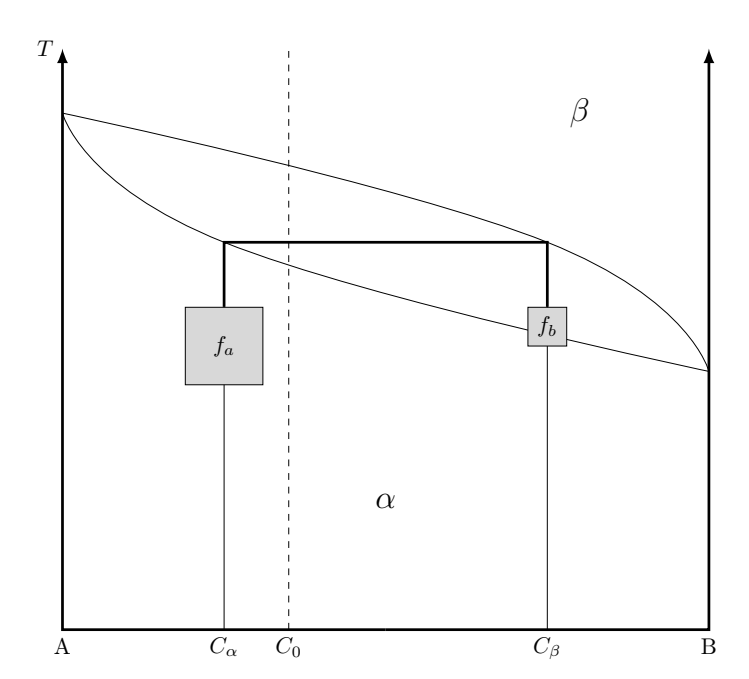


FIGURE II-13 – Illustration de la loi du levier.

Pour les 3 alliages

Al-4.5 % pds Cu

Al-10 % pds Cu

Al-33 % pds Cu

quelle est la structure d'équilibre en fonction de la température ?

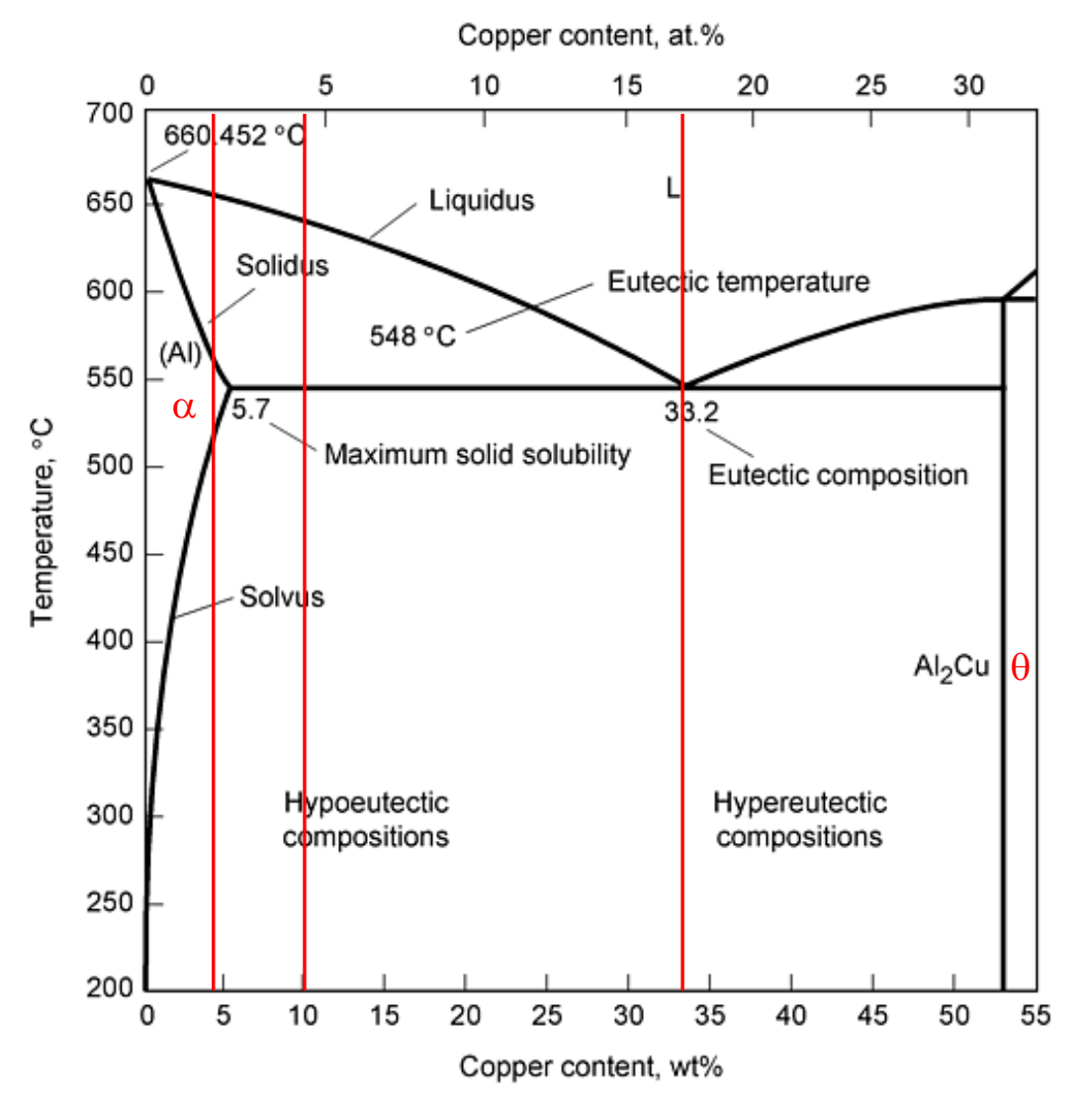


FIGURE II-12 — Diagramme de phase partiel du sytème Al-Cu. Source: ASM International *Handbook online*, Vol. 4, 2011.

Pour l'alliage

Al-4.5 % pds Cu

la phase (primaire) Al (avec du Cu en solution solide) est la première à croître: celle-ci apparaît sous forme de dendrites:

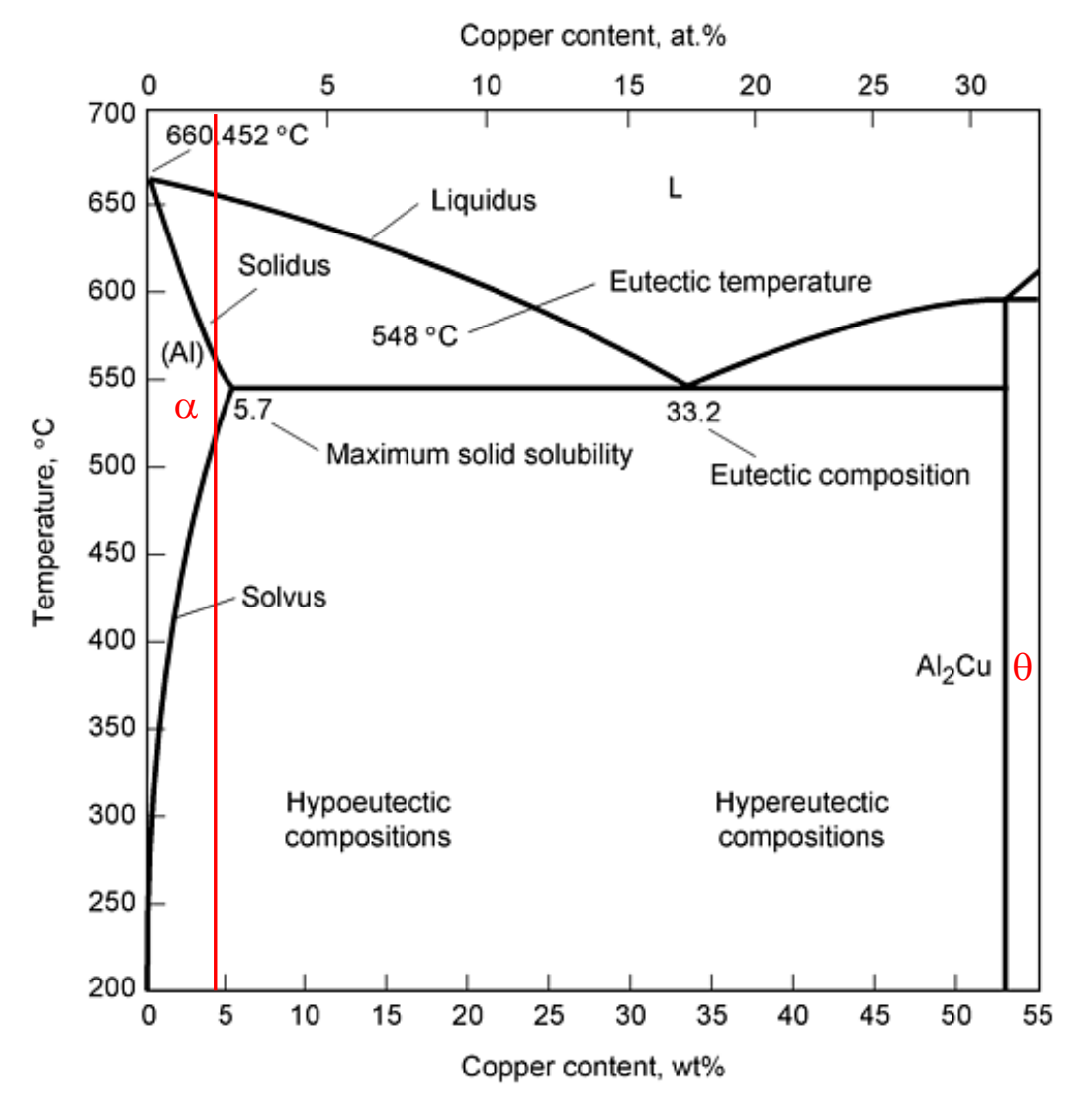


FIGURE II-12 — Diagramme de phase partiel du sytème Al-Cu. Source: ASM International *Handbook online*, Vol. 4, 2011.

Pour les 2 alliages
Al-4.5 % pds Cu
Al-10 % pds Cu
la phase (primaire) Al
(avec du Cu en
solution solide) est la
première à croître:
celle-ci apparaît sous
forme de dendrites:

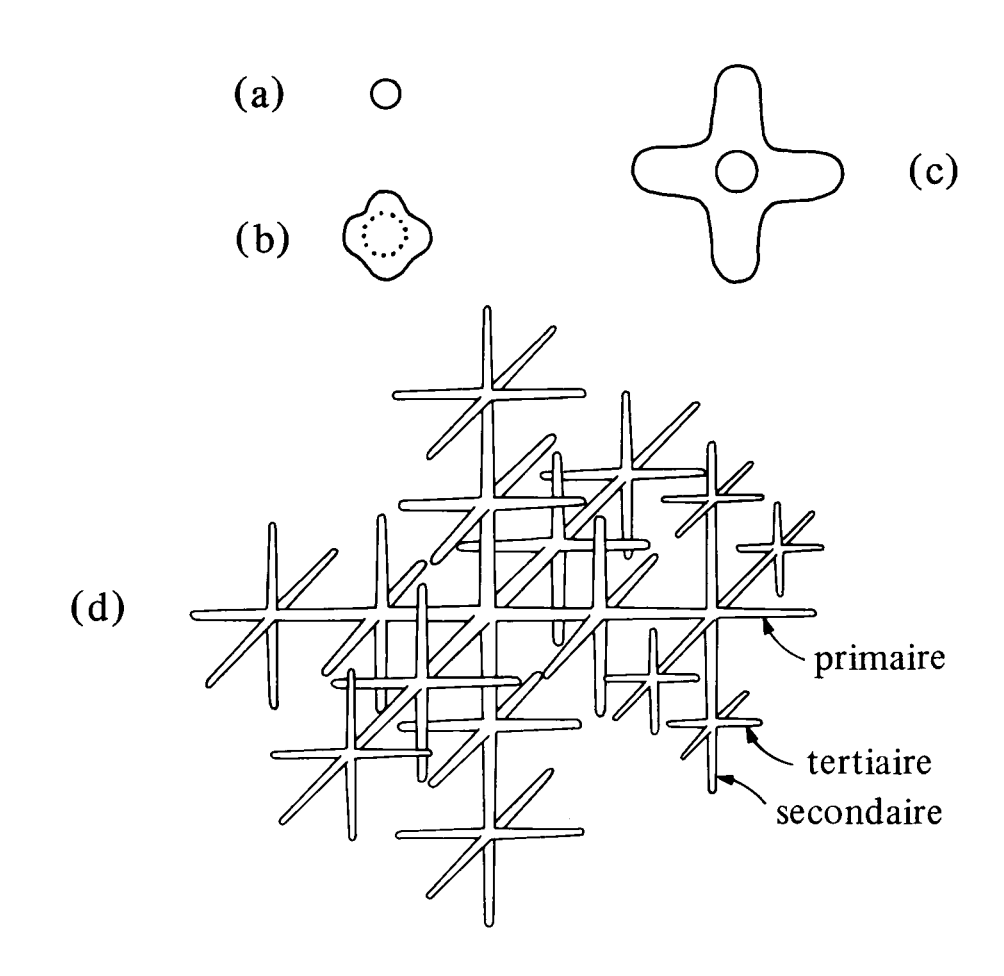


FIGURE II-15 — Croissance d'une structure dendritique : (a) germe cristallin sphérique ; (b) développement d'instabilités à la surface du cristal ; (c) premier stade de formation de la dendrite ; (d) dendrite en cours de développement.

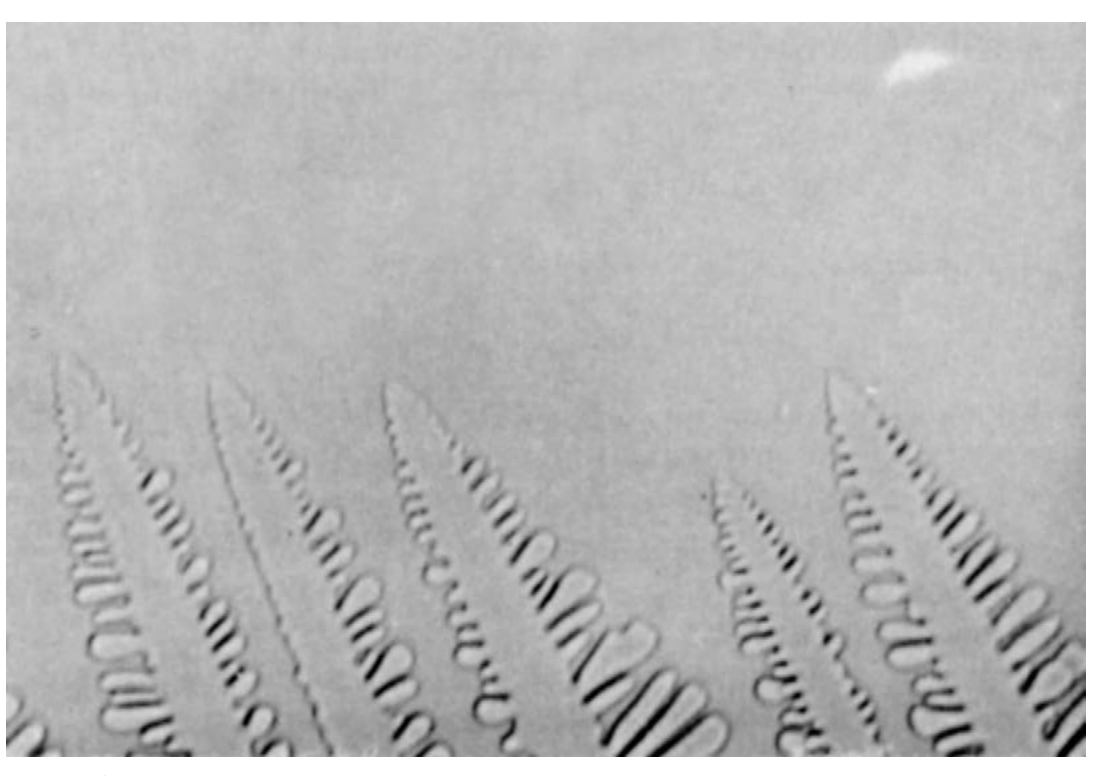
Source: W. Kurz, J.P. Mercier, G. Žambelli, Traité des Matériaux, Vol. 1, Introduction à la Science des Matériaux, 3e Édition, Presses Polytechniques et Universitaires Romandes, Lausanne, 2002; d'après Porter et Easterling, 1981.

#### **Des dendrites EPFL**



Alexey Kljatov / Shutterstock

Source: https://www.treehugger.com/macro-photossnowflakes-show-impossibly-perfect-designs-4858285



#### **FIGURE 7.8**

Most metals solidify with a dendritic structure. It is hard to see dendrites growing in metals but they can be seen very easily in transparent organic compounds like camphene which—because they have spherical molecules—solidify just like metals.

Source: M.F. Ashby & D.R.H. Jones, Engineering Materials Vol. 2, 4th Ed., 2006, Elsevier Butterworth.

Pour l'alliage Al-33 % pds Cu les deux phases (primaire) Al (avec du Cu =  $\alpha$ ) et Al<sub>2</sub>Cu ( $\theta$ ) vont croître simultanément (croissance couplée): on forme une structure

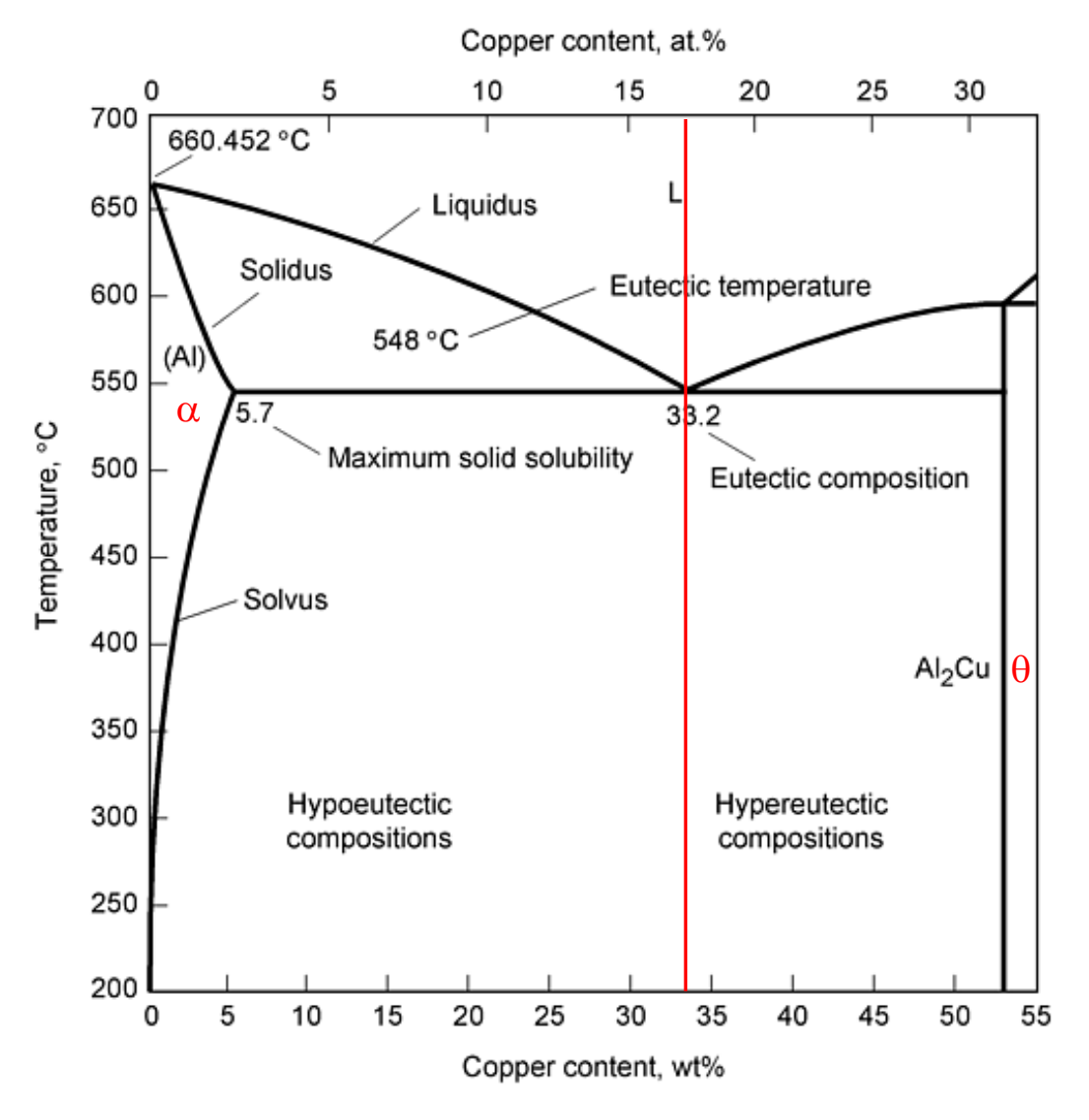


FIGURE II-12 – Diagramme de phase partiel du sytème Al-Cu. Source: ASM International *Handbook online*, Vol. 4, 2011.

eutectique

Pour l'alliage

Al-33 % pds Cu

les deux phases (primaire)

Al (avec du Cu =  $\alpha$ ) et

Al<sub>2</sub>Cu (θ) vont croître

simultanément

(croissance couplée): on

forme une structure

eutectique

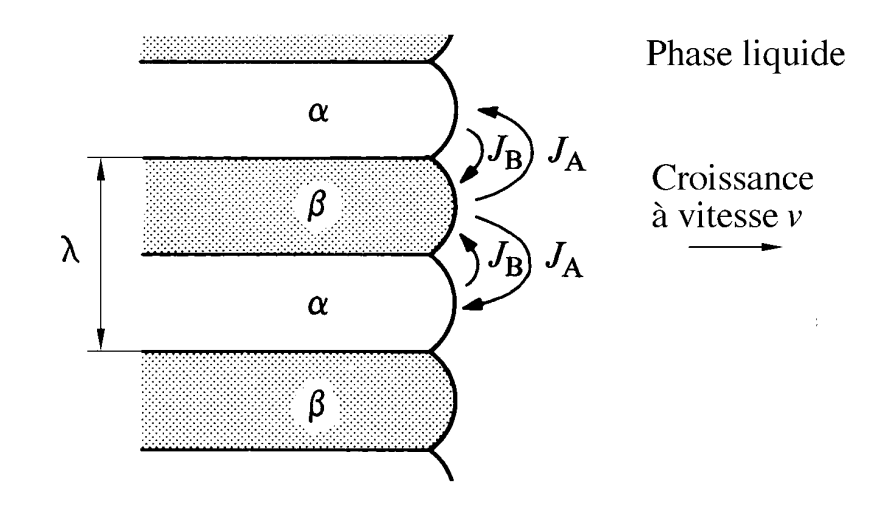


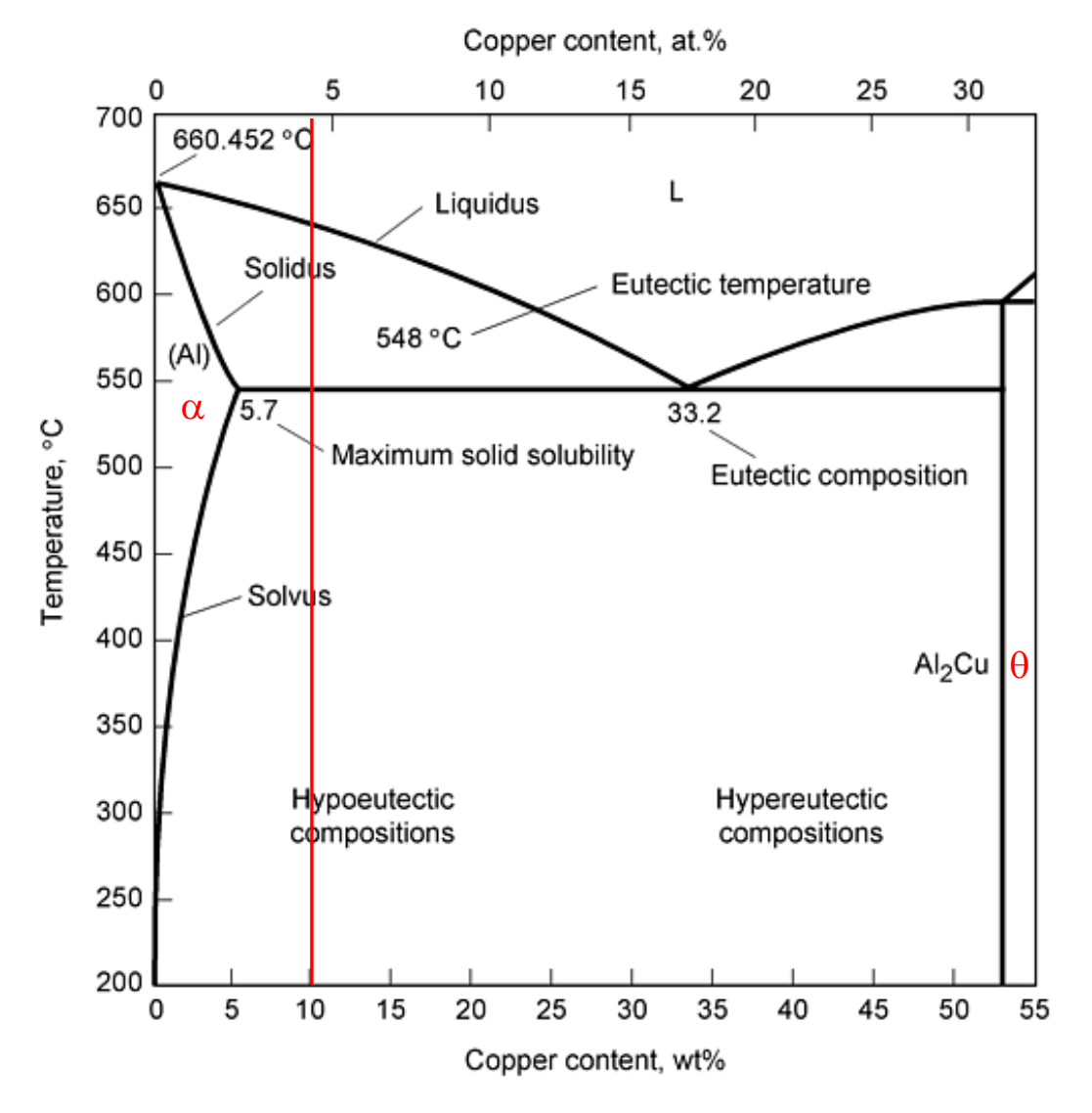
FIGURE II-14 – Croissance d'une structure eutectique.

Source: W. Kurz, J.P. Mercier, G. Zambelli, *Traité des Matériaux, Vol. 1, Introduction à la Science des Matériaux*, 3<sup>e</sup> Édition, Presses Polytechniques et Universitaires Romandes, Lausanne, 2002

#### Le système Al-Cu **EPFL**

Pour le troisième alliage Al-10 % pds Cu on a à l'équilibre les deux structures (d'une puis deux phases):

- des dendrites d'Al primaire ( $\alpha$ ), puis
- l'eutectique ( $\alpha \& \theta$ )



Chapitre 3 – Métaux et Alliages – Al & Cu - 12 FIGURE II-12 – Diagramme de phase partiel du sytème Al-Cu. Source: ASM International *Handbook online*, Vol. 4, 2011.

#### **EPFL** La loi du levier

Notez que la loi du levier, qui découle des règles de la thermodynamique, présuppose qu'à chaque instant les phases en présence puissent adapter leur concentration. Si cela est vrai des liquides car la diffusion y est rapide, cette homogénéisation n'est pas possible au sein de la plupart des phases solides dans les temps usuellement impartis pour la solidification.

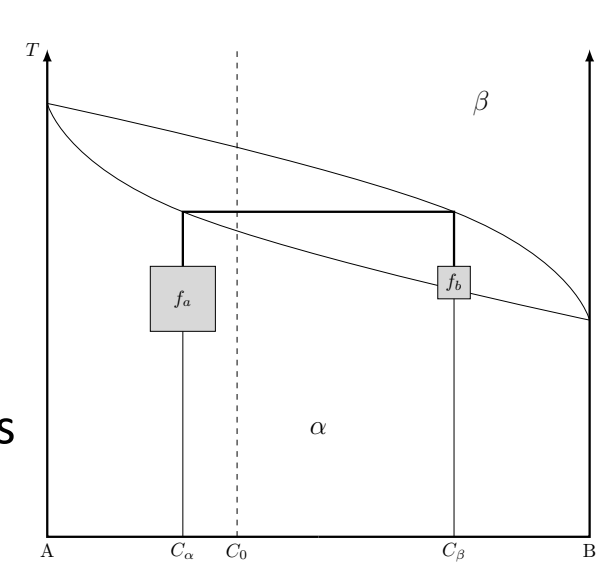


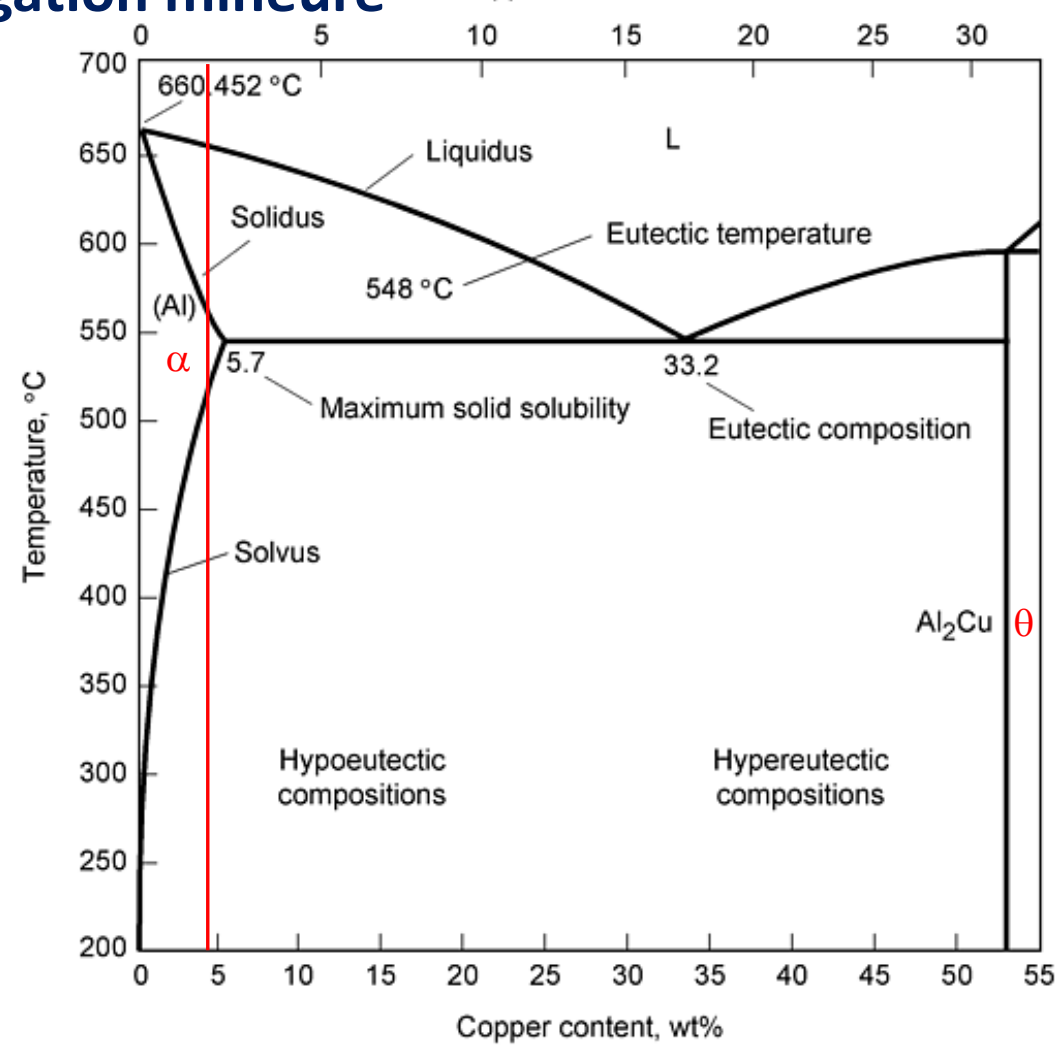
Figure II-13 – Illustration de la loi du levier.

Il en résulte qu'à l'exception de certains systèmes pour lesquels la diffusion dans le solide est rapide (soluté interstitiel, dont C dans Fe), on observe plutôt l'inverse: une fois formé, le solide ne change plus sa composition. Ce qu'on voit donc quand on observe au microscope la structure solidifiée est le solide à la concentration qu'il avait quand il avait solidifié, presque sans modification pendant la suite de la solidification et du refroidissement de l'alliage.

#### **EPFL** La microségrégation, ou ségrégation mineure

L'alliage contient de ce fait des gradients de concentration voire des phases non prévues par le diagramme de phase: c'est la ségrégation mineure ou microségrégation (microsegregation).

Ceci fait que dans l'Al-4.5 % pds Cu la phase  $\theta$  est formée (à la température eutectique) pendant la solidification de l'alliage.



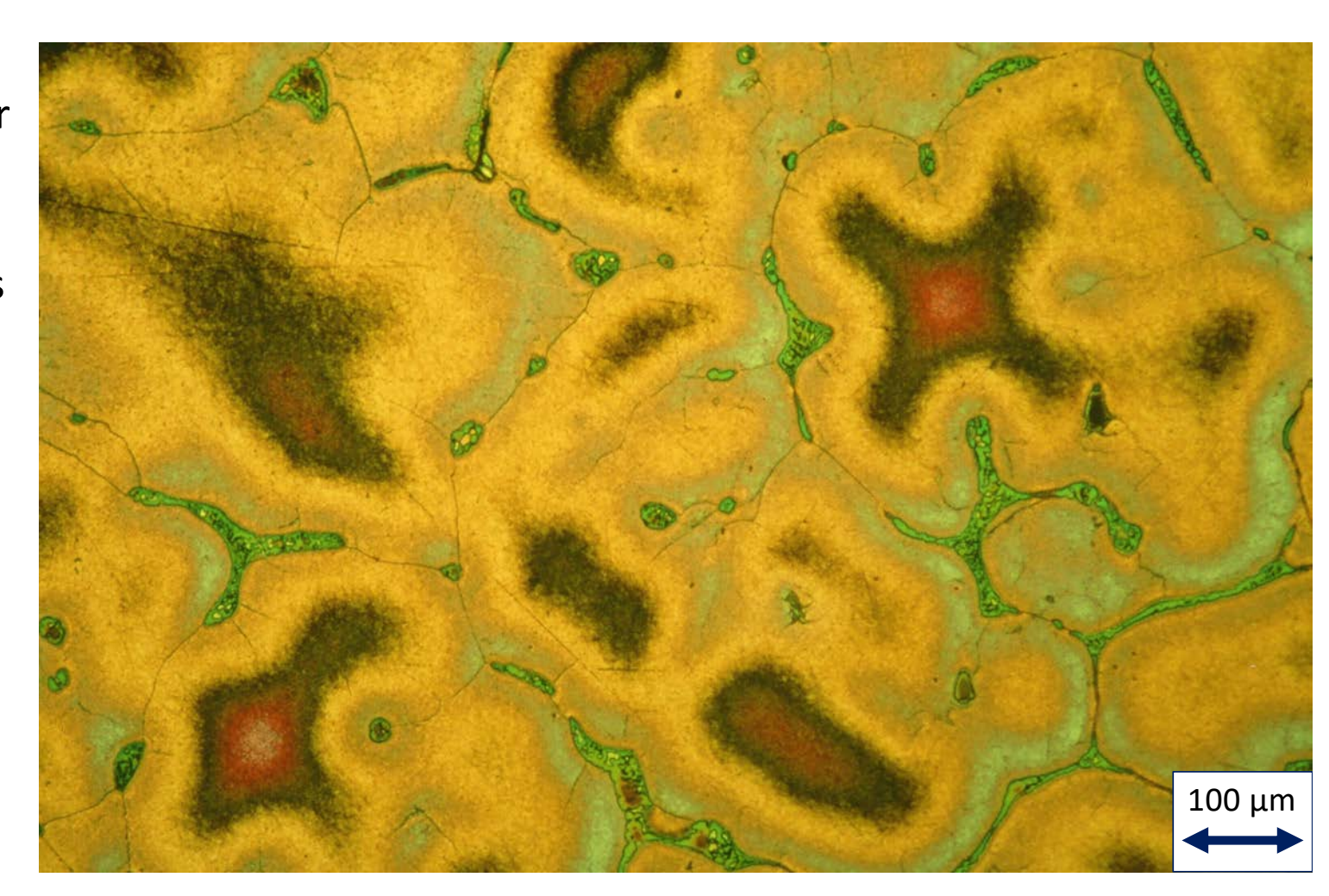
Copper content, at.%

FIGURE II-12 — Diagramme de phase partiel du sytème Al-Cu. Source: ASM International *Handbook online*, Vol. 4, 2011.

# **EPFL** Notion de base: la microségrégation, ou ségrégation mineure

Micrographie d'Al-4.5 % pds Cu brut de coulée, la couleur y est fonction de la teneur en Cu dans la phase  $\alpha$ : on y distingue des dendrites avec des gradients de concentration et la phase  $\theta$ =  $Al_2$ Cu (en vert) au sein d'un eutectique.

Cette phase  $\theta$  est hors équilibre, tout comme les gradients de concentration au sein du solide.

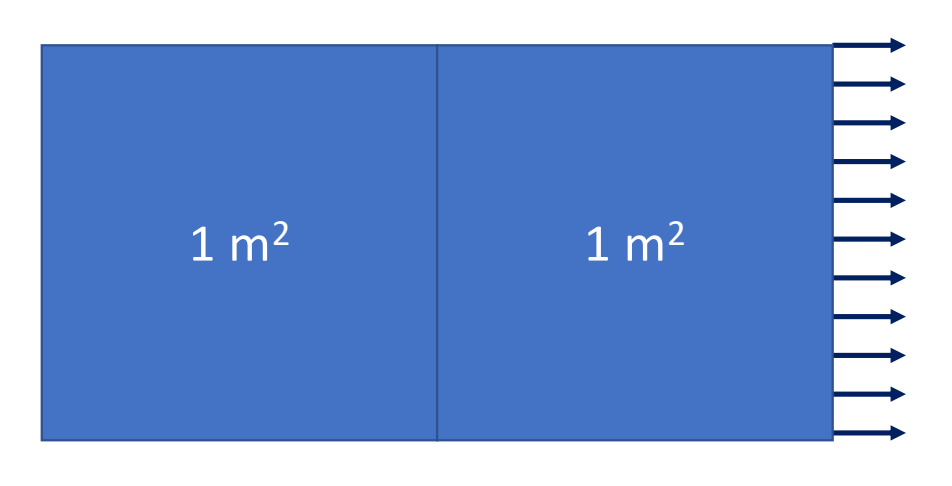


#### **EPFL** Notion de base: la capillarité

Les surfaces et interfaces sont des lieux d'énergie locale plus élevée car les liaisons atomiques y sont généralement moins stables. Leur création est donc accompagnée d'un excédent d'énergie:

c'est l'énergie de surface ou d'interface  $\gamma$  (J/m<sup>2</sup>).

Notez que 1 J/m<sup>2</sup> = 1 N/m; cette énergie de surface/interface se traduit par une *tension* de surface/interface (quand elle est isotrope; quand elle dépend de l'orientation de la surface la situation est plus complexe):



Il faut, pour créer 1 m<sup>2</sup> de surface, tirer sur 1 m avec une force  $F = \gamma (J/m^2) = \gamma (N/m)$ 

Chapitre 3 – Métaux et Alliages – Al & Cu - 16

Donc dans une sphère de matière entourée par une surface ou interface d'énergie surfacique  $\gamma$  , la matière au sein de la sphère est soumise à une surpression

ΔP donnée par le simple équilibre de forces

$$\pi R^2 \Delta P = 2\pi R \gamma$$

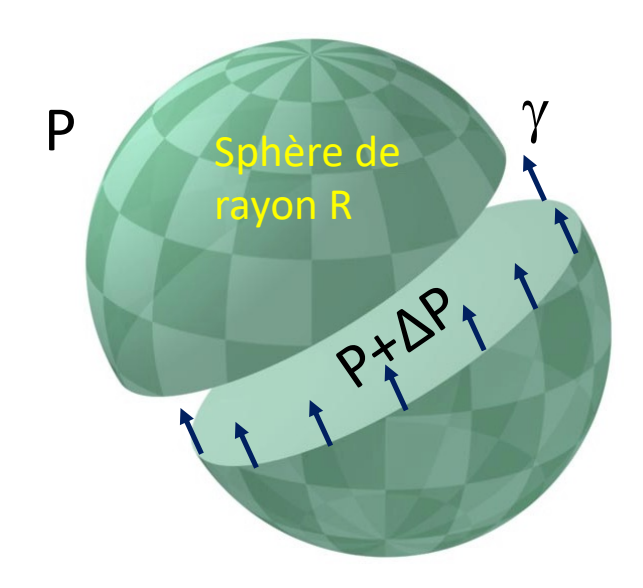
avec pour résultat:

$$\Delta P = 2\gamma/R$$
.

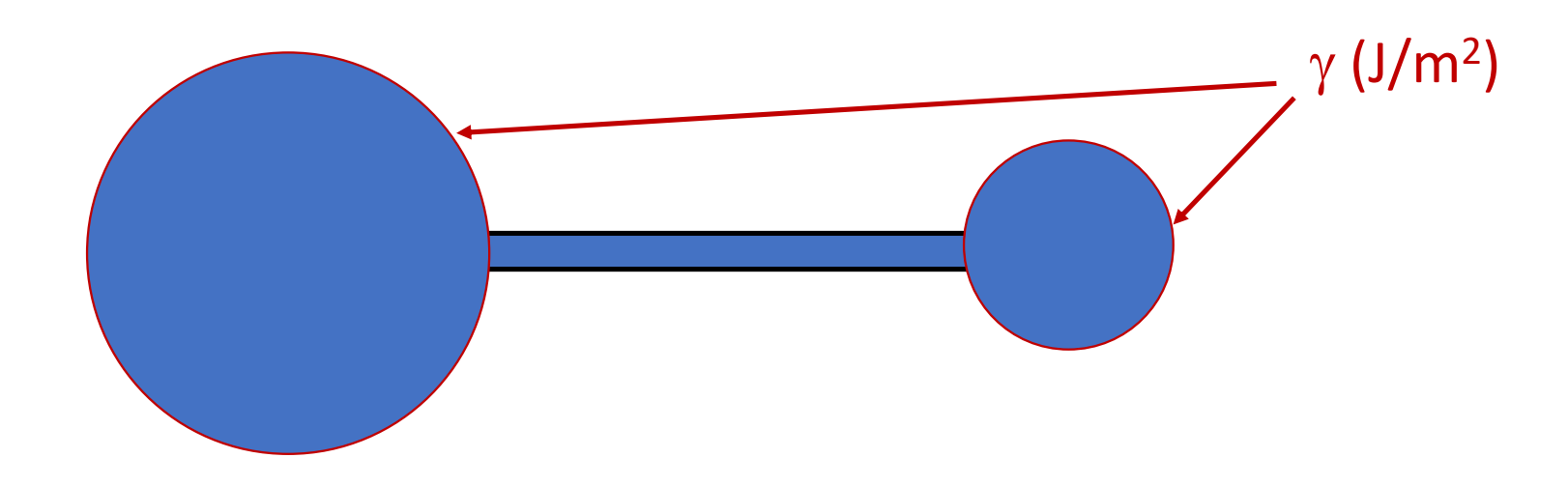
Ceci augmente l'énergie libre G du solide de  $\Delta P = 2\gamma/R$  fois son volume spécifique (=volume par unité de masse, par mole, selon la définition de G) Plus R est faible, donc,

moins la phase dans la sphère est stable.

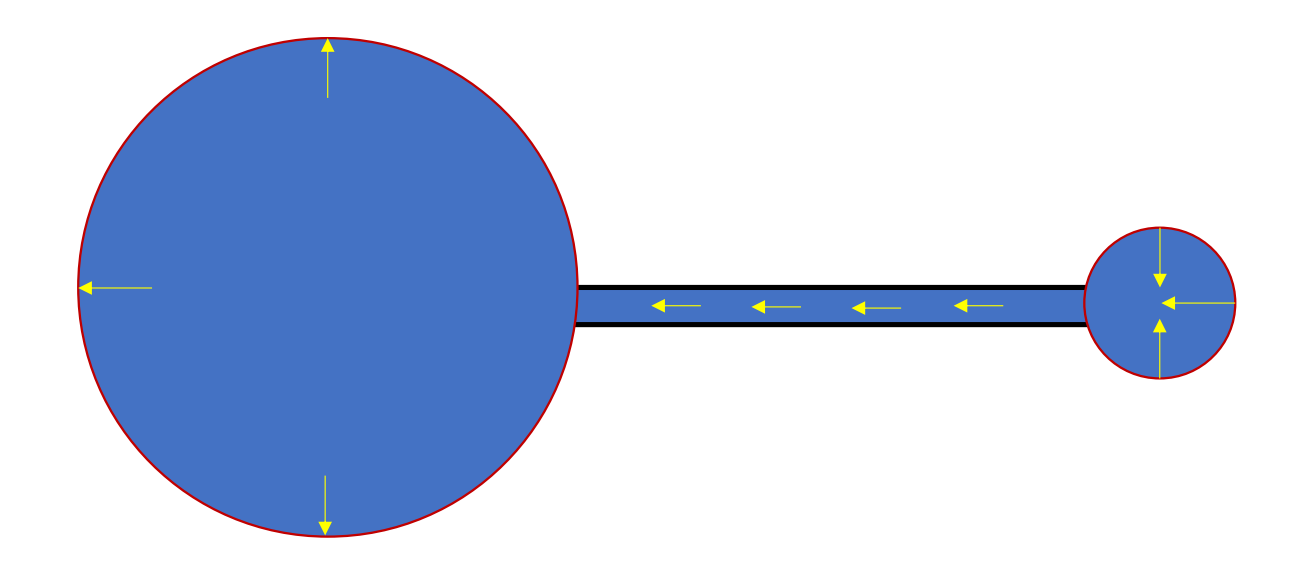
Pour une surface quelconque on a  $\Delta P = \gamma C$  où C est la courbure (positive ou négative en m<sup>-1</sup>) de la surface.



Question: j'ai deux ballons faits de caoutchouc ayant une contrainte d'écoulement (élastique) constante, gonflés avec l'un plus petit que l'autre. Ils sont soudain reliés par une paille: que se passe-t-il ?



*Réponse*: la surpression  $\Delta P = 2\gamma/R$  est plus grande dans le plus petit des deux ballons, lequel va donc se vider dans le plus grand des deux.



# **EPFL** Notion de base: la maturation liée à la capillarité (cas des dendrites)

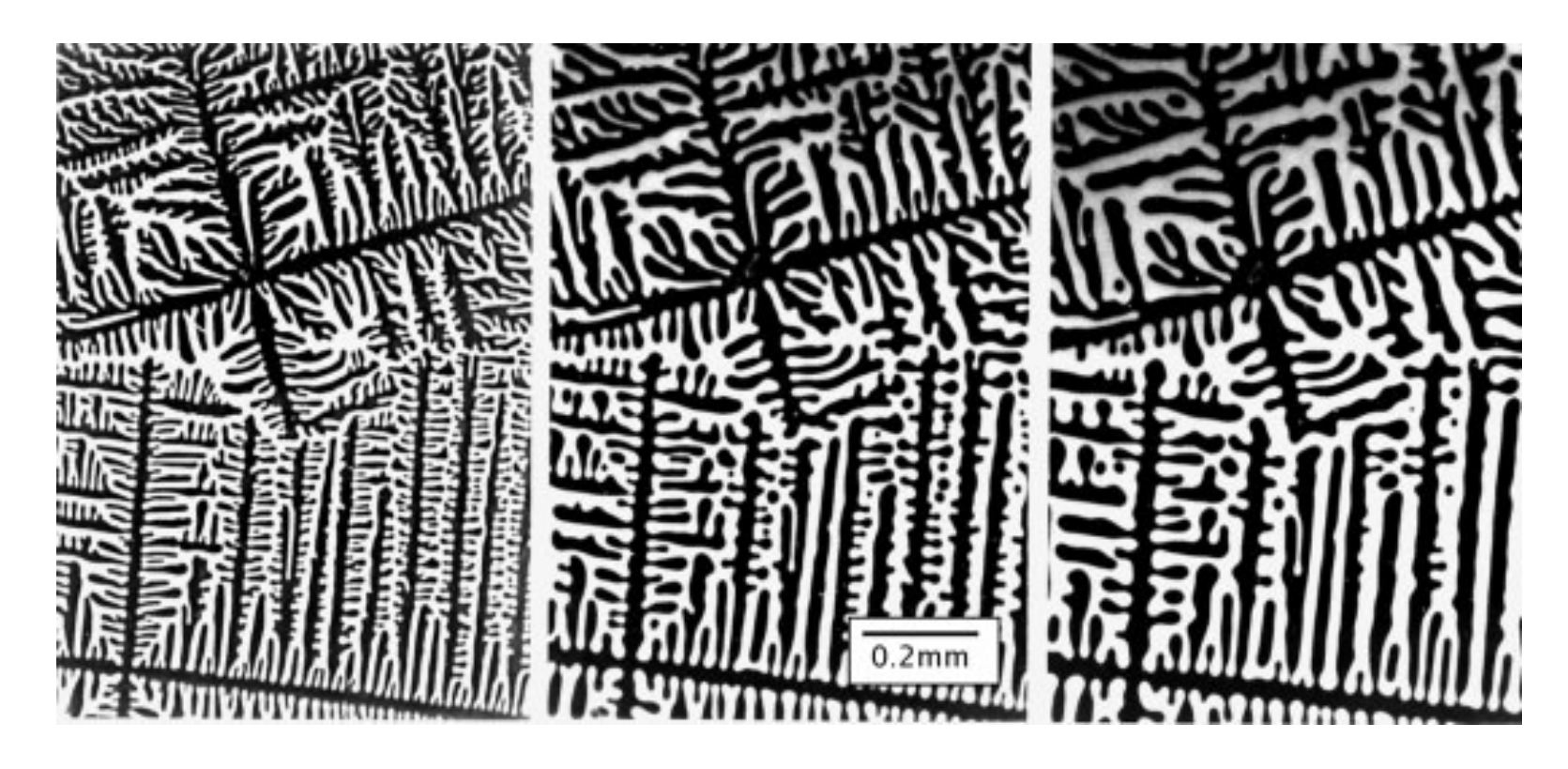


FIGURE II-17 — Maturation de dendrites planes (vues en transmission entre deux plaques de verre). Les images ont été prises 1, 3 et 5 min après la formation de dendrites. Source: K.A. Jackson, Kinetic Processes: Crystal Growth, Diffusion, and Phase Transitions in Materials, Wiley-VCH,

2004.

La vitesse (ou cinétique) de la maturation est souvent régie par la diffusion. L'analyse mène alors à la conclusion que la dimension moyenne  $\lambda$  des éléments de microstructure considérés (séparation moyenne des bras de dendrite par exemple, ou diamètre moyen des bulles dans une mousse), suit la loi :

$$\lambda^3 - \lambda_0^3 = Kt \tag{II-9}$$

où t est le temps,  $\lambda_0$  est la valeur de  $\lambda$  à t=0, et K est une constante qui dépend de la température et du système considéré.

## **EPFL** Notion de base: la maturation liée à la capillarité (cas des dendrites)

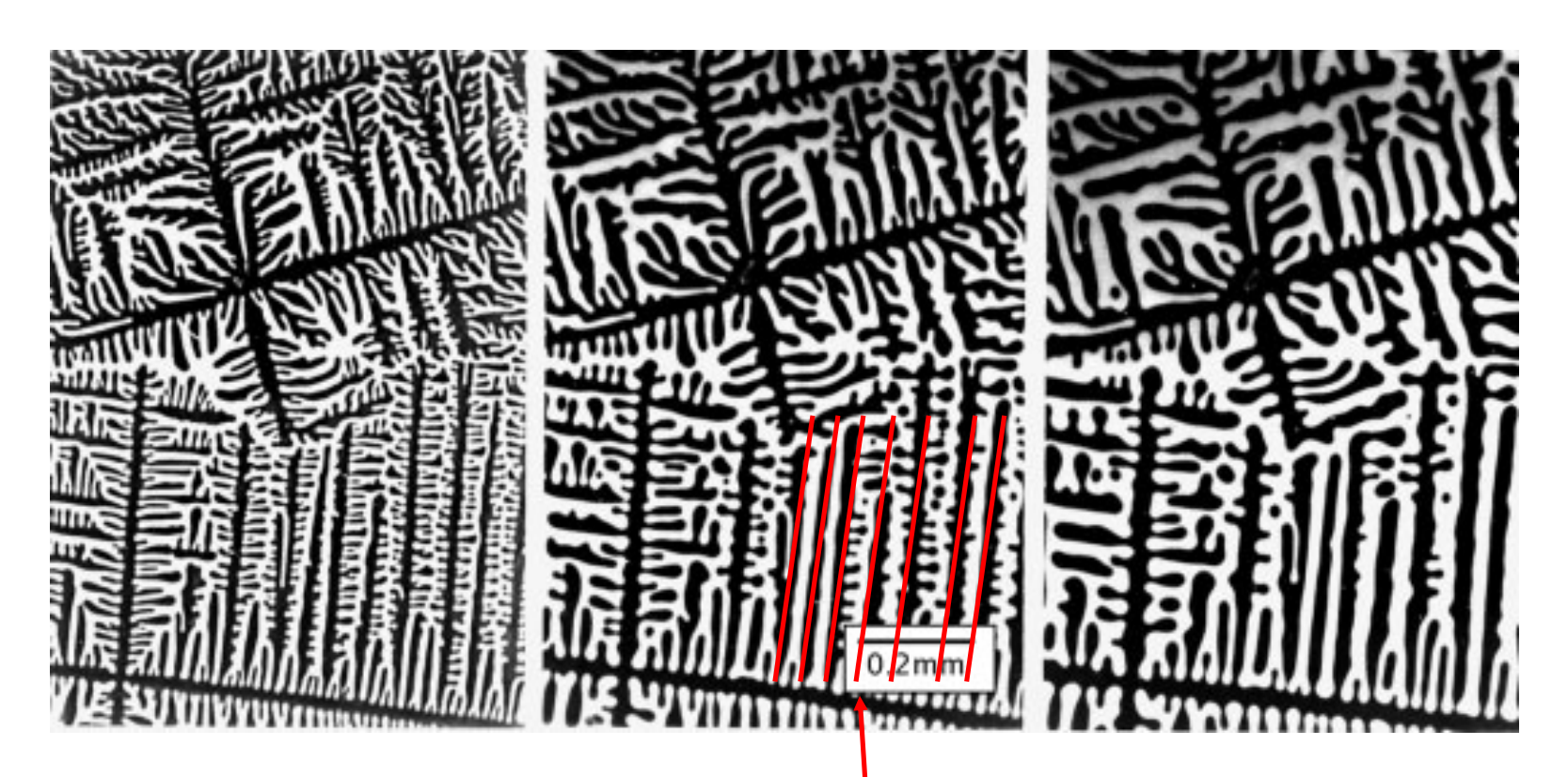


FIGURE II-17 — Maturation de dendrites planes (vues en transmission entre deux plaques de verre). Les images ont été prises 1, 3 et 5 min après la formation de dendrites. Source: K.A. Jackson, Kinetic Processes: Crystal Growth, Diffusion, and Phase Transitions in Materials, Wiley-VCH, 2004.

$$\lambda^3 - \lambda_0^3 = K t (\approx \lambda^3)$$

## **EPFL** Notion de base: la maturation liée à la capillarité (cas des dendrites)

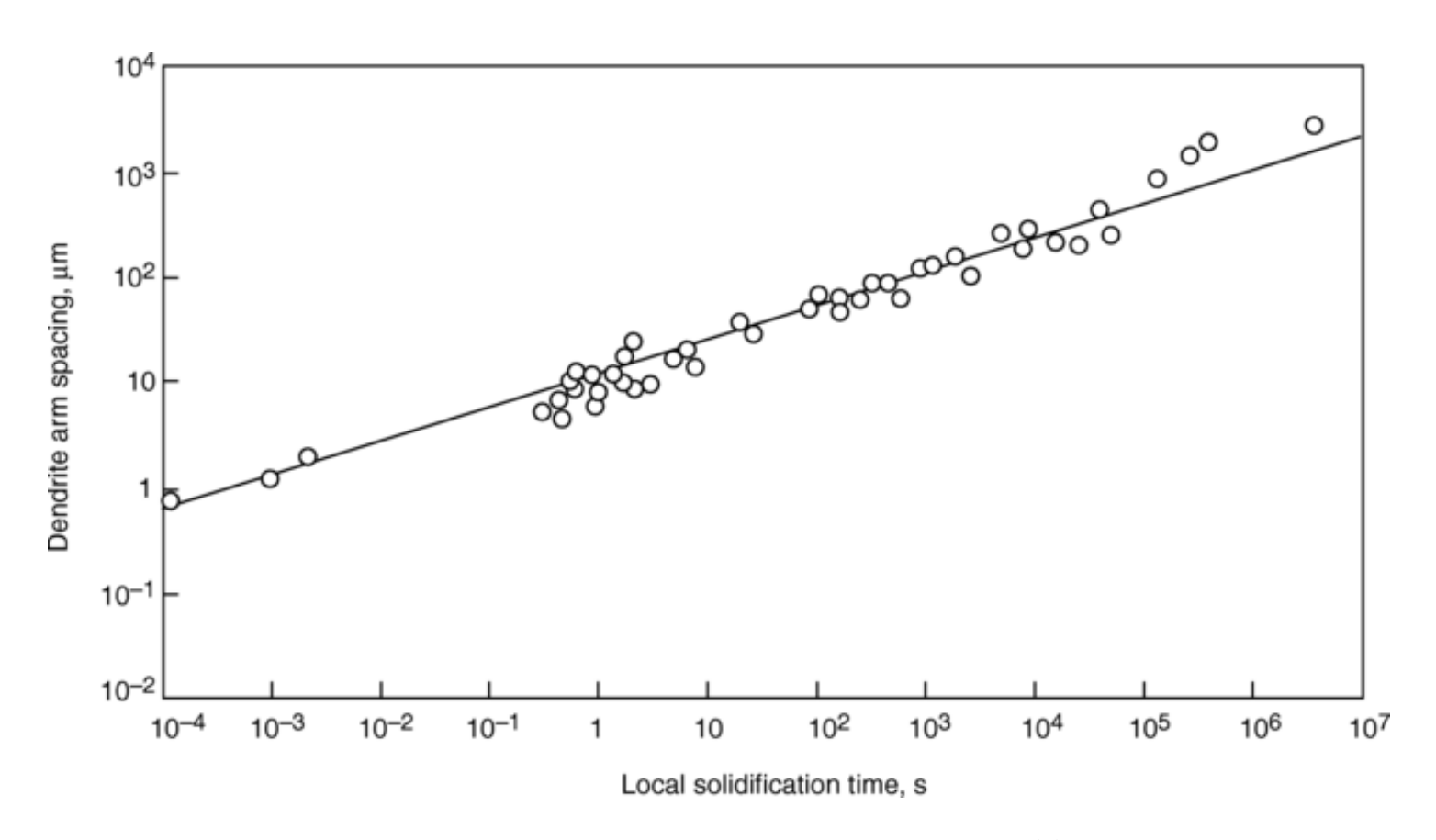


FIGURE II-18 – Espacement de bras de dendrites des alliages Al-4.5%pds Cu en fonction du temps de solidification.

Source: ASM International Handbook online, Vol. 9, 2005; M.C. Flemings, 1991

Chapitre 3 – Métaux et Alliages – Al & Cu - 23

# **EPFL** Résumé: les microstructures d'alliage brutes de coulée (= qui résultent de la solidification sans traitement ultérieur)

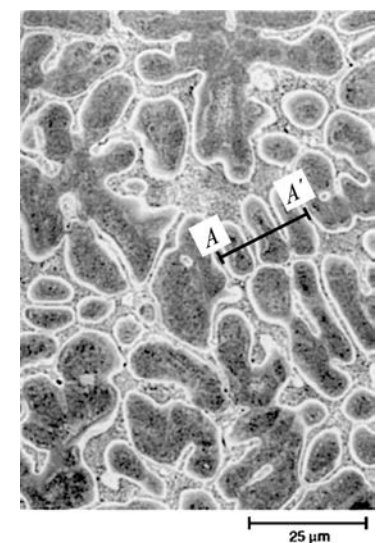
#### Phases présentes (ségrégation mineure):

la microstructure peut montrer d'autres phases que celles dictées par le diagramme de phase, et va généralement contenir des gradients de concentration au sein des phases présentes.

#### **Echelle de la microstructure (maturation):**

sera d'autant plus fine que la vitesse de solidification (= intensité du refroidissement lors de la solidification) est élevée.

Aux grandes vitesses de solidification on peut même voir d'autres phases que celles prédites par le diagramme de phase (voire une structure amorphe).



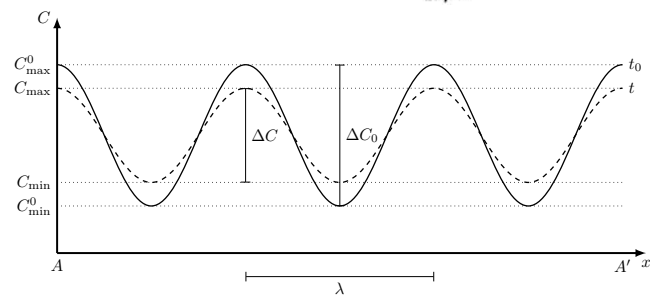


FIGURE II-21 – Ségrégation mineure et homogénéisation

Pour Al-4.5 % pds Cu après coulée on soumet généralement l'alliage à un traitement thermique d'homogénéisation: on donne le temps à la diffusion en phase solide de ramener la structure à celle dictée par le diagramme de phase: la phase a partout, à la concentration moyenne de 4.5 % pds Cu.

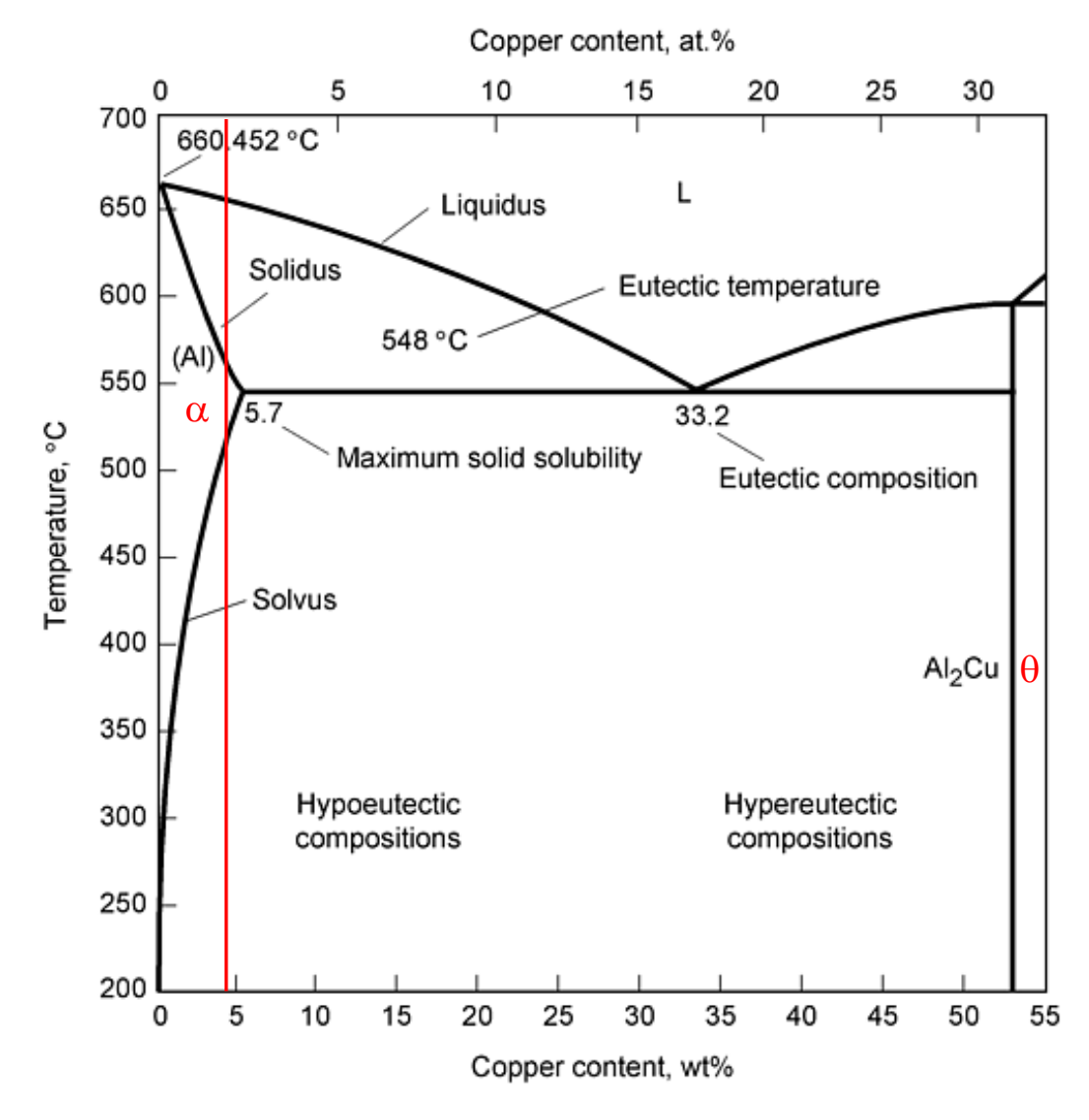


FIGURE II-12 — Diagramme de phase partiel du sytème Al-Cu. Source: ASM International *Handbook online*, Vol. 4, 2011.

Pour Al-4.5 % pds Cu après coulée on soumet généralement l'alliage à un traitement thermique d'homogénéisation: on donne le temps à la diffusion en phase solide de ramener la structure à celle dictée par le diagramme de phase: la phase  $\alpha$  partout, à la concentration moyenne de 4.5 % pds Cu. On chauffe donc là

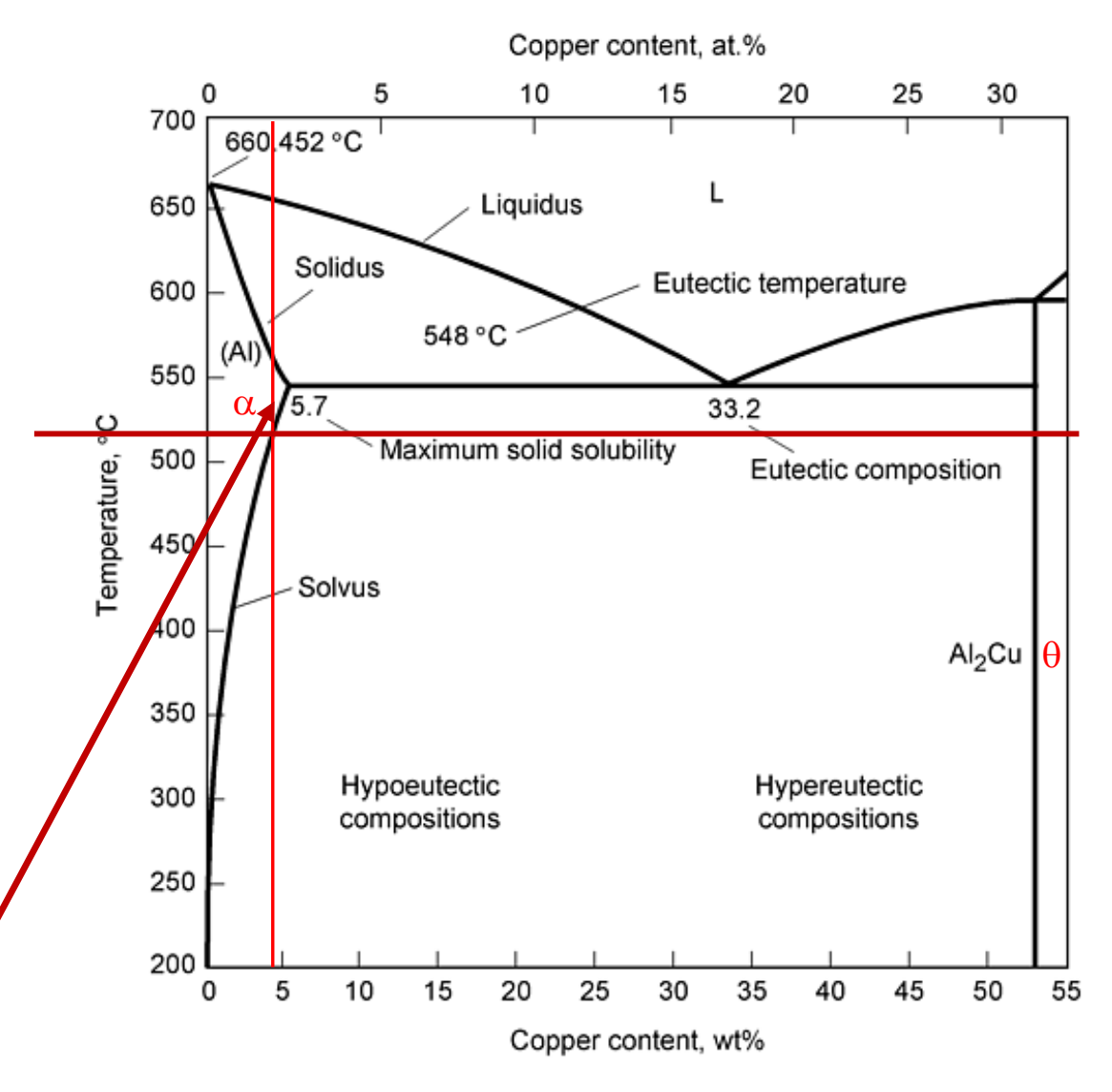


FIGURE II-12 — Diagramme de phase partiel du sytème Al-Cu. Source: ASM International *Handbook online*, Vol. 4, 2011.

.. tout en restant en-dessous de la température eutectique car sinon la structure eutectique fond, puis la microstructure évolue par maturation rapide. Ceci donne une structure dite brûlée, fragile car contenant une phase fragile (Al<sub>2</sub>Cu) aux joints de grains, difficile à homogénéiser car son échelle est devenue moins fine.

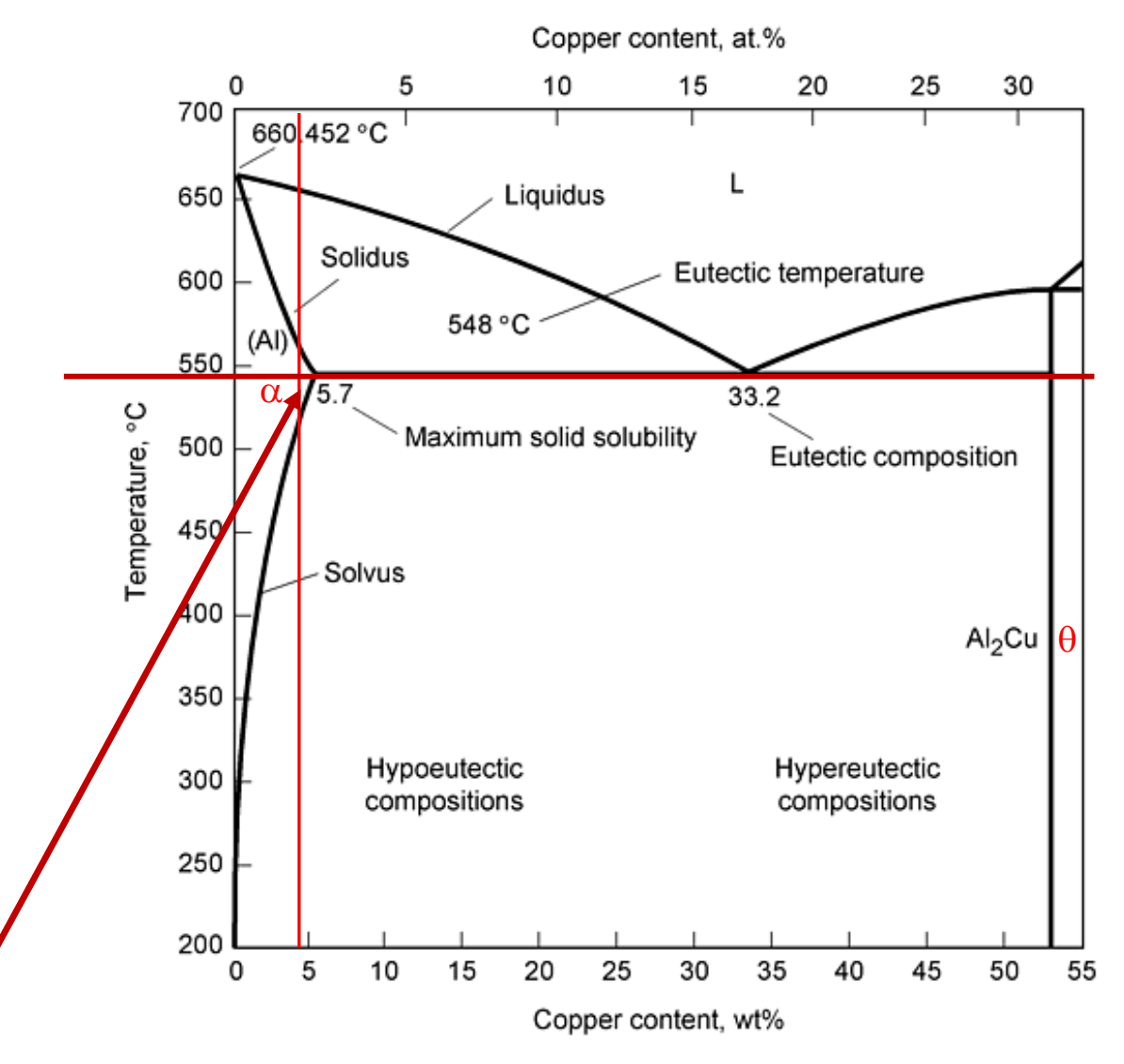


FIGURE II-12 — Diagramme de phase partiel du sytème Al-Cu. Source: ASM International *Handbook online*, Vol. 4, 2011.

Exemple d'alliage "brûlé".

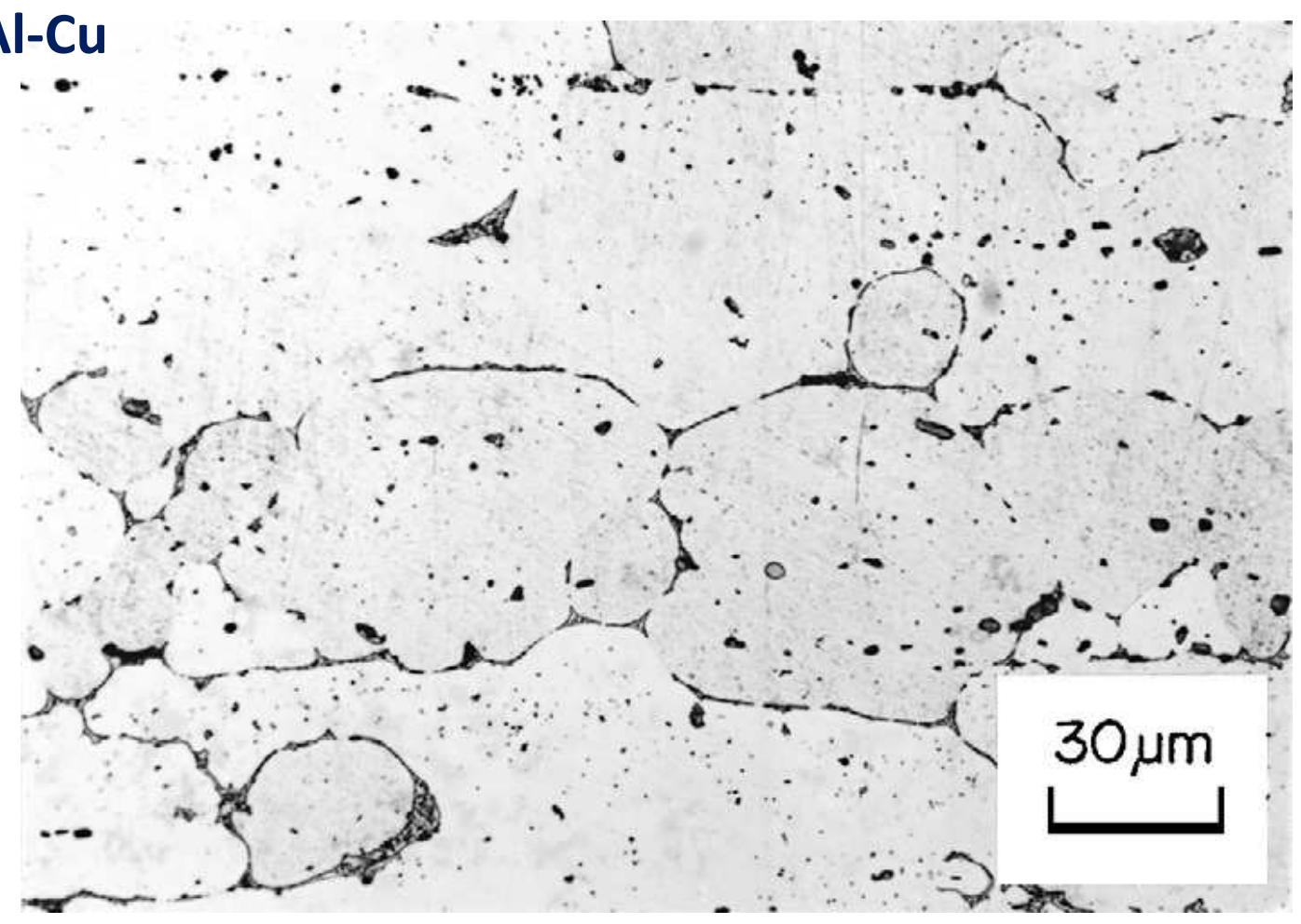


FIGURE II-20 — Micrographie d'un alliage Al-Cu-Mg brûlé, c'est-à-dire dont l'eutectique a fondu et donc dont la microstructure a fortement grossi.

Source: I.J. Polmear, Light Alloys: from traditional alloys to nanocrystals, Butterworth-Heinemann, 2006.

# **EPFL** Notion de base: la cinétique des transformations de phase

La thermodynamique mesure et prédit la propension d'une transformation à avoir lieu, par le signe et l'ampleur de ΔG.

La cinétique mesure et prédit la *vitesse* à laquelle elle a lieu.

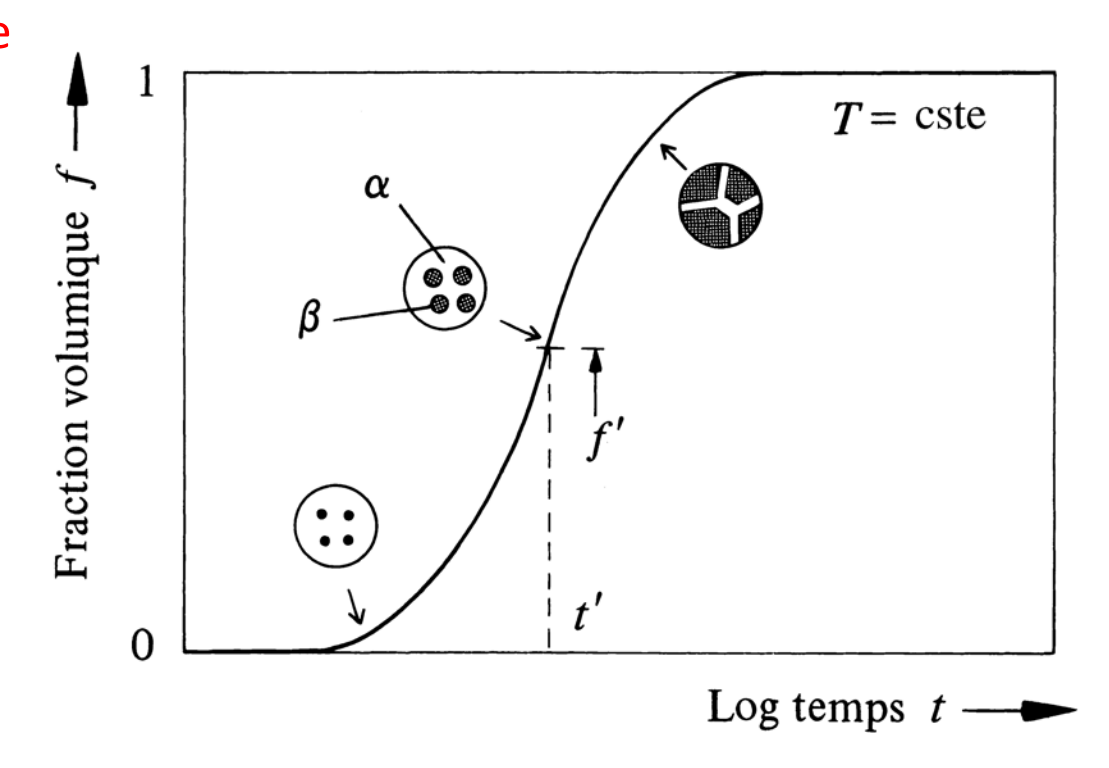


FIGURE II-25 – Variation de la fraction volumique de phase f en fonction du temps. Notez que la vitesse de transformation est simplement donnée par la pente de la courbe à chaque moment donnée.

Source: W. Kurz, J.P. Mercier, G. Zambelli, *Traité des Matériaux*, Vol. 1, Introduction à la Science des Matériaux, 3<sup>e</sup> Édition, Presses Polytechniques et Universitaires Romandes, Lausanne, 2002.

Chapitre 3 – Métaux et Alliages – Al & Cu - 29

# **EPFL** Notion de base: la cinétique des transformations de phase

Près de l'équilibre la force motrice (ΔG) est faible: la transformation est lente;

près de 0K tout processus activé thermiquement est ralenti: la transformation est lente.

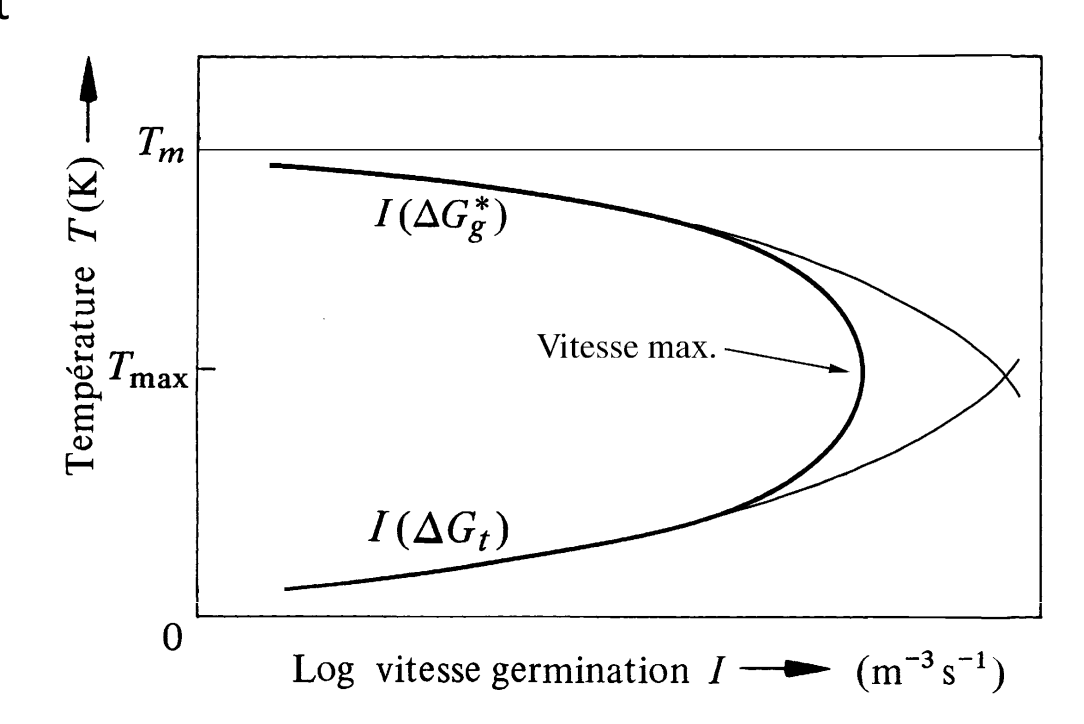


FIGURE II-22 — Vitesse de germination d'une phase en fonction de la température. Source: W. Kurz, J.P. Mercier, G. Zambelli, *Traité des Matériaux, Vol. 1, Introduction à la Science des Matériaux*, 3<sup>e</sup> Édition, Presses Polytechniques et Universitaires Romandes, Lausanne, 2002.

# **EPFL** Notion de base: la cinétique des transformations de phase

Transformation isotherme:

courbe sigmoïdale de la fraction transformée f en fonction du temps t (b)

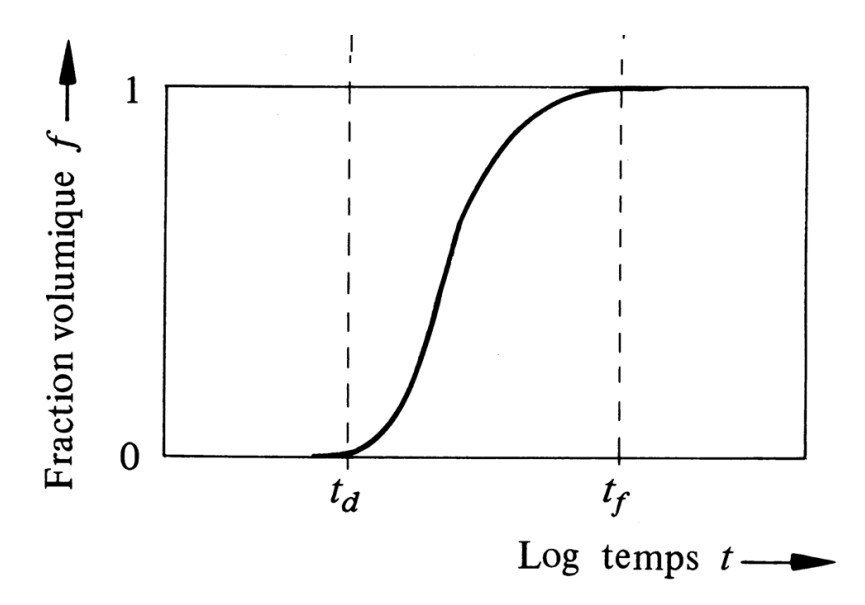
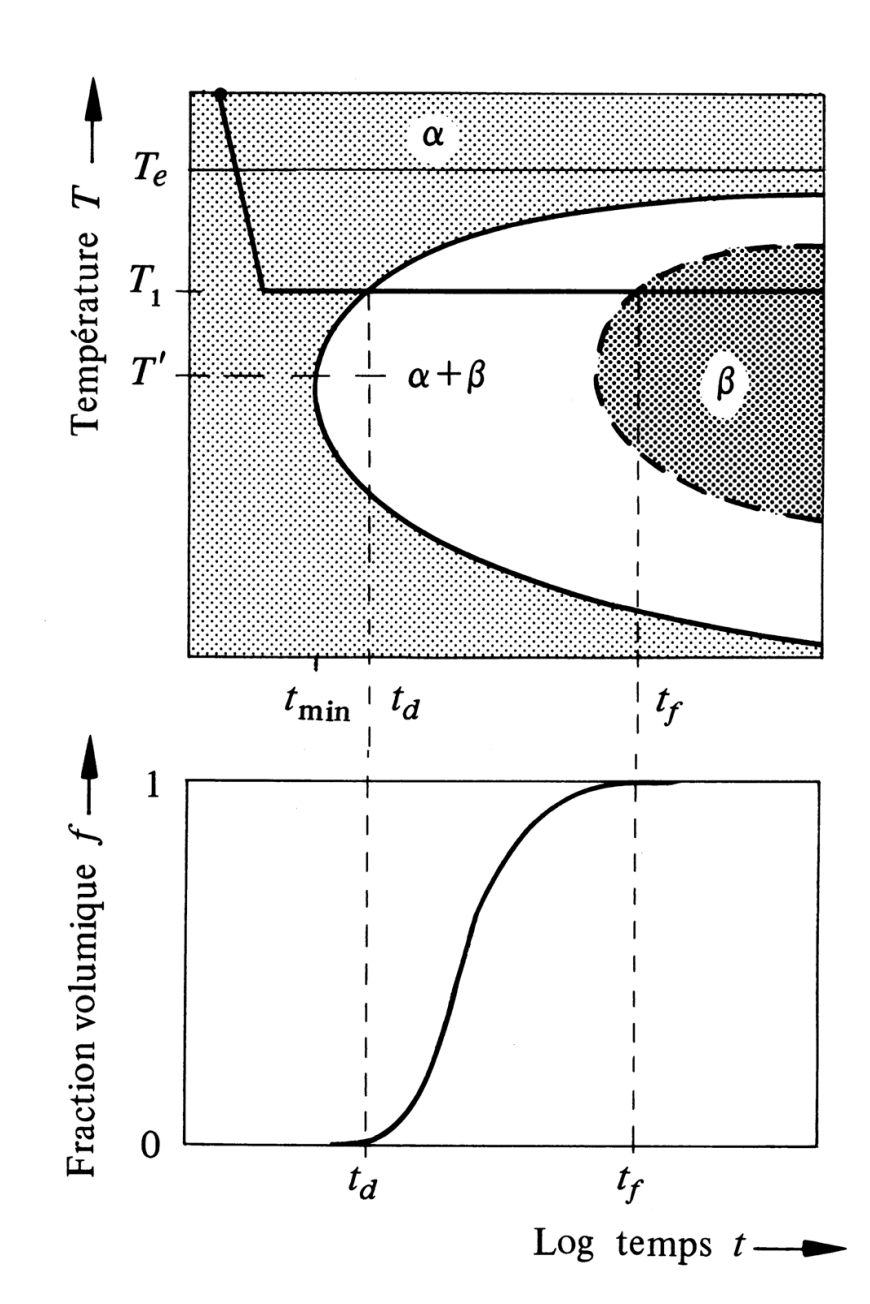


FIGURE II-23 — Diagramme TTT (Température Temps Transformation) schématique. Source: W. Kurz, J.P. Mercier, G. Zambelli, *Traité des Matériaux, Vol. 1, Introduction à la Science des Matériaux*, 3<sup>e</sup> Édition, Presses Polytechniques et Universitaires Romandes, Lausanne, 2002.

#### **EPFL**

Notion de base: la cinétique des transformations de phase

Définition du diagramme TTT



(a)

(b)

Chapitre 3 – Métaux et Alliages – Al & Cu - 32

#### **EPFL**

# Le diagramme TTT

Donne les lignes de début (f << 100%) et de fin (f un peu < 100% de  $f_{\text{équilibre}}$ ) d'une transformation lors d'un maintien **isotherme** du matériau après

(i) une exposition donnée à une température donnée (commune pour tout le diagramme; généralement supérieure au domaine de températures de transformation), suivi de (ii) un transit (généralement une trempe=quench) "infiniment rapide" vers chacune des températures de transformation.

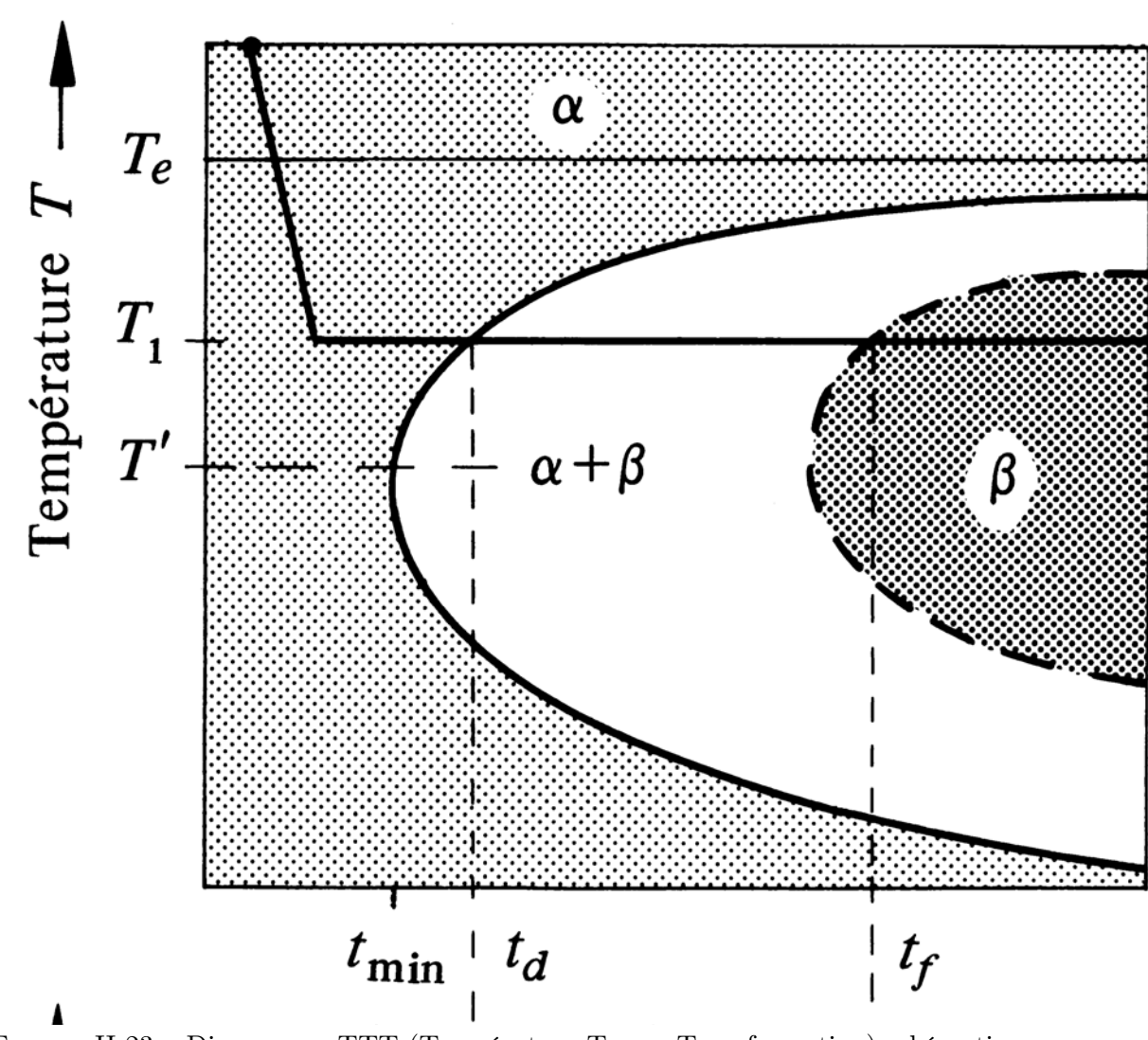
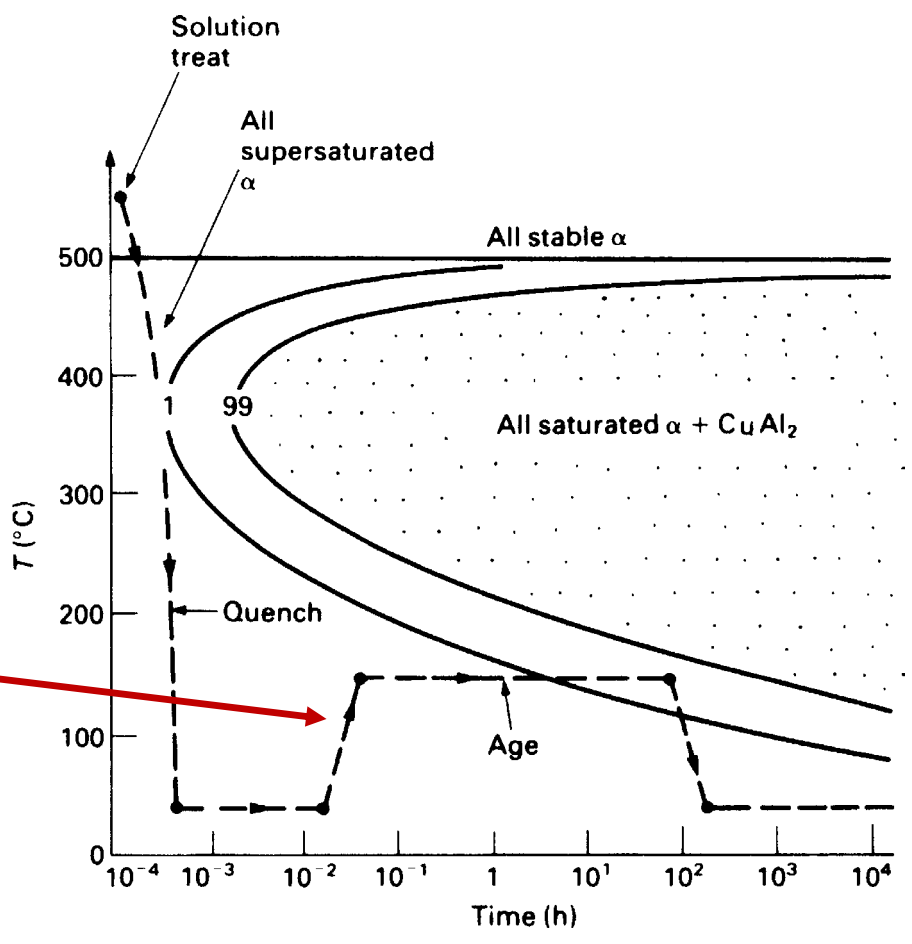


FIGURE II-23 – Diagramme TTT (Température Temps Transformation) schématique. Source: W. Kurz, J.P. Mercier, G. Zambelli, *Traité des Matériaux, Vol. 1, Introduction à la Science des Matériaux*, 3<sup>e</sup> Édition, Presses Polytechniques et Universitaires Romandes, Lausanne, 2002.

Le traitement de mise en solution ou d'homogénéisation

(note: là on sort du domaine d'utilisation entièrement correcte du diagramme car l'historique n'est pas isotherme)

Source: M.F. Ashby & D.R.H. Jones, Engineering Materials Vol. 2, 4<sup>th</sup> Ed., 2006, Elsevier Butterworth.



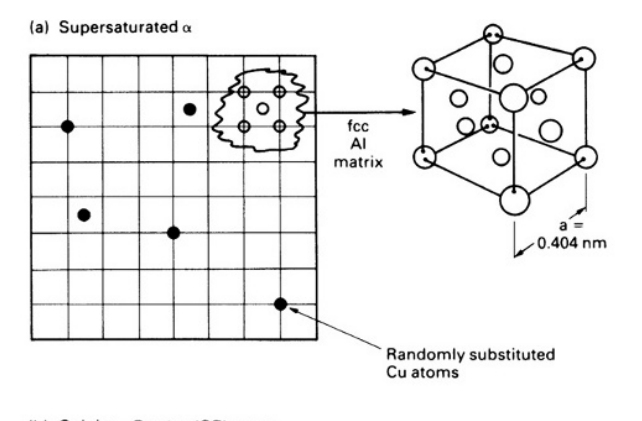
#### **FIGURE 11.5**

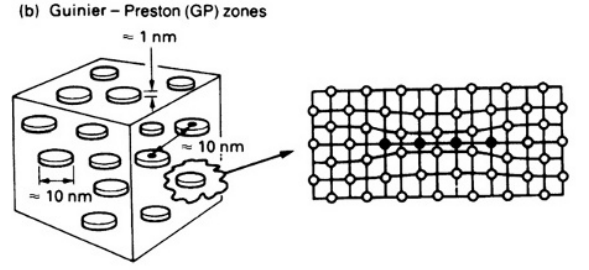
TTT diagram for the precipitation of  $CuAl_2$  from the Al + 4 wt% Cu solid solution. Note that the *equilibrium* solubility of Cu in Al at room temperature is only 0.1 wt% (see Figure 11.3). The quenched solution is therefore carrying 4/0.1 = 40 times as much Cu as it wants to.

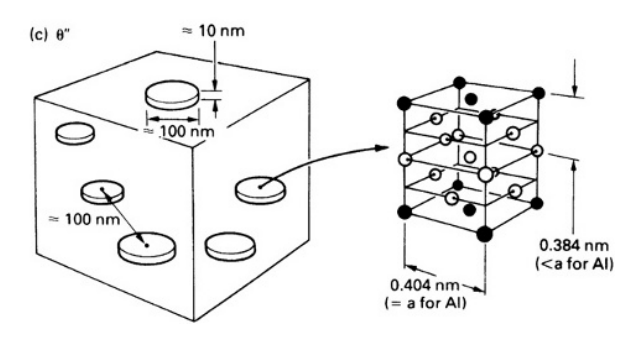
Chapitre 3 - Métaux et Alliages - Al & Cu - 34

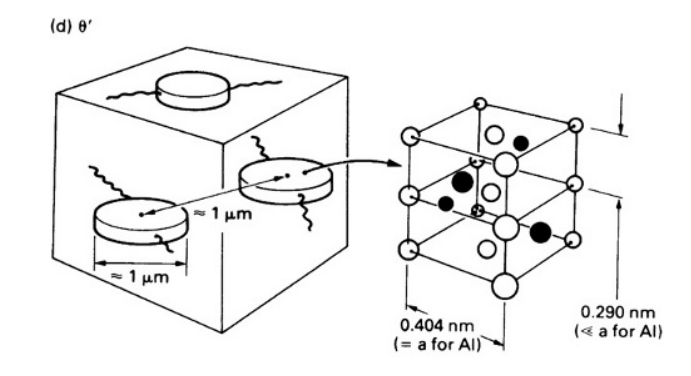
En fait ce qui se produit est plus compliqué: plusieurs types de précipités de composition proche de Al<sub>2</sub>Cu peuvent se former, car certains précipités moins stables peuvent avoir une cinétique de germination et croissance plus rapide que les précipités plus stables.

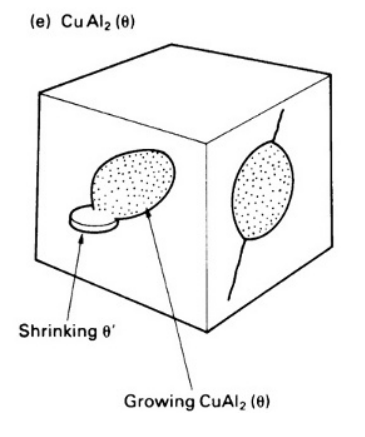
Quatre précipités peuvent se former dans Al-Cu sursaturé.







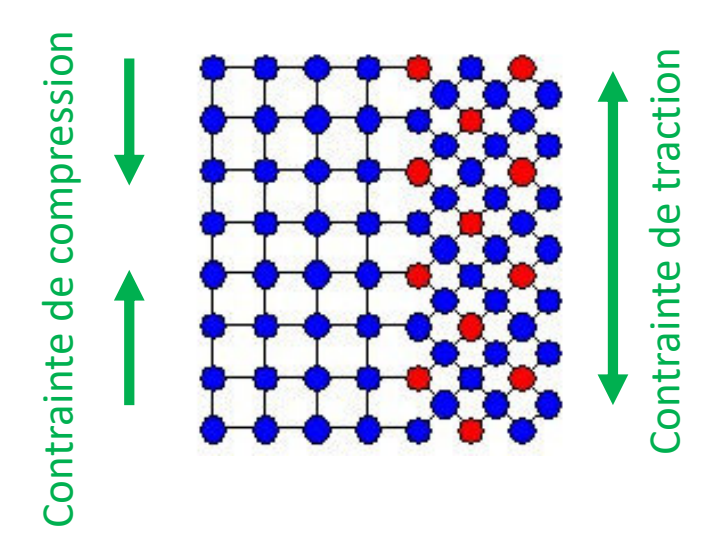




Source: M.F. Ashby & D.R.H. Jones, Engineering FIGURE II-26 – Phases GP,  $\theta''$ ,  $\theta'$ , et  $\theta$ . Materials Vol. 2, 4<sup>th</sup> Ed., 2006, Elsevier Butterworth. Source: Engineering Materials and Processes Desk Reference, Butterworth-Heinemann, U.K., 2009.

## **EPFL** Les interfaces cohérentes, semi-cohérentes ou incohérentes

Une raison essentielle pour laquelle un précipité moins stable peut se former et grandir avant un précipité plus stable est que son interface avec la phase au sein de laquelle il croît est de faible énergie. Cela sera le cas si, entre deux cristaux différents, on peut former une interface le long de laquelle les positions des atomes coïncident entre les deux cristaux. On appelle cela une interface cohérente (coherent interface)



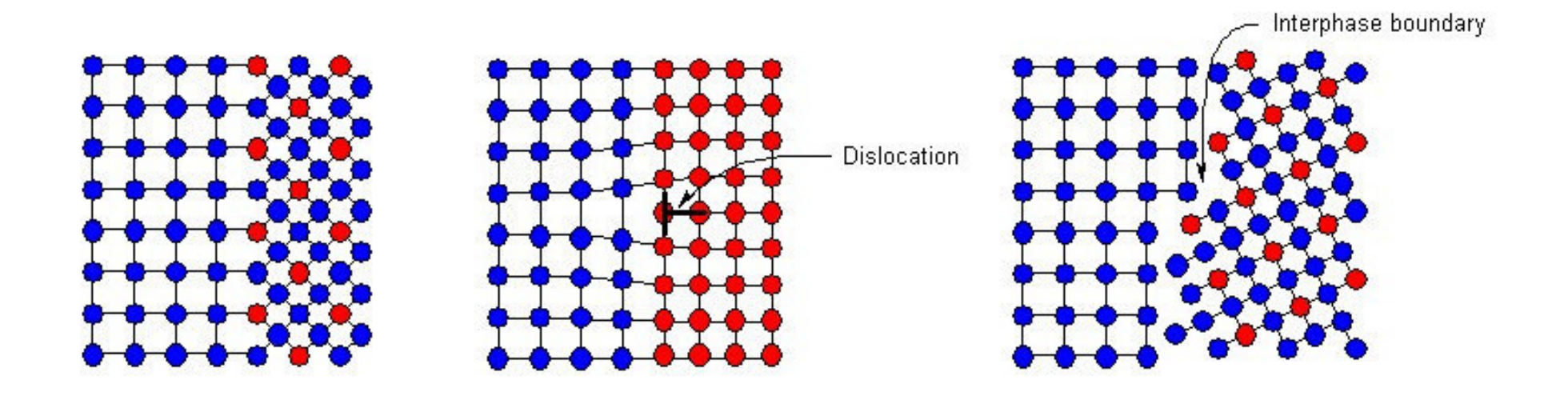
Généralement, si les positions coïncident, les distances interatomiques sont souvent différentes; les interfaces cohérentes sont donc souvent entourées de champs de contrainte

Source: https://www.researchgate.net/figure/Schematic-representation-of-a-coherent-b-semi-coherent-and-c-incoherent\_fig72\_322738368

#### **EPFL** Les interfaces cohérentes, semi-cohérentes ou incohérentes

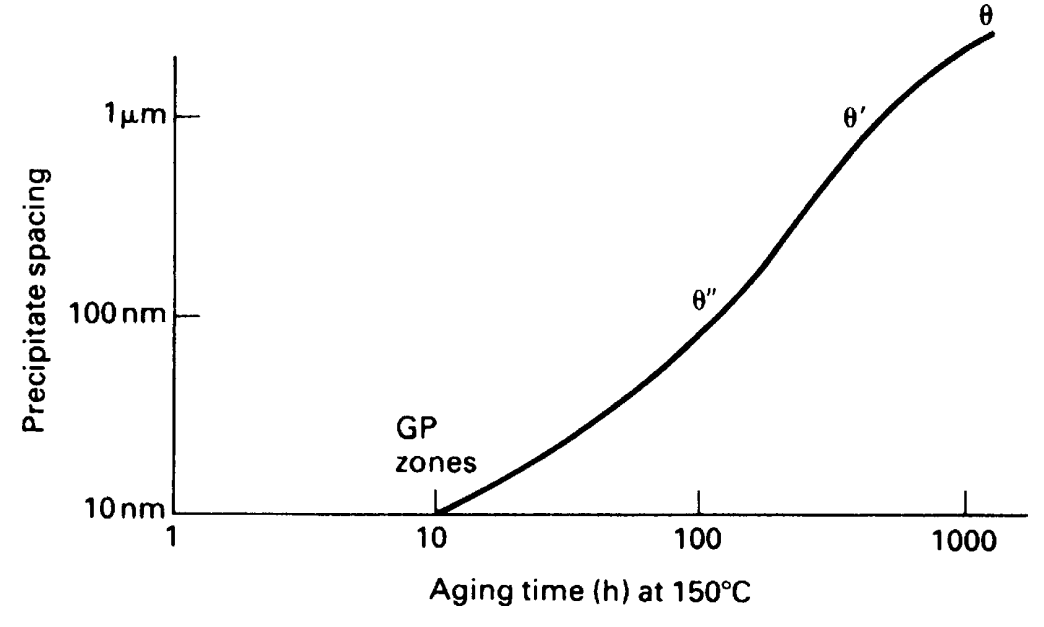
Parfois, pour soulager ces contraintes, des dislocations apparaissent le long de telles interfaces: ce sont des interfaces *semi-cohérentes*.

Le long d'une interface incohérente les positions des atomes ne coïncident pas.



Source: https://www.researchgate.net/figure/Schematic-representation-of-a-coherent-b-semi-coherent-and-c-incoherent\_fig72\_322738368

Dans le temps, la taille des précipités tend à augmenter, tant car elles croissent qu'à cause de la maturation.



#### **FIGURE 11.9**

The gradual increase of particle spacing with aging time.

Source: M.F. Ashby & D.R.H. Jones, Engineering Materials Vol. 2, 4<sup>th</sup> Ed., 2006, Elsevier Butterworth.

Chapitre 3 – Métaux et Alliages – Al & Cu - 38

Notez que moins un précipité est stable (ou en d'autres mots moins son énergie libre de formation ΔG est négative):

(i) plus la température audessus de laquelle il ne se forme pas est faible et (ii) plus la teneur en Cu dans la phase alpha à partir de laquelle il se forme est élevée.

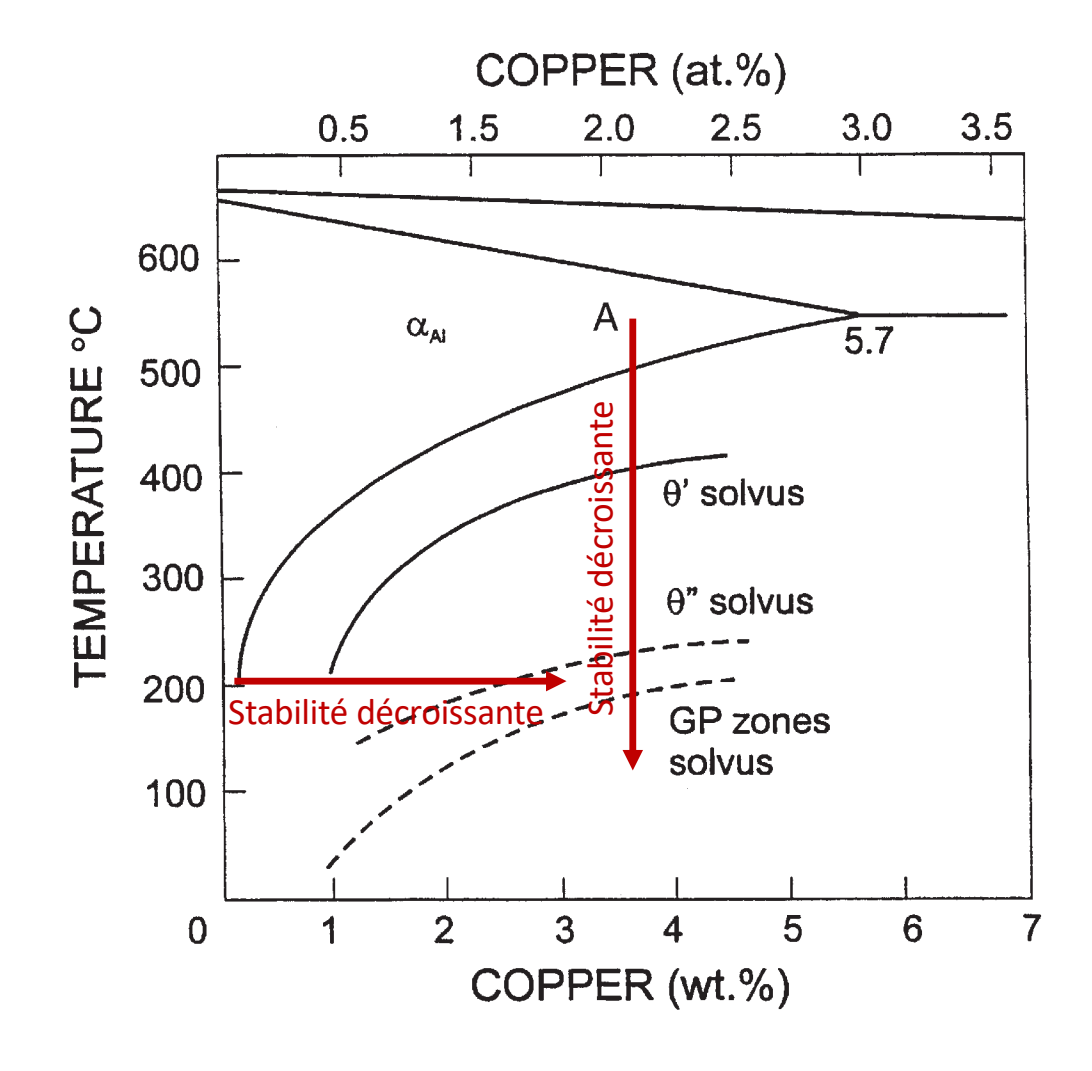
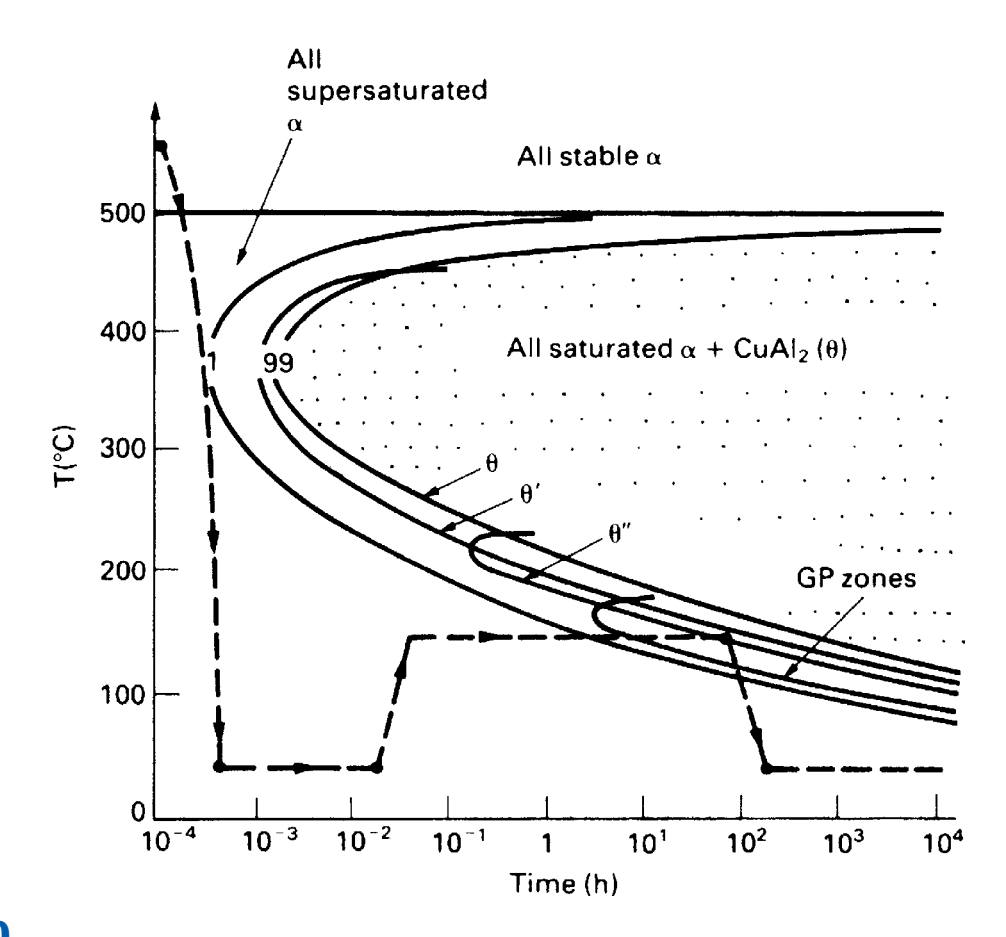


FIGURE II-29 — Diagramme de phase métastable du système Al-Cu. Source: I.J. Polmear, Light Alloys: from traditional alloys to nanocrystals, Butterworth-Heinemann, 2006.

A température suffisamment basse, un précipité moins stable peut apparaître en premier, et rester jusqu'à l'apparition d'une phase plus stable – laquelle va graduellement absorber les précipités moins stables.



#### **FIGURE 11.10**

Detailed TTT diagram for the Al-4 wt% Cu alloy. We get peak strength by aging to give  $\theta''$ . The lower the aging temperature, the longer the aging time. Note that GP zones do not form above 180 °C: if we age above this temperature we will fail to get the peak value of yield strength.

Source: M.F. Ashby & D.R.H. Jones, Engineering Materials Vol. 2, 4<sup>th</sup> Ed., 2006, Elsevier Butterworth.

Chapitre 3 – Métaux et Alliages – Al & Cu - 40

Dans le temps, le nombre et la la taille des précipités commencent d'abord par croître.

Puis, tant pendant qu'après la précipitation, la maturation va augmenter la taille moyenne et réduire le nombre des précipités.

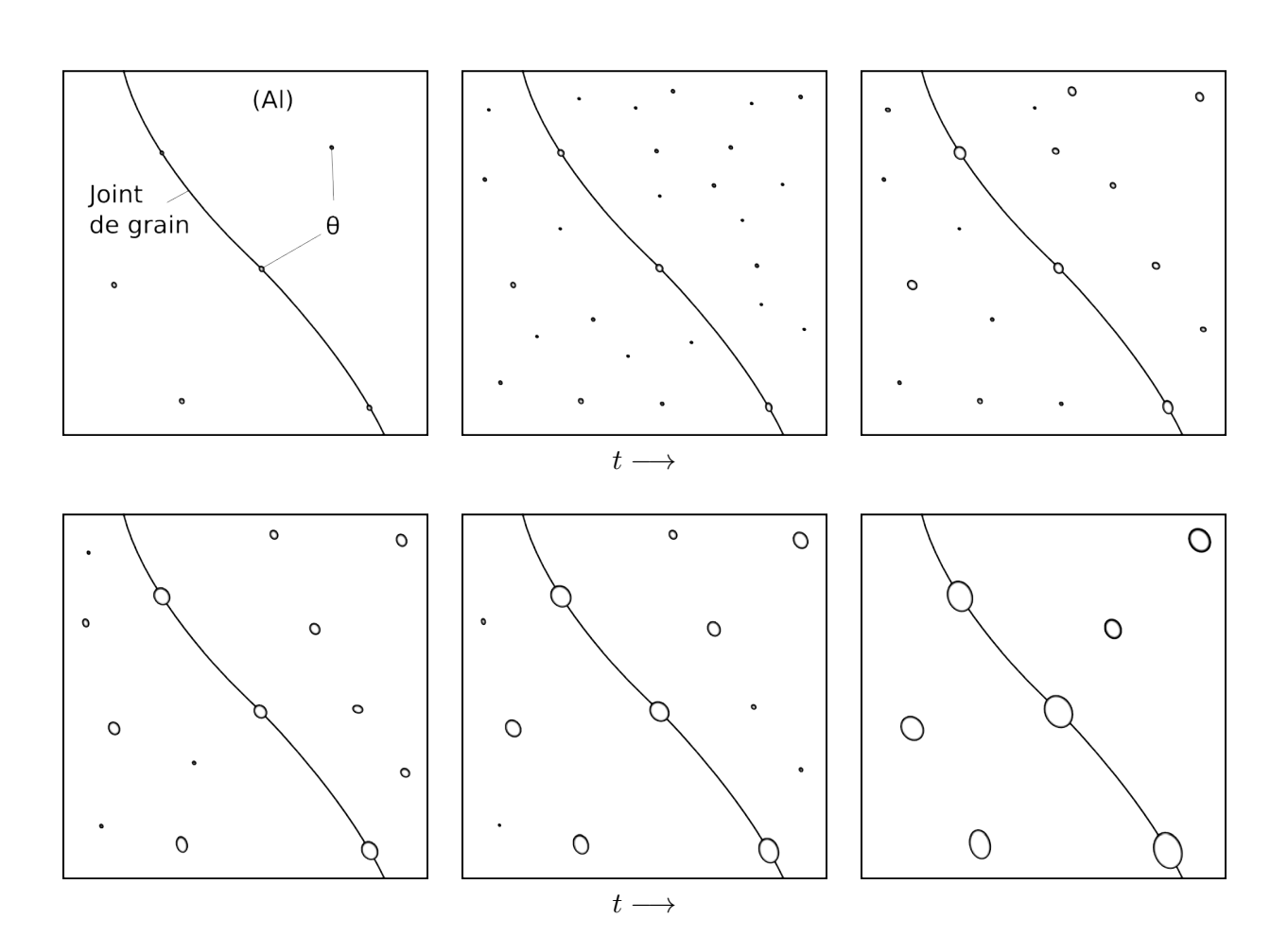


FIGURE II-34 – Illustration du processus de germination et maturation de précipités  $\theta$  dans une matrice  $\alpha$ .

Source: Fortement inspiré de ASM international Handbook online, 2011

Les précipités représentent un obstacle sur la trajectoire des dislocations, lesquelles vont devoir, pour avancer soit (a) cisailler les précipités, ceci est prévalent avec les précipités de faible taille et cohérents ou semi-cohérents;

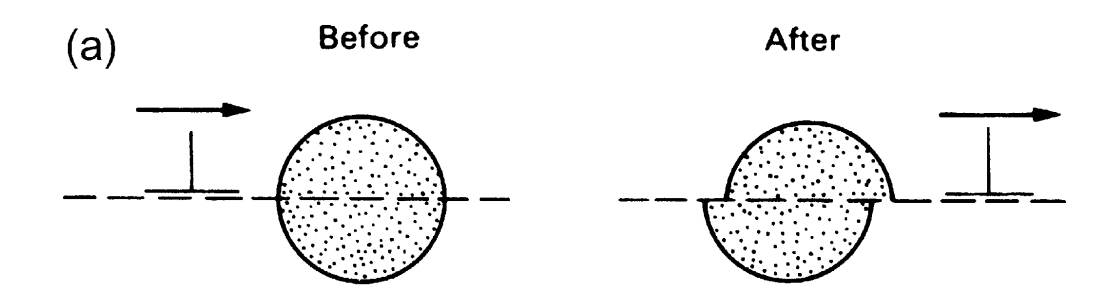


FIGURE II-35 – Micrographie d'un précipité  $\gamma'$  cisaillé dans un alliage de nickel. Source: M.A. Meyers, K.K. Chawla, Mechanical Metallurgy: Principles and Applications, Prentice-Hall, USA, 1984.

Source: M.F. Ashby & D.R.H. Jones, Engineering Materials Vol. 2, 4<sup>th</sup> Ed., 2006, Elsevier Butterworth.

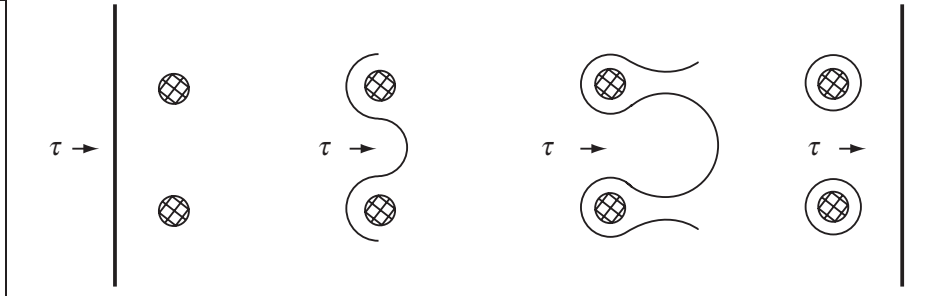
Source: M.A. Meyers and K.K. Chawla, Mechanical Behavior of Materials 2<sup>nd</sup> Ed., Cambridge University Press, 2009

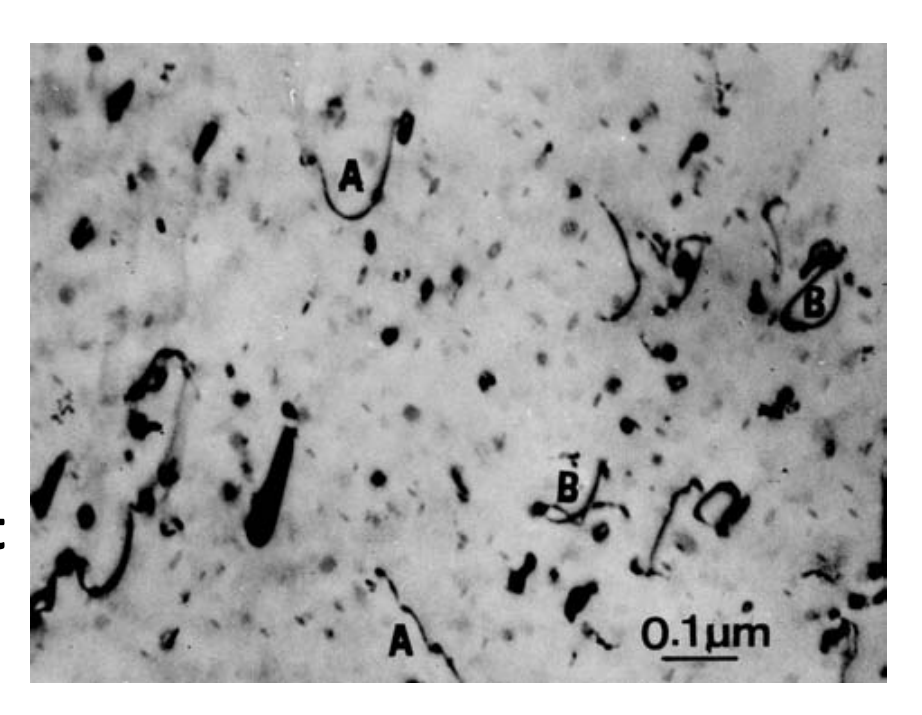
model. (After E. Orowan, in Internal Stresses in Metals and Alloys (London: Institute of Metals, 1948), p. 451.) (b) Obstruction of dislocation motion by uniformly distributed nonshearing particles in an aluminum alloy (transmission electron microscope) (Courtesy of M. V. Heimendahl.)

...soit, alternativement,

(b) se plier sous l'action de la contrainte appliquée et passer outre les précipités sans les cisailler, mais plutôt en les contournant.

La contrainte requise pour ce **contournement** est inversement proportionelle à la distance entre précipités.

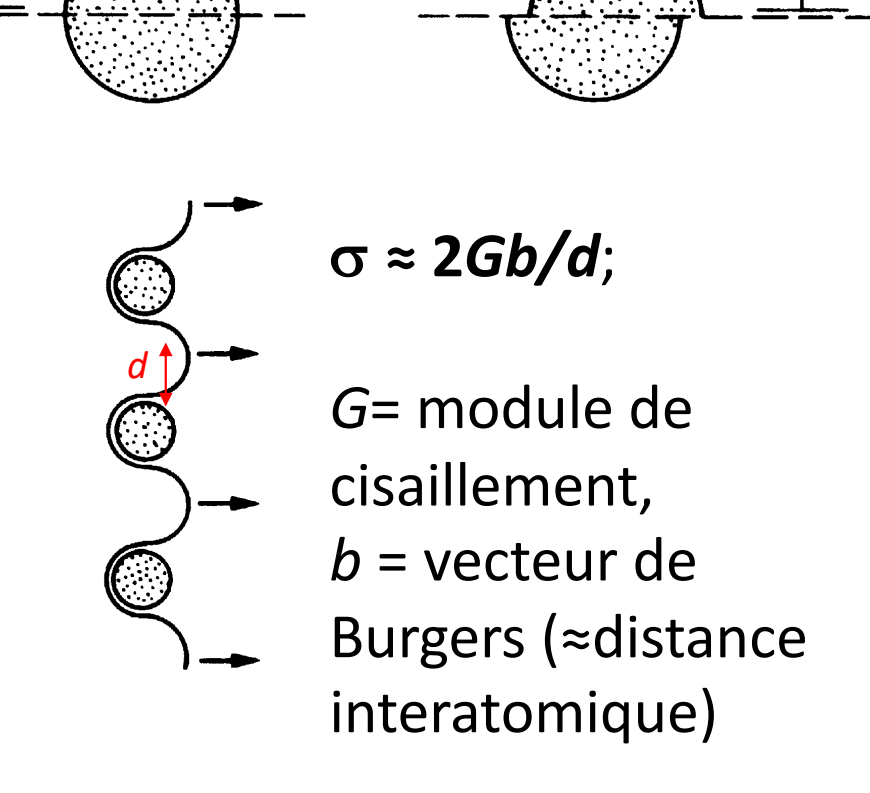




Source: M.A. Meyers and K.K. Chawla, Mechanical Behavior of Materials 2<sup>nd</sup> Ed., Cambridge University Press, 2009

• La contrainte requise pour *cisailler* les précipités augmente avec leur nombre et avec leur taille.

• La contrainte requise pour *contourner* les précipités varie comme l'inverse de la (b) distance *d* qui les sépare et donc diminue, à fraction volumique de précipités constante (donc une fois la précipitation terminée) avec le temps car la maturation augmente leur taille moyenne et fait donc diminuer leur nombre et augmenter la distance qui les sépare.



After

**Before** 

Source: M.F. Ashby & D.R.H. Jones,

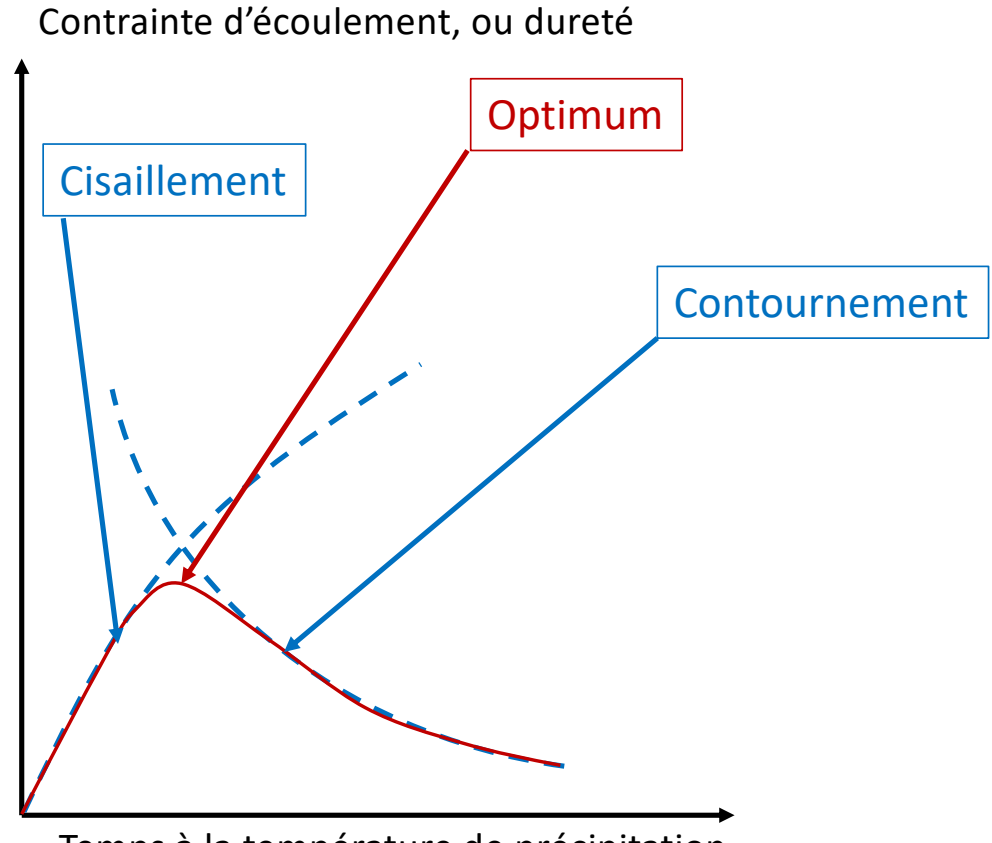
Engineering Materials Vol. 2, 4<sup>th</sup> Ed., 2006, Dislocations can get past precipitates by (a) cutting or (b) bowing. Elsevier Butterworth.

Chapitre 3 – Métaux et Alliages – Al & Cu - 44

Il en résulte que le durcissement créé par les précipités croît d'abord (quand ils se forment), puis décroît (car la distance entre précipités croît du fait de la maturation).

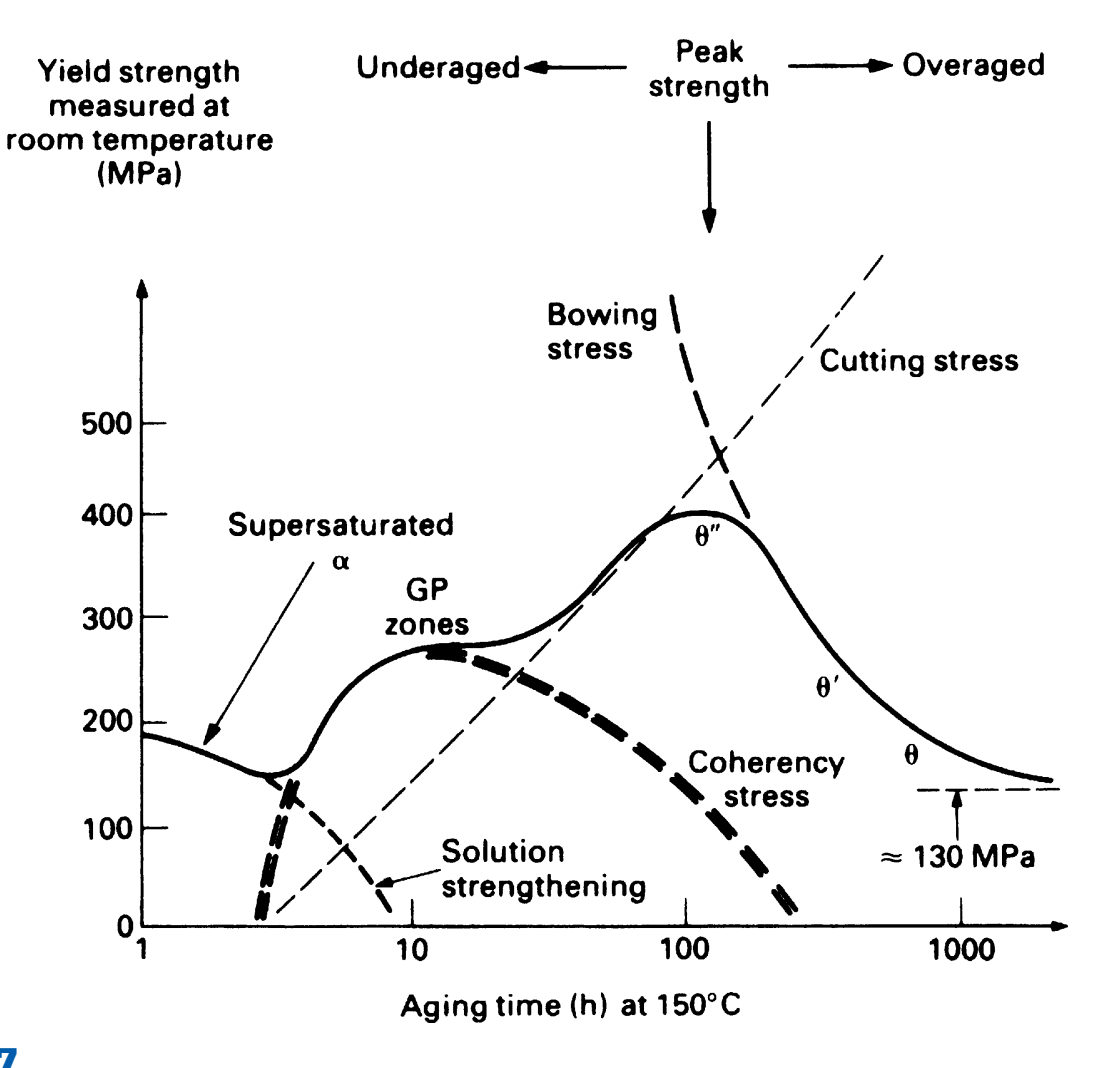
Il y a donc un temps de durcissement optimal.

Ce temps dépend de la température de précipitation.



Temps à la température de précipitation

La courbe de durcissement peut être complexe s'il y a plusieurs précipités (comme est le cas pour l'Al-Cu).



Source: M.F. Ashby & D.R.H. Jones,

Engineering Materials Vol. 2, 4th Ed., 2006,

Elsevier Butterworth.

**FIGURE 11.7** 

The yield strength of quenched Al—4 wt% Cu changes dramatically during aging at 150 °C.

Chapitre 3 - Métaux et Alliages - Al & Cu - 46

Le niveau de durcissement produit dépend de la température (car tant la cinétique que la nature des précipités varient).

Comme on le voit sur le système Al-Cu, le durcissement obtenu est conséquent.

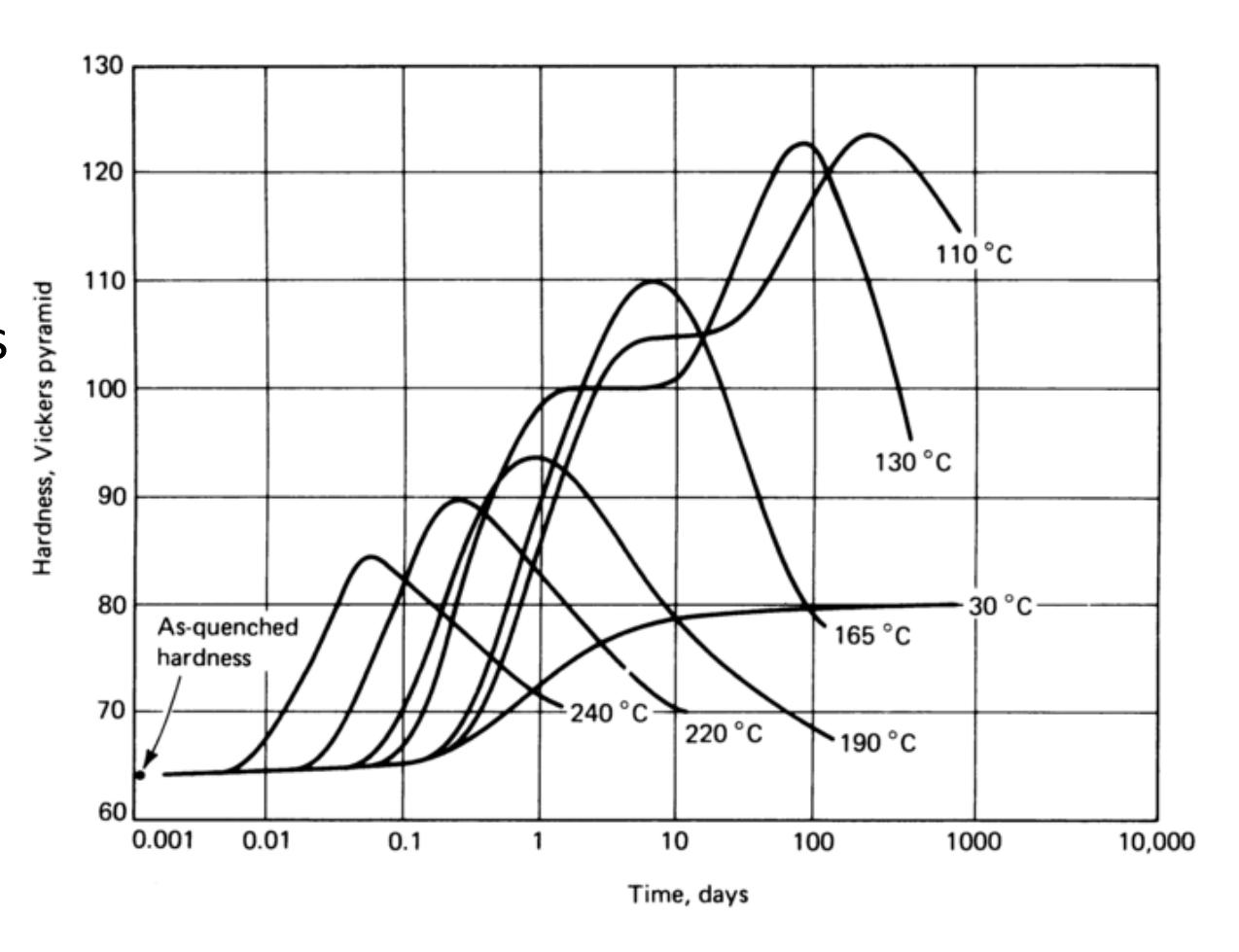


FIGURE II-33 – Dureté Vickers d'un alliage Al-4%pds Cu en fonction du temps et de la température de revenu, après une mise en solution de 48 h à 520 °C et une trempe à l'eau à 25 °C. Source: ASM International *Handbook online*, Vol. 4, 2011; H. K. Hardy 1951

#### **EPFL** Le durcissement structural

Ce traitement thermique est nommé durcissement structural (precipitation hardening or age hardening). (a)

#### Il comporte trois étapes:

- mise en solution ou homogénéisation (solutionisation or homogenisation),
- trempe (quench) et
- revenu si la précipitation est conduite à température élevée, ou vieillissement si elle est conduite à température ambiante (ageing or precipitation treatment en anglais, quelle que soit la température).

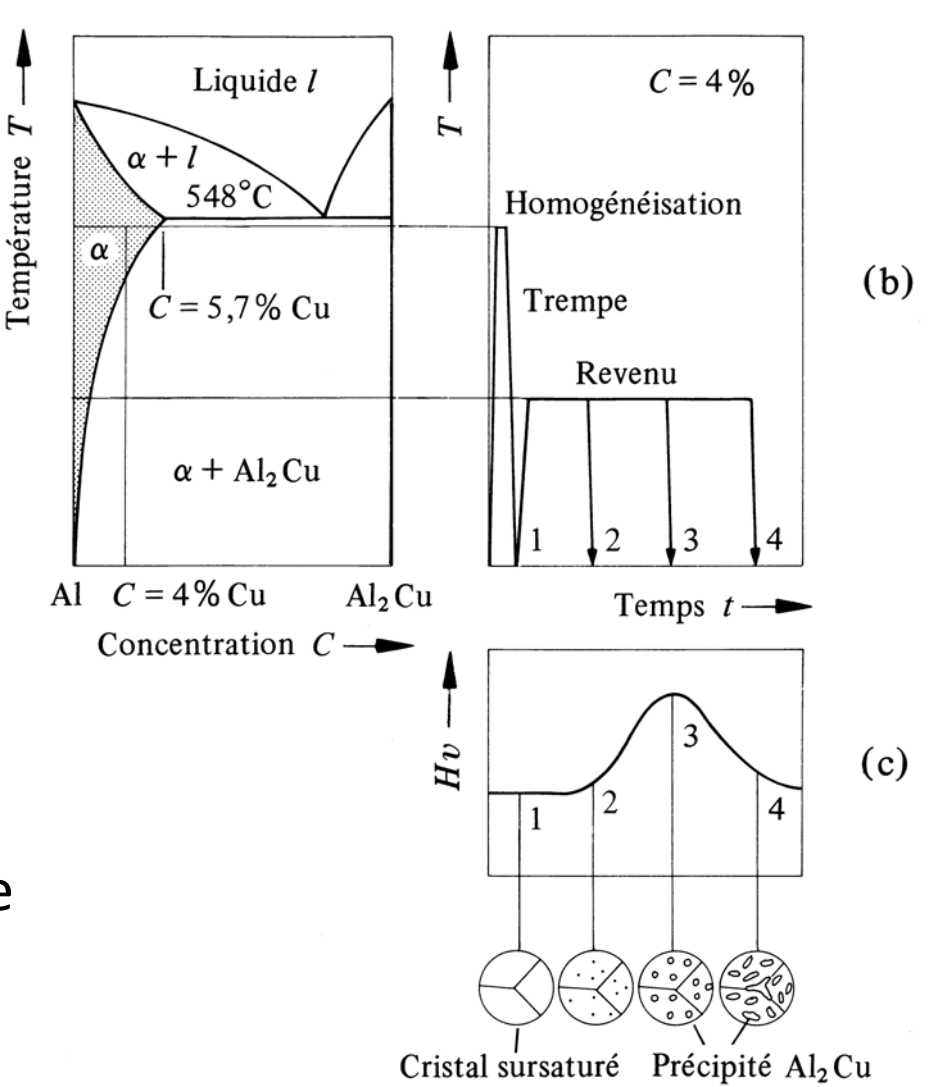


FIGURE II-31 – Traitement thermique d'un alliage Al-Cu. Source: W. Kurz, J.P. Mercier, G. Zambelli, *Traité des Matériaux, Vol. 1, Introduction à la Science des Matériaux*, 3° Édition, Presses Polytechniques et Universitaires Romandes, Lausanne, 2002.

### **EPFL** Le durcissement structural

Le durcissement	Table 10.1 Some Precipitation-Hardening Systems			
structural est un des	Base Metal	Alloy	Sequence of Precipitates	
mécanismes de durcissement les plus efficaces.	Al	Al-Ag Al-Cu Al-Zn-Mg Al-Mg-Si Al-Mg-Cu Al-Li-Cu	Zones (spheres) — $\gamma'$ (plates) — $\gamma(Ag,Al)$ Zones (disks) — $\theta''$ (disks) — $\theta'$ — $\theta$ (CuAl <sub>2</sub> ) Zones (spheres) — M' (plates) — (MgZn <sub>2</sub> ) Zones (rods) — $\beta'$ — (Mg <sub>2</sub> Si) Zones (rods or spheres) — S' — S(Al <sub>2</sub> CuMg) Zones — $\theta''$ — > $\theta'$ — > $\theta$ (CuAl <sub>2</sub> )	
Il est abondamment		7 (i Li Cu	Ti(CuAl <sub>2</sub> Li)	
utilisé en pratique;			$\delta' \longrightarrow > \delta$ (AlLi)	
les séquences de précipités peuvent	Cu	Cu–Be Cu–Co	Zones (disks) —— $\gamma'$ —— $\gamma$ (CuBe) Zones (spheres) —— $\beta$	
être complexes	Fe	FeC	$\varepsilon$ -Carbide (disks) — Fe <sub>3</sub> C("laths")	
(comme pour Al-Cu)		Fe-N	$\alpha''$ (disks) —— Fe <sub>4</sub> N	
-	Ni	Ni-Cr-Ti-Al	$\gamma'$ (cubes) —— $\gamma(Ni_2Ti)$	

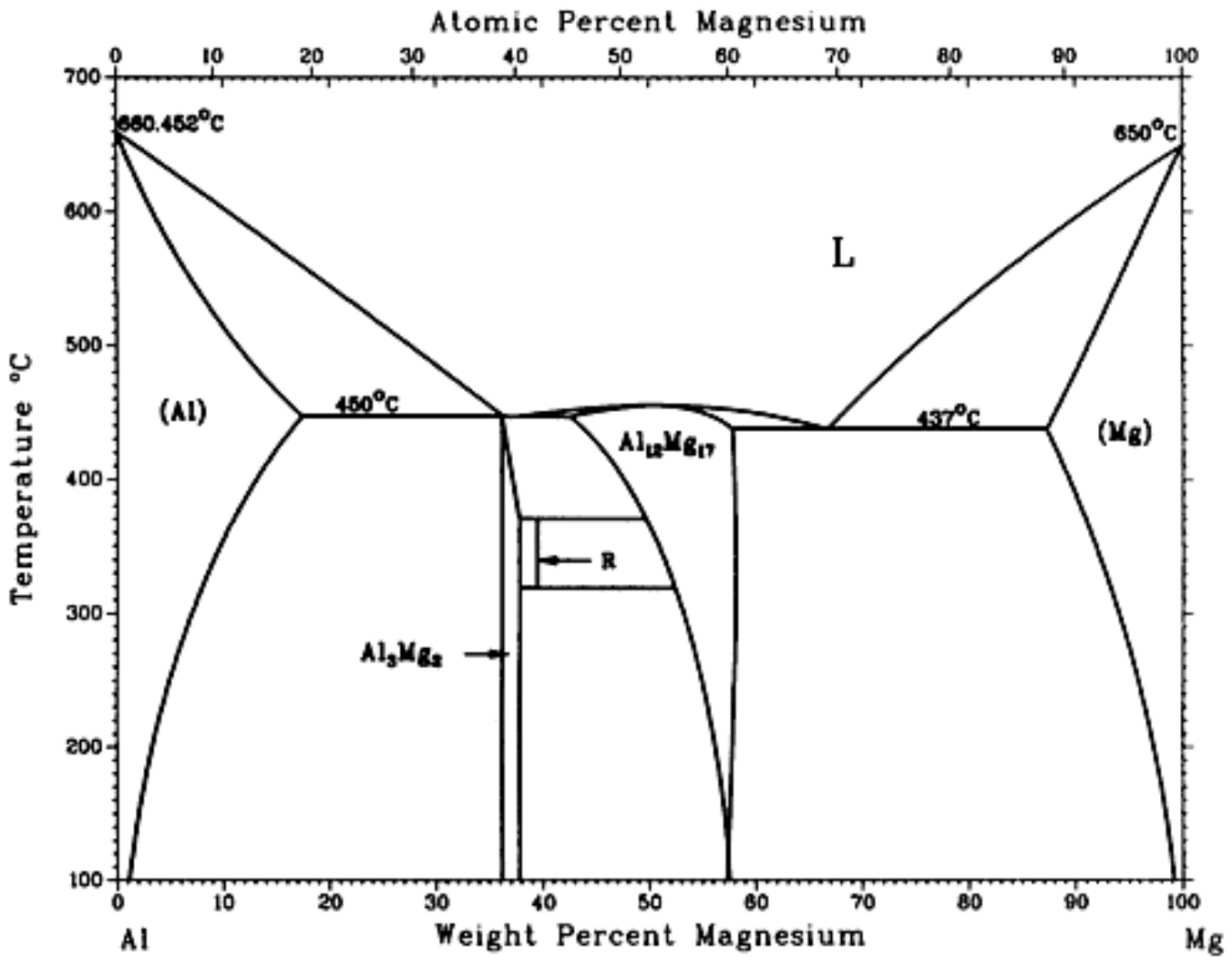
Le durcissement structural requiert certaines caractéristiques de la part de l'alliage:

- une solubilité qui décroît avec la température d'éléments formant une seconde phase
- que cette seconde phase précipite avec une cinétique (diagramme TTT) permettant de tremper l'alliage et de la faire apparaître à des temps et températures praticables

Ce durcissement a aussi une limitation importante: on ne peut utiliser l'alliage à des températures où agit la maturation.

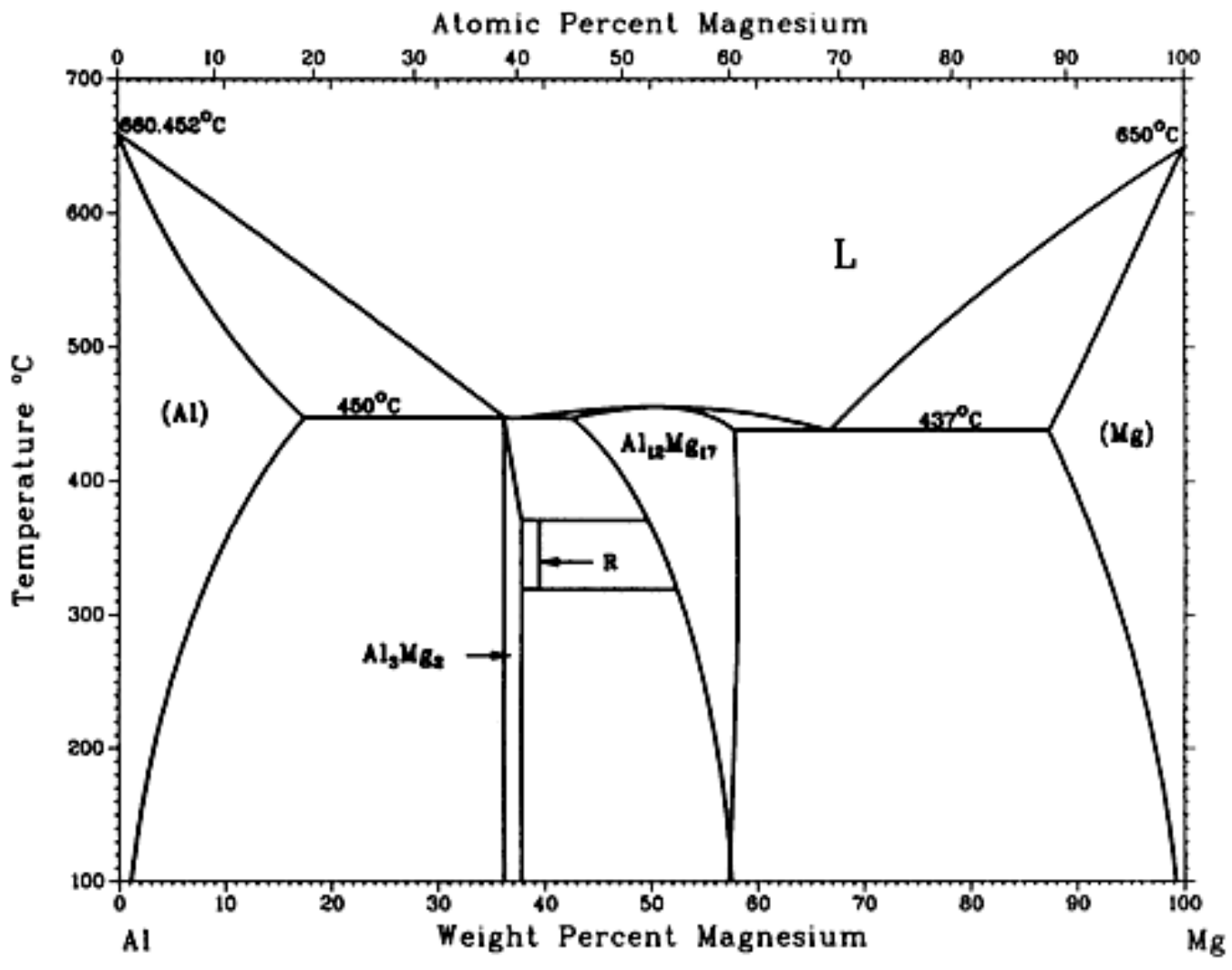
Le durcissement structural requiert aussi des précipités qui durcissent l'alliage efficacement.

Les alliages Al-Mg fournissent un exemple de système où ce mécanisme de durcissement est inefficace pour cette (seule) raison.



(a) Diagramme de phase du système Al-Mg.

La solubilité de Mg dans la phase solide  $\alpha$  décroît bien avec la température...

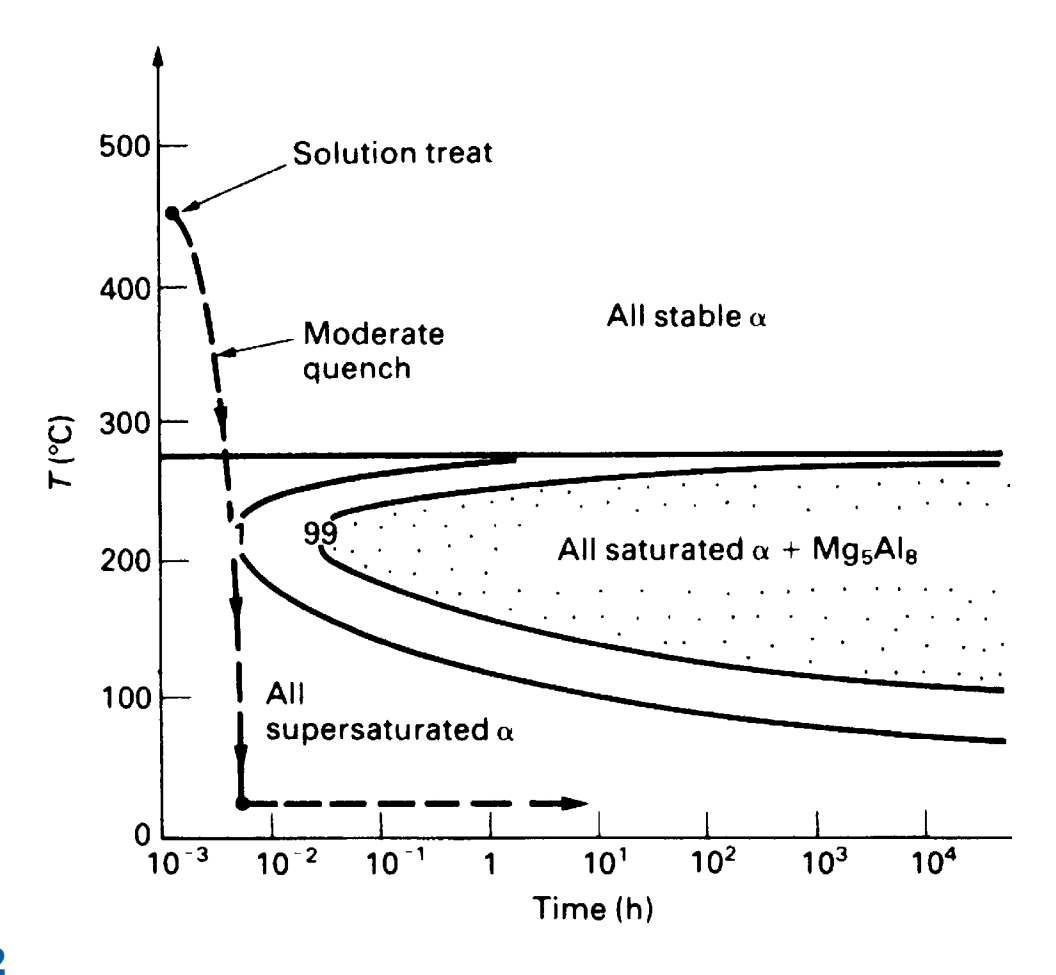


Chapitre 3 – Métaux et Alliages – Al & Cu - 52

(a) Diagramme de phase du système Al-Mg.

... et la cinétique de précipitation est a priori OK... mais le durcissement obtenu par formation de précipités n'est pas élevé.

On durcit ces alliages de deux autres façons - lesquelles opèrent aussi dans les alliages AlCu.



#### **FIGURE 11.2**

Semischematic TTT diagram for the precipitation of Mg<sub>5</sub>Al<sub>8</sub> from the Al—5.5 wt% Mg solid solution.

Source: M.F. Ashby & D.R.H. Jones, Engineering Materials Vol. 2, 4th Ed., 2006, Elsevier Butterworth.

Les dislocations sont entourées d'un champ de contraintes élevées.

Les atomes étrangers en solution solide aussi.

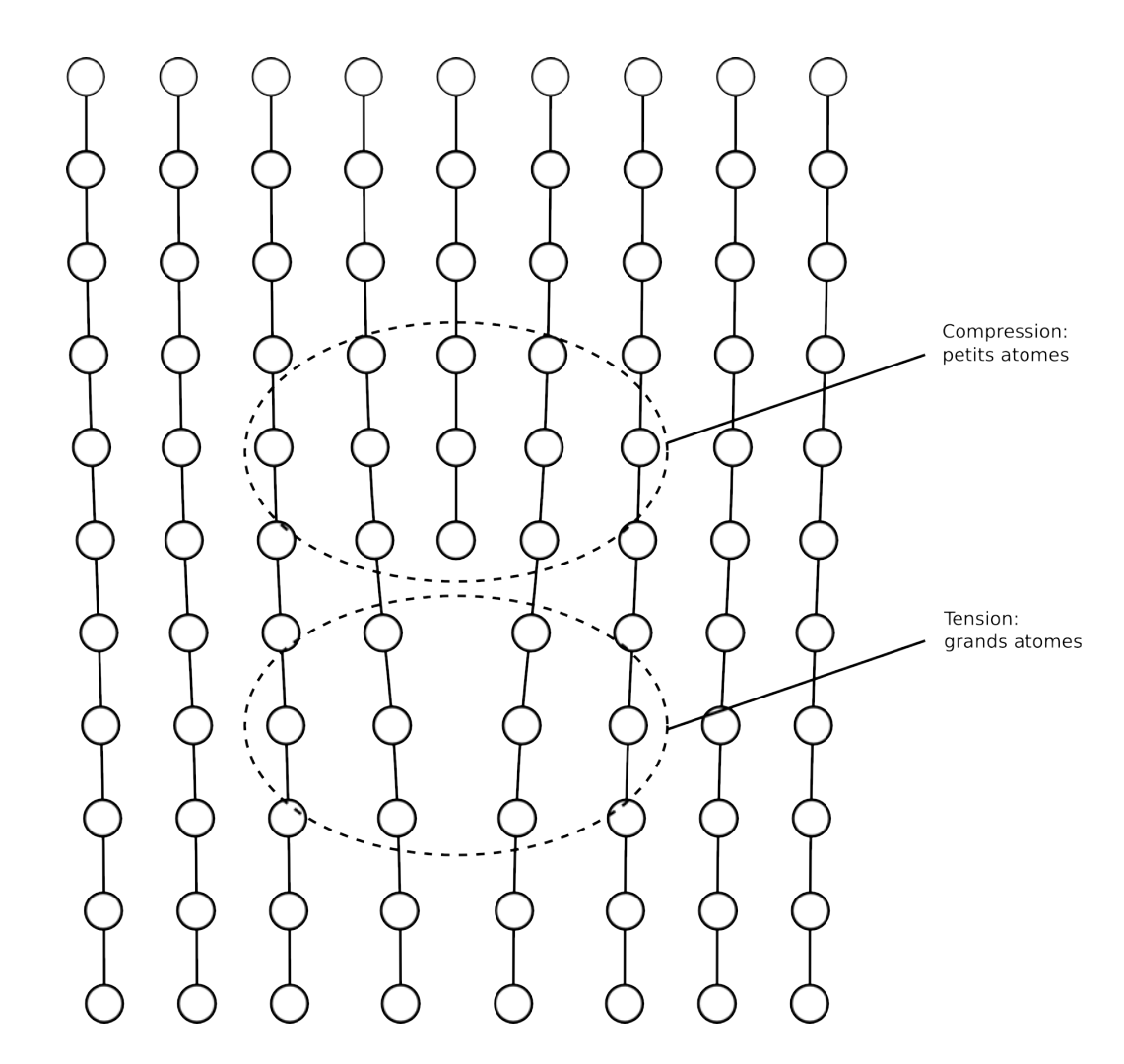
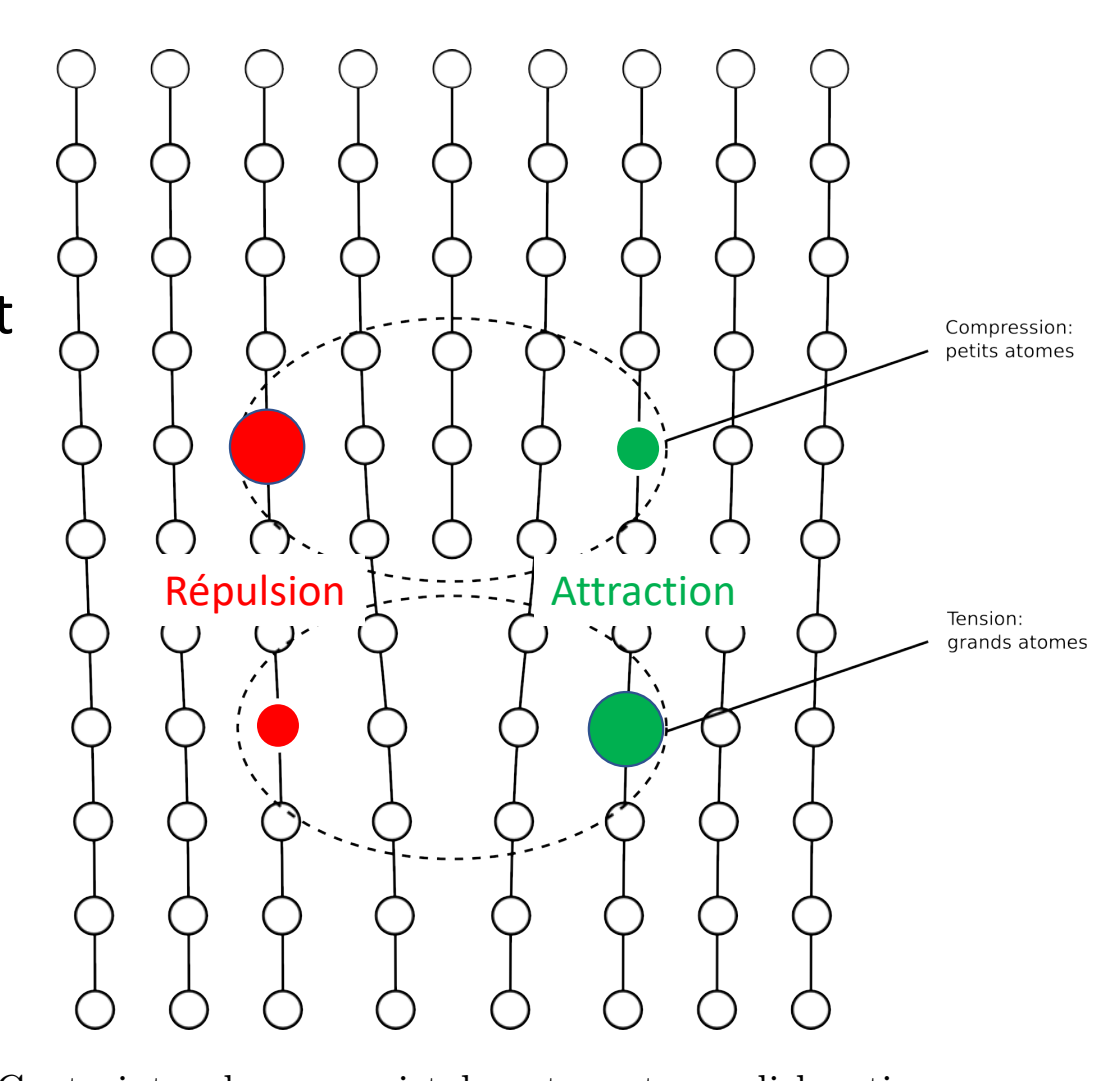


FIGURE II-42 – Contraintes dans un cristal contenant une dislocation.

#### Le système Al-Mg **EPFL**

Il en résulte que les dislocations et les atomes en solution solide se repoussent ou s'attirent mutuellement (selon le signe des contraintes et leurs situations réciproques).

Dans les deux cas (attraction ou répulsion) les forces qui en résultent interfèrent avec le mouvement des dislocations. Ceci augmente la contrainte requise pour faire avancer les dislocations (= la contrainte d'écoulement de l'alliage). FIGURE II-42 – Contraintes dans un cristal contenant une dislocation.



Et pour la même raison (les dislocations sont entourées d'un champ de contraintes élevées), elles aussi s'attirent ou se repoussent mutuellement. Ceci fait qu'il faut aussi un excédent de contrainte pour faire avancer les dislocations si ces dernières sont en concentration élevée au sein du matériau cristallin qu'on veut déformer.

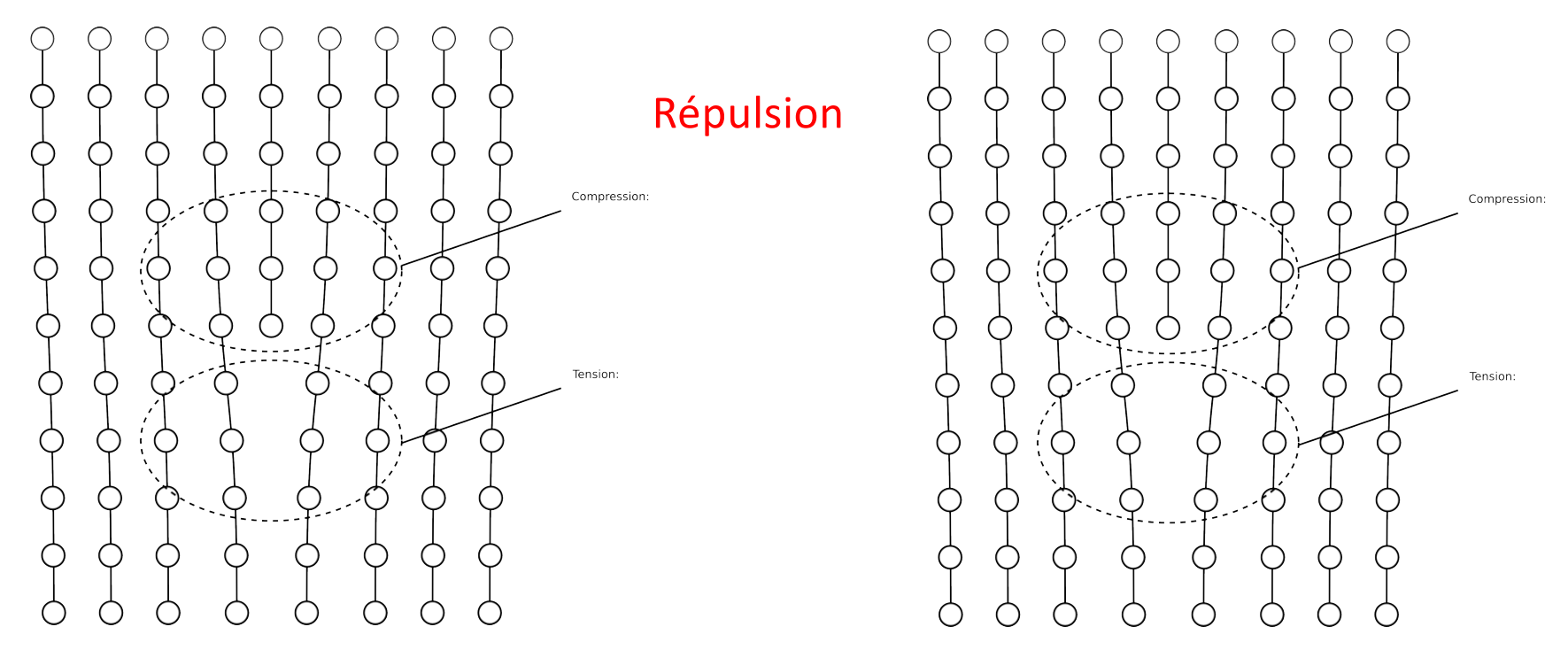


Figure II-42 – Contraintes dans un cristal contenant une dislocation.

FIGURE II-42 – Contraintes dans un cristal contenant une dislocation.

Chapitre 3 – Métaux et Alliages – Al & Cu - 56

Et pour la même raison (les dislocations sont entourées d'un champ de contraintes élevées), elles aussi s'attirent ou se repoussent mutuellement. Ceci fait qu'il faut de même un excédent de contrainte pour faire avancer les dislocations si elles sont en concentration élevée au sein du matériau cristallin qu'on veut déformer.

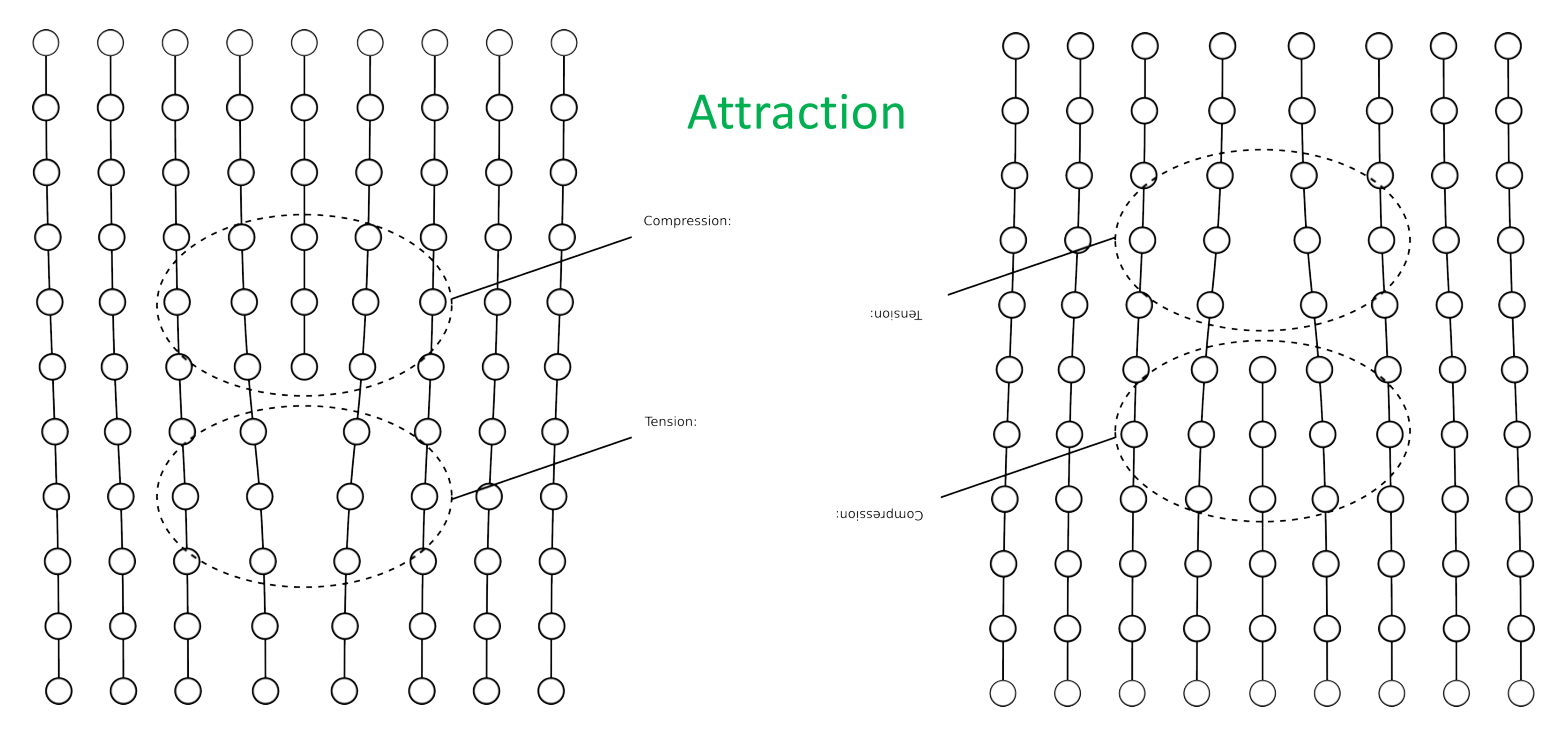
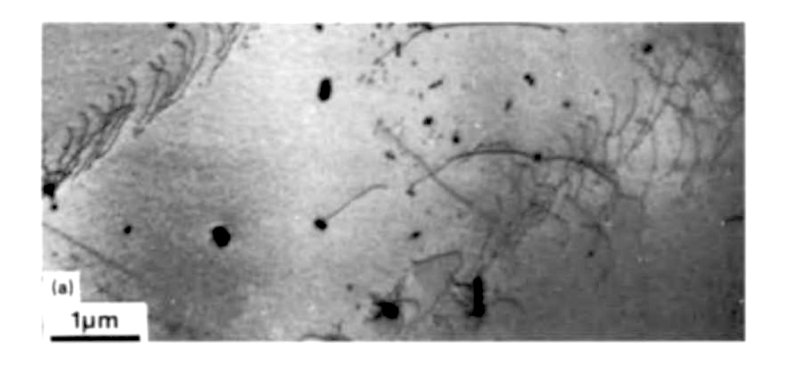


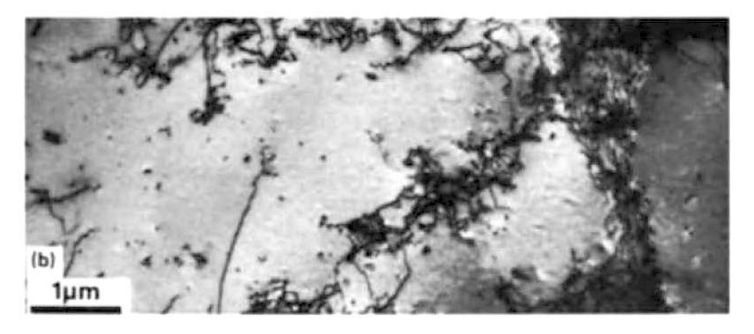
FIGURE II-42 – Contraintes dans un cristal contenant une dislocation.

Chapitre 3 – Métaux et Alliages – Al & Cu - 57

Et comme les dislocations s'accumulent au sein d'un métal ou alliage qu'on déforme, il se durcit au fur et à mesure qu'on le déforme.

C'est l'origine principale de l'écrouissage (work hardening) des métaux et alliages.





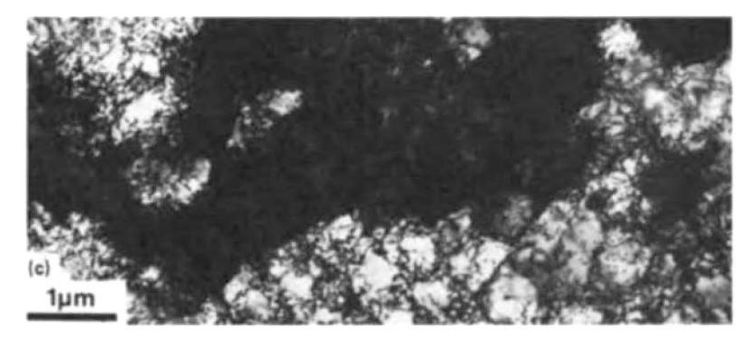


FIGURE II-44 – Micrographie au TEM de l'écrouissage : (a) 2% de laminage ; (b) 5% de laminage ; (c) 60% de laminage.

Source: J.E. Hatch, Aluminum: properties and physical metallurgy, ASM International, USA, 1984; courtesy of Alcan International Ltd.

Durcissement par solution solide et par écrouissage sont tous deux utilisés pour donner aux alliages Al-Mg des propriétés mécaniques attrayantes.

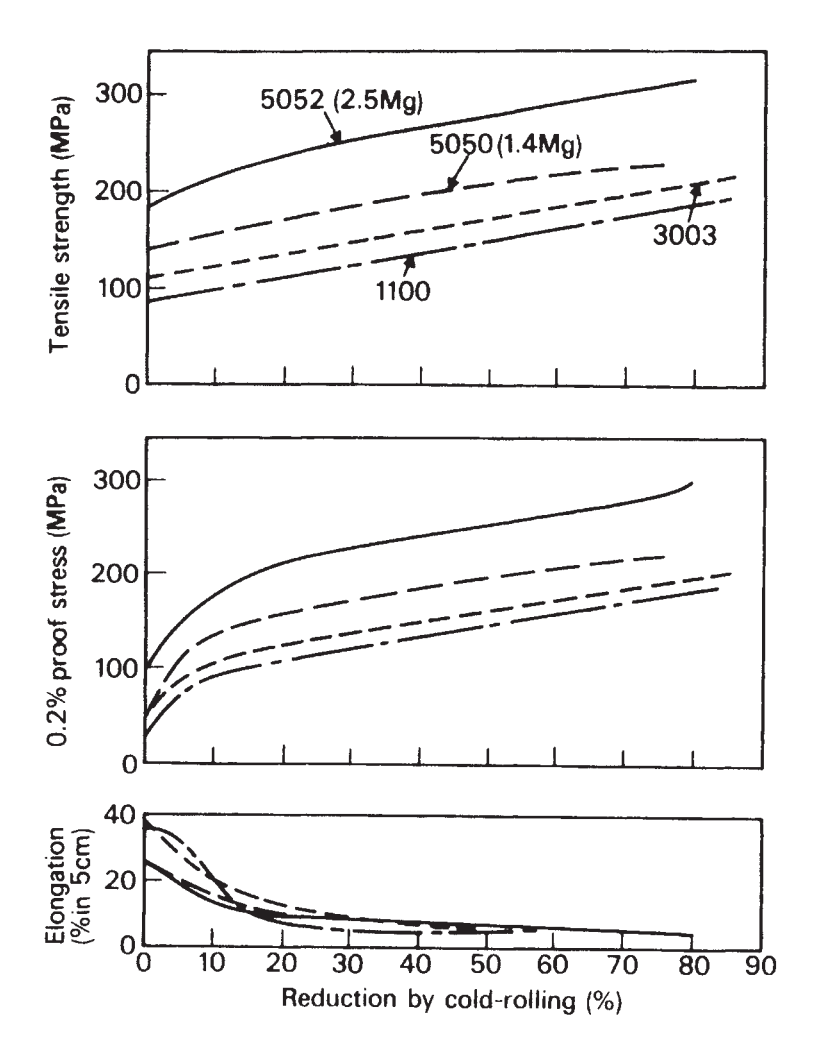


FIGURE II-43 — Effet de l'écrouissage sur la résistance en traction et la contrainte d'écoulement. Source: I.J. Polmear, *Light Alloys: from traditional alloys to nanocrystals*, Butterworth-Heinemann, 2006; W.A. Anderson, in *Aluminium*, Vol. 1, K. Van Horn (Ed.), American Society for Metals, Cleveland, Ohio, 1967.

Les dislocations représentent un surcroît d'énergie interne pour le cristal qui les contient; elles sont thermodynamiquement instables. Cela se traduit par le fait que, si environ 95-90% de l'énergie dépensée à déformer un métal par déformation plastique est relâchée sous forme de chaleur, environ 5 à 10% de celle-ci est emmagasinée au sein du métal.

De ce fait, la structure riche en dislocations caractéristique d'un métal fortement écroui (work hardened metal) a tendance à évoluer pour diminuer la densité de dislocations. Les mécanismes de suppression des dislocations étant activés thermiquement, celle-ci va se faire d'autant plus rapidement que la température est élevée.

Ceci a lieu tant pendant, qu'après, la déformation.

Les dislocations peuvent réduire leur densité (mesurée en m/m³) de deux façons.

La première est la *restauration* ("recovery"): les dislocations de signe opposé (qui de ce fait s'attirent) migrent avec l'aide de l'activation thermique l'une vers l'autre pour réduire leur longueur et se positionner de façons plus stable. La densité de dislocations chute et avec elle la contrainte d'écoulement du métal.

L'effet de la restauration sur la contrainte d'écoulement est moins spectaculaire que pour l'autre mécanisme de suppression des dislocations créées par l'écrouissage, à savoir la recristallisation.

La seconde est la recristallisation ("recrystallisation").
Celle-ci est la germination et croissance de nouveaux grains, au sein du matériau écroui, ayant la même composition et structure, mais plus stables car comptant bien moins de dislocations. Dans une structure fortement déformée

FIGURE II-46 — Recristallisation d'un alliage 5182 recuit à 245 °C : (a) sans recuit ; (b) après 1 h de recuit ; (c) après 2 h de recuit ; (d) après 3 h de recuit ; (e) après 4 h de recuit ; (f) après 7 h de recuit. Attaque par solution de Barkers.

Source: J.E. Hatch, Aluminum: properties and physical metallurgy, ASM International, USA, 1984; Courtesy of B.A. Riggs, Kaiser Aluminum and Chemical Corp.

on les reconnait à

leur structure equiaxe

La recristallisation change entièrement la structure de grains du matériau. La taille de grain obtenue dépend en particulier du taux d'écrouissage avant recuit: plus il est élevé plus il y aura de sites de germination de nouveaux grains et donc plus les nouveaux grains seront fins.

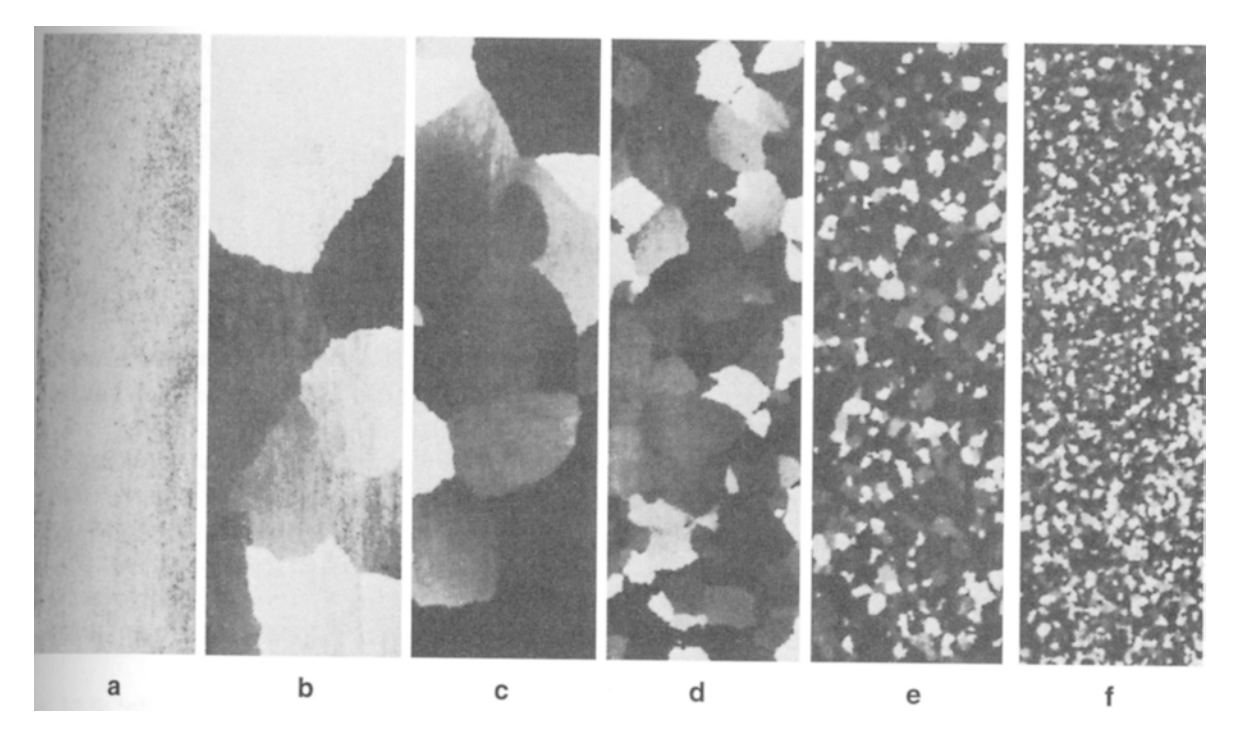


FIGURE II-47 – Recristallisation en fonction du taux d'écrouissage avant recuit : (a) 0%; (b) 2%; (c) 4%; (d) 6%; (e) 8%; (f) 10%.

Source: D.G. Altenpohl, Aluminum: technology, applications, and environment, 6<sup>th</sup> Edition, The Aluminum Association, USA, 1999.

La recristallisation a aussi besoin pour se produire qu'un certain seuil de déformation ait été excédé au sein du matériau (= qu'il y ait plus qu'une certaine concentration de dislocations). Illustration; notez que (i) les grains sont plus gros là où le métal a été moins déformé (moins de germination) et que (ii) toute la tôle n'a pas recristallisé.

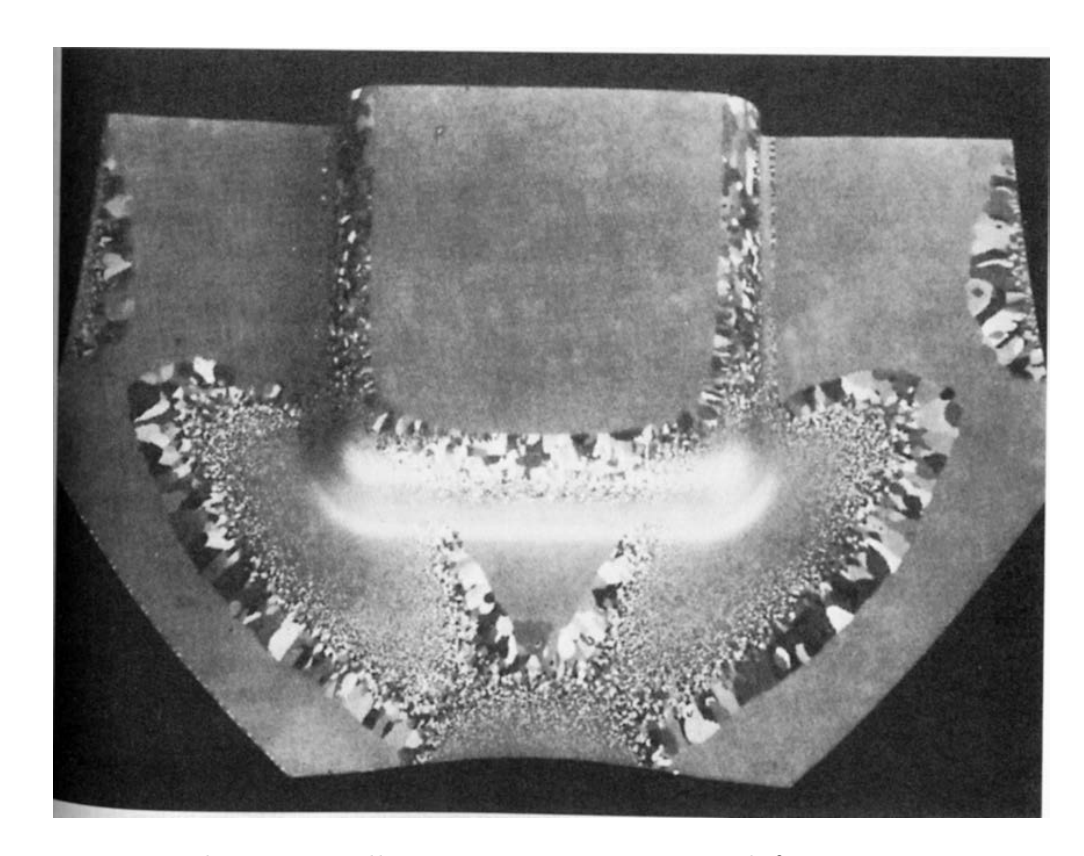
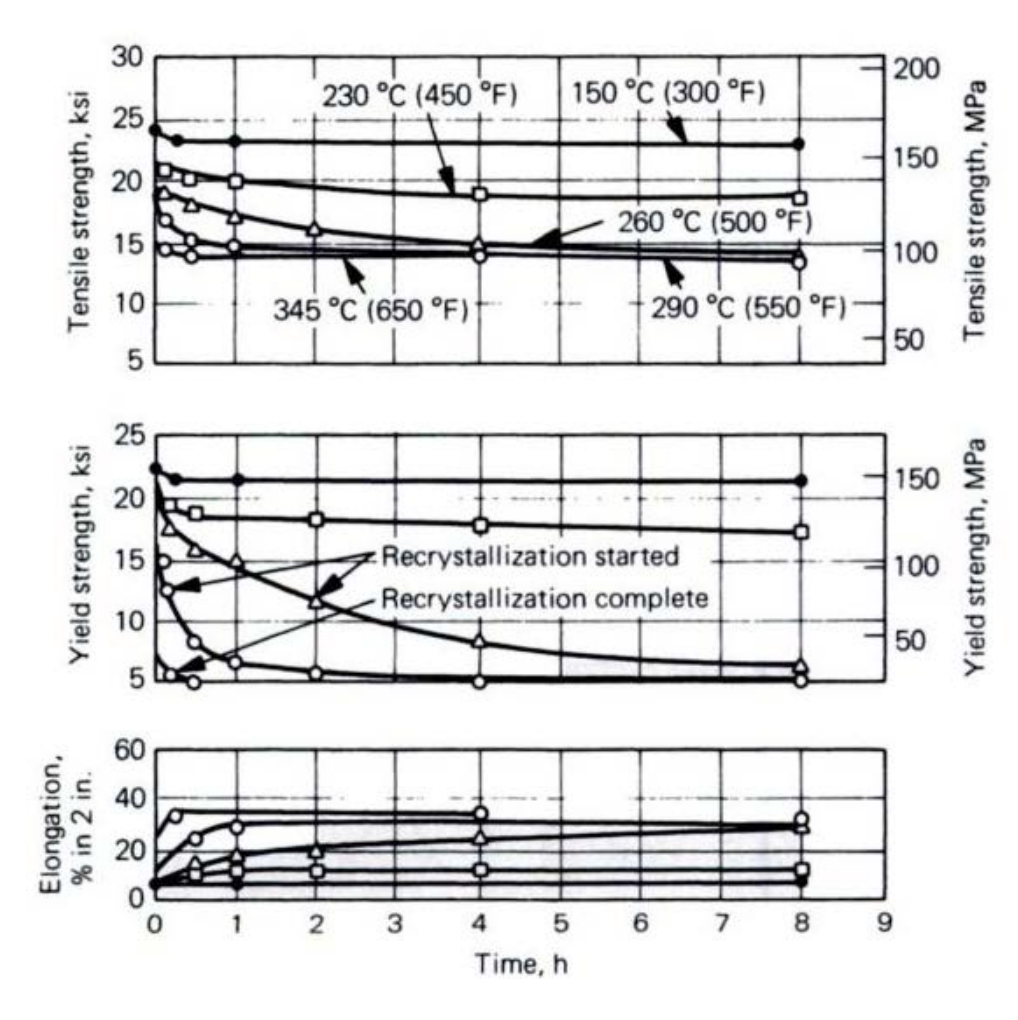


FIGURE II-48 – Pièce emboutie en alliage 5052, recuite après déformation. Source: D.G. Altenpohl, *Aluminum: technology, applications, and environment*, 6<sup>th</sup> Edition, The Aluminum Association, USA, 1999.

On peut donc adoucir un métal écroui en le chauffant pour y réduire la densité de dislocations: c'est le *recuit* ("annealing") des métaux et alliages (qui produit la restauration et/ou la recristallisation). Le recuit diminue la résistance et augmente la ductilité (et donc va à l'inverse de ce que fait



l'écrouissage.

FIGURE II-45 – Courbes de restauration pour une plaque d'aluminium 1100-H18.

Source: J.E. Hatch, Aluminum: properties and physical metallurgy, ASM International, USA, 1984; Courtesy of Aluminum Company of America.

La recristallisation a lieu car à haute température les joints de grain sont mobiles.

Etant mobiles, les joints de grain peuvent aussi se mouvoir pour diminuer l'aire de joint de grain volumique au sein du matériau (pour diminuer l'énergie d'interface volumique).

# Les mousses sont un système analogue

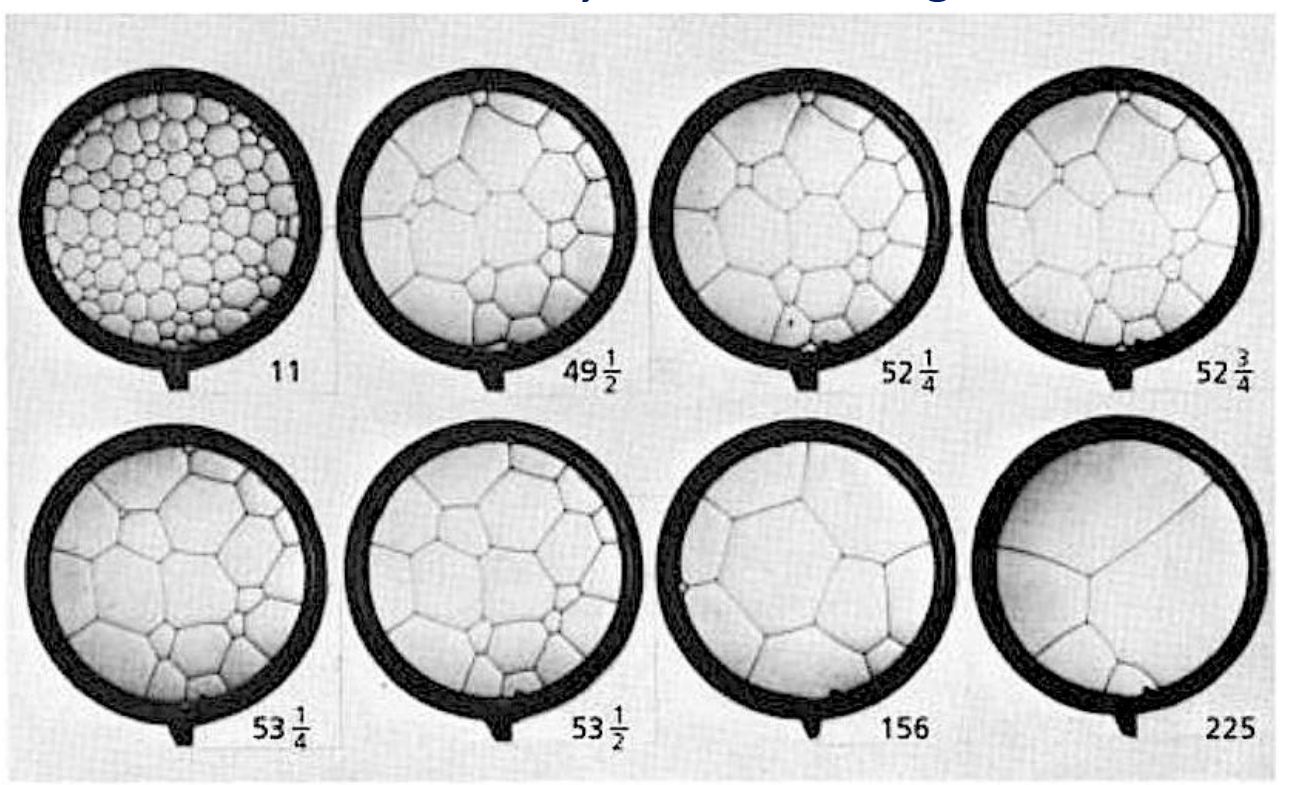
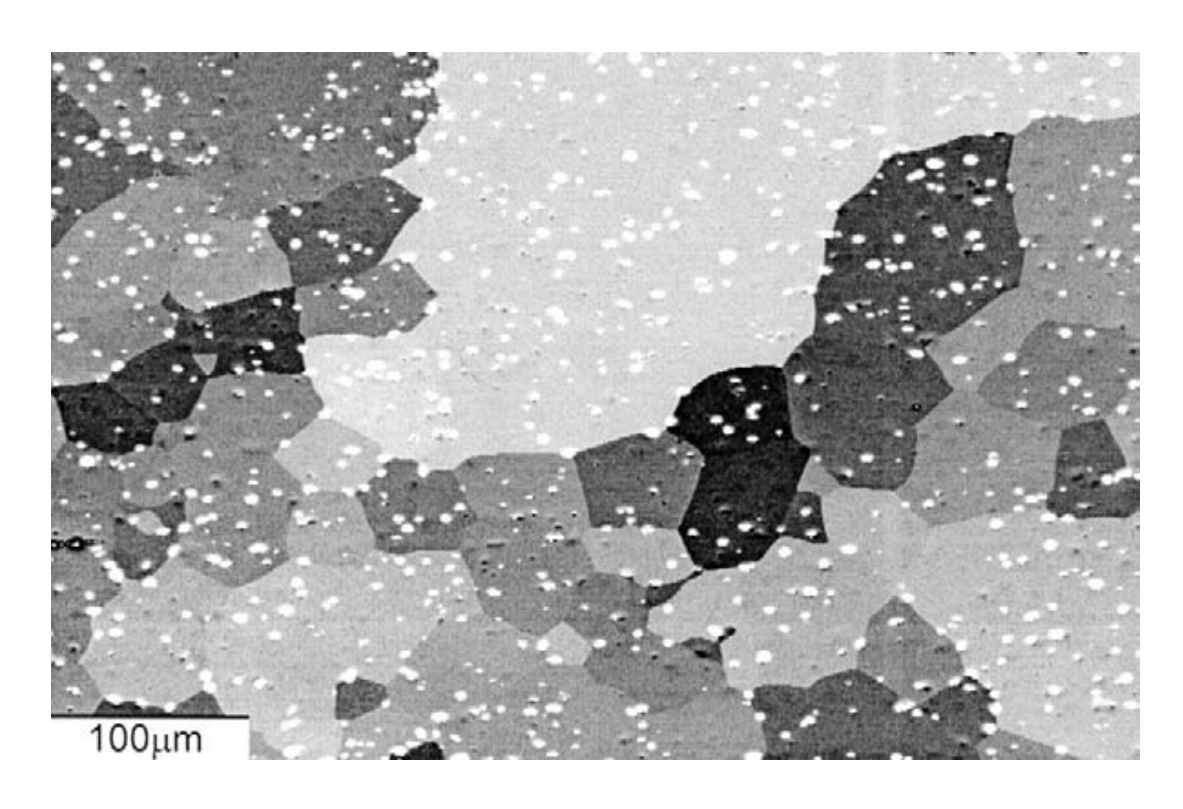


FIGURE II-50 – Maturation de bulles de savon. Source: R. Abbaschian, L. Abbaschian, R.E. Reed-Hill, *Physical Metallurgy Principles*, Cengage Learning, USA, 2009.

Si quelques grains sont nettement plus grands que les autres, on peut avoir ce qu'on appelle une croissance de grain anormale (abnormal grain growth): les gros grains, plus stables que le reste, absorbent tous ceux qui les entourent, menant à un contraste de taille de grain exagéré.



 $\label{eq:Figure II-49-Croissance anormale.} Figure II-49-Croissance anormale. \\ Source: F.J. Humphreys, M. Hatherly, Recrystallisation and related annealing phenomena, Pergamon, Oxford, 1995. \\$ 

Les secondes phases stables (précipités ou autres) sont des obstacles au mouvement des joints de grain (les deux s'attirent car un précipité logé à cheval sur un joint de grain en réduit l'aire et donc l'énergie).

Une dispersion de fin précipités est ainsi utilisée pour restreindre la taille des grains formés lors de la recristallisation.

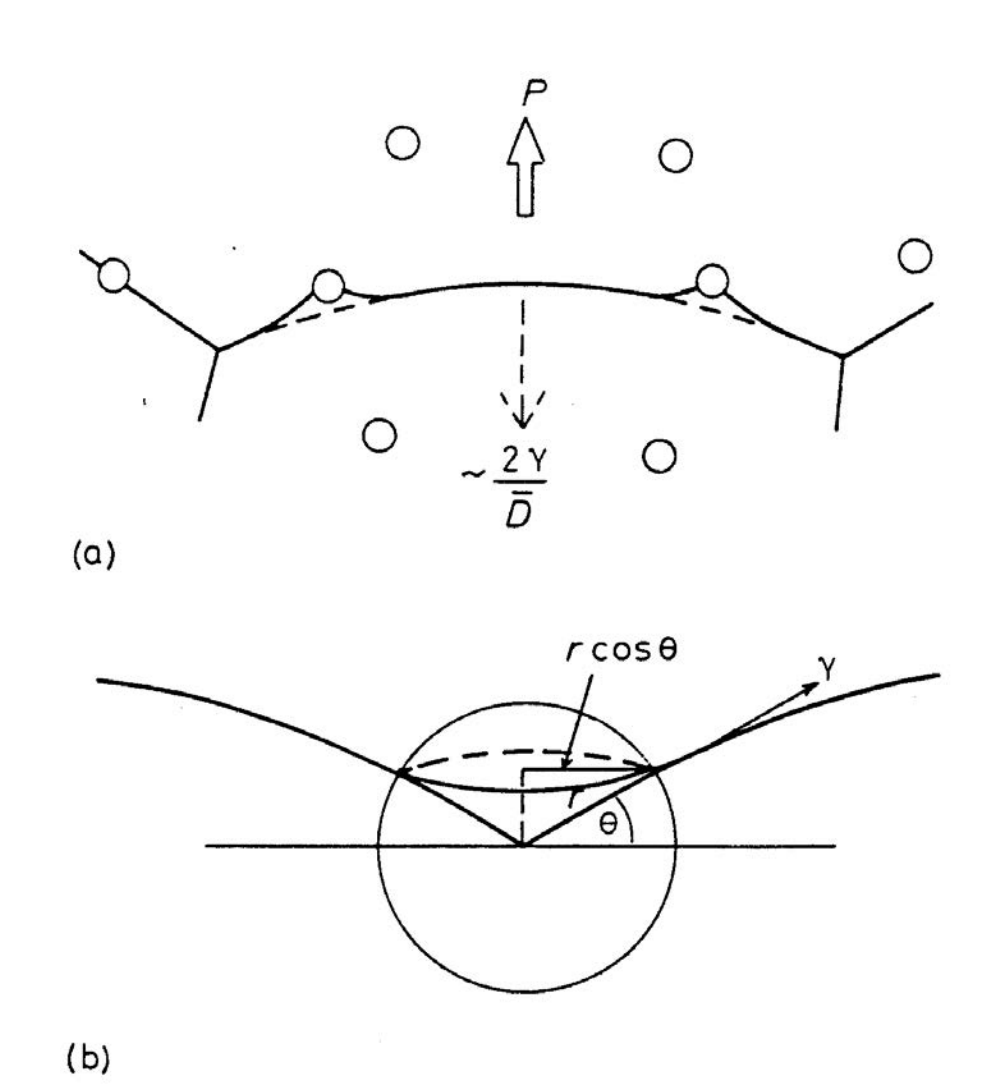
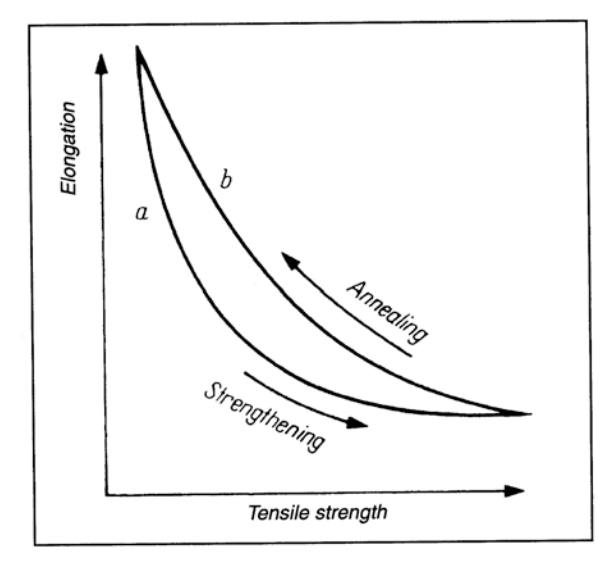


FIGURE II-51 – Précipité à un joint de grain.

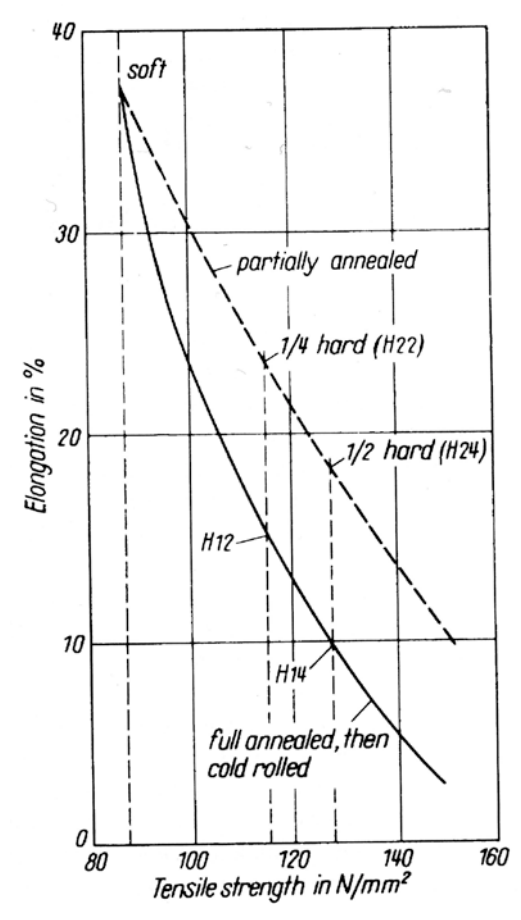
Par écrouissage ou par recuit, on peut donc durcir ou adoucir les métaux et les alliages.

La combinaison des propriétés, de résistance mécanique et de ductilité, qui en résulte n'est pas indifférente à la trajectoire de mise en forme:

une déformation suivie d'un recuit partiel donne dans l'aluminium de meilleures propriétés qu'un simple durcissement par déformation directe (mais cette voie est plus onéreuse).



(a) Comportement schématique en fonction du recuit et de l'écrouissage.



(b) Comportement mesuré pour de l'aluminium pur à 99.5%.

FIGURE II-53 – Recuit et écrouissage de l'aluminium.

Source: D.G. Altenpohl, Aluminum: technology, applications, and environment, 6<sup>th</sup> Edition, The Aluminum Association, USA, 1999.

#### **EPFL** Récapitulatif

Nous avons donc vu trois mécanismes de durcissement des métaux (donnés ici par ordre de découverte):

- l'écrouissage, et son contraire le recuit, que l'on peut aussi utiliser dans les métaux purs;
- le durcissement par solution solide;
- le durcissement structural (par formation de nombreux précipités fins).

Tous trois sont à la base des mécanismes d'ajout, au sein de la microstructure du métal, d'obstacles au mouvement des dislocations; respectivement:

- les dislocations,
- les atomes étrangers,
- de petits cristaux étrangers.

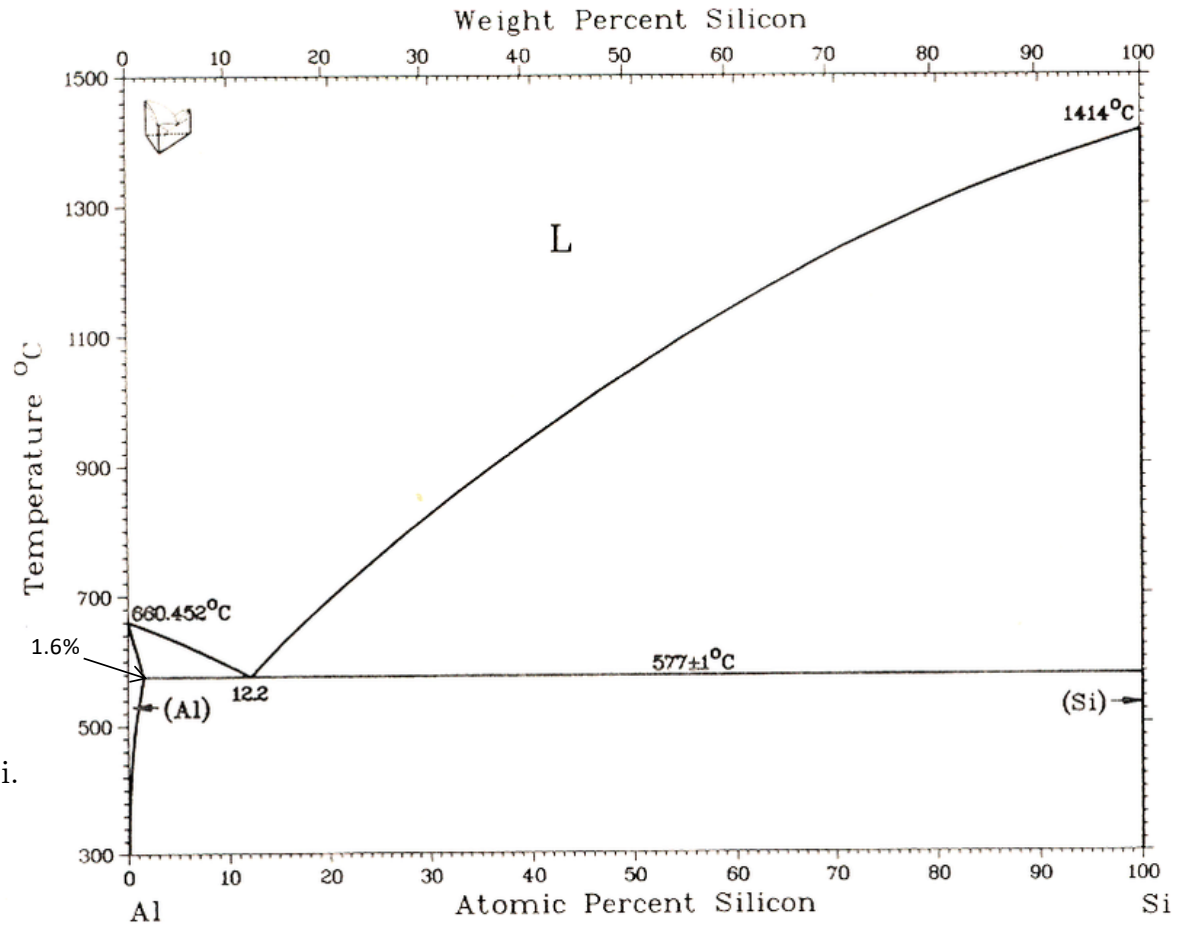
Voyons maintenant un système, Al-Si, surtout présent dans les alliages de

fonderie; il est utilisé car les alliages Al-Si sont faciles à couler (et peu onéreux).

Phase	Composition [%pds Si]
(Al)	0 à 1.61
(Si)	99.985 à 100

(b) Composition des phases du système Al-Si.

FIGURE II-56 — Diagramme de phase d'équilibre du système Al-Si. Source: ASM International *Handbook online*, Vol. 3, 2002; J.L. Murray, 1984.



Chapitre 3 – Métaux et Alliages – Al & Cu - 71

(a) Diagramme de phase du système Al-Si.

Une des raisons principales en est que le retrait de solidification: la plupart des métaux se contractent de plusieurs % par volume en solidifiant.

Il en résulte la formation de retassures ("shrinkage voids") que l'on cherche à exclure de la pièce coulée:

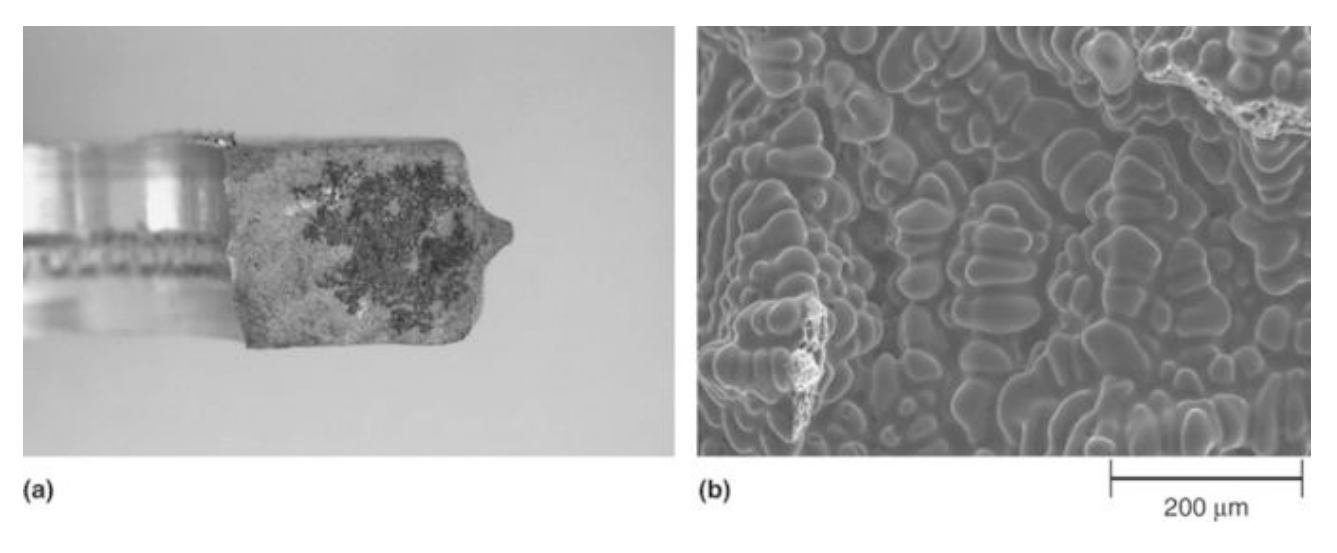


FIGURE II-58 – Retassure macroscopique (en gris foncé) dans un alliage en aluminium coulé : (a) au microscope optique; (b) au SEM, confirmant la présence de la retassure, grâce aux dendrites dénudées.

Source: ASM International Handbook online, Vol. 15, 2009.

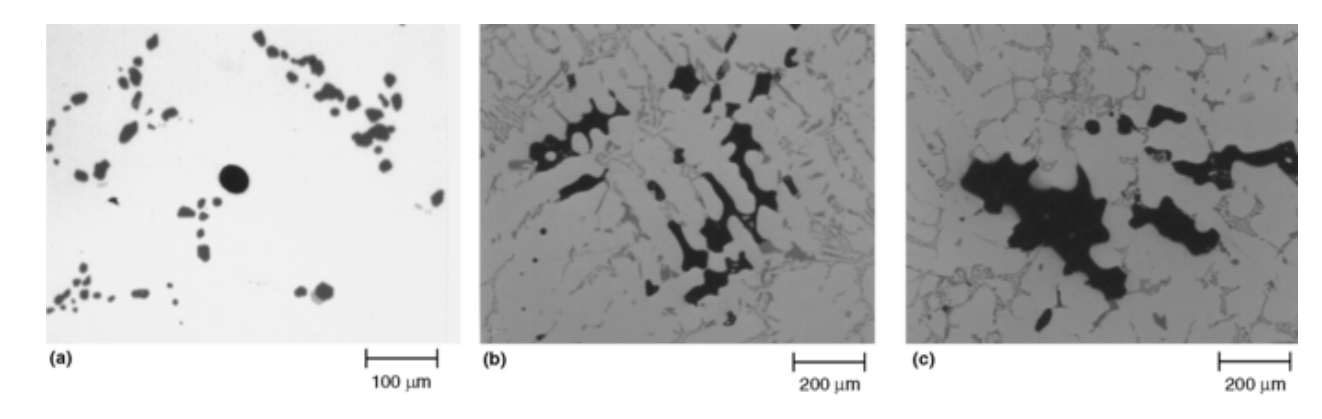
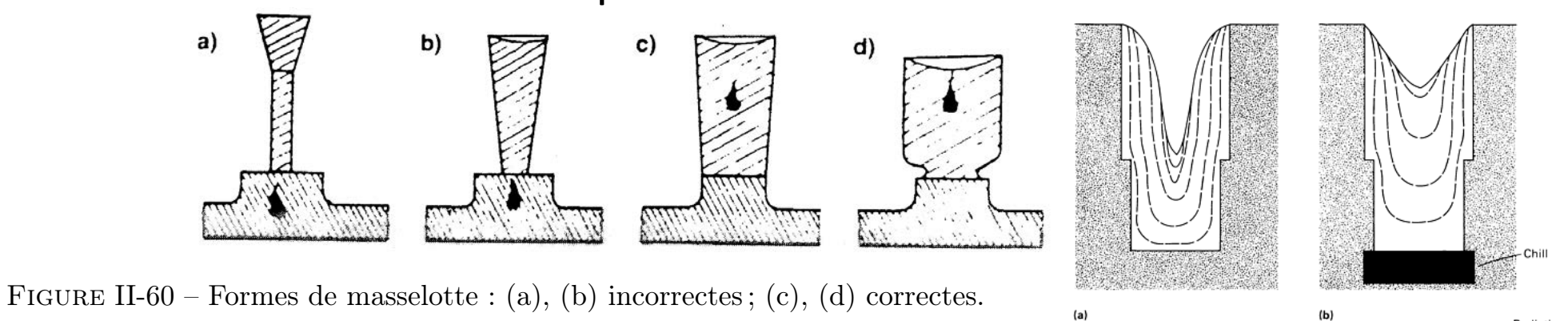


FIGURE II-59 – Retassures microscopiques : (a) pores gazeux ; (b) retassures dispersées ; (c) amas de retassures.

Source: ASM International Handbook online, Vol. 9, 2010; M. Biel-Golaska, 2001.

Pour ce on utilise des masselotes ("risers") qui restent liquides plus longtemps que la pièce et peuvent de ce fait alimenter en métal liquide le retrait de solidification au sein de la pièce.



Une autre source de porosité dans les pièces coulées est l'hydrogène, qui dissout dans le métal va créer des bulles dans le métal fondu (on "dégaze" donc souvent les alliages d'aluminium avant la coulée)

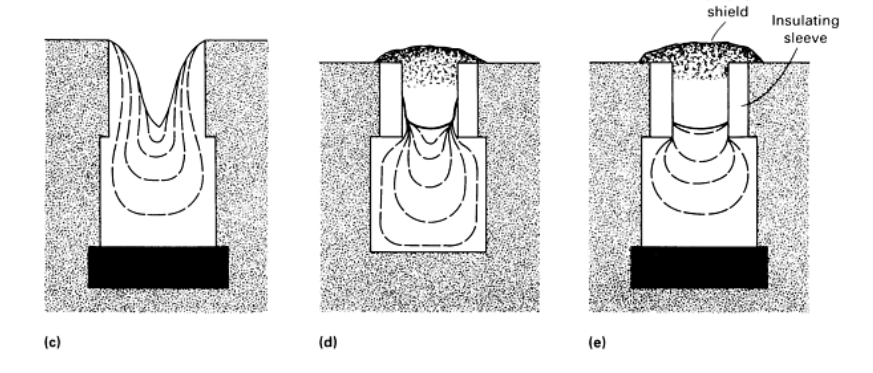


FIGURE II-61 – Masselotte : (a) simple ; (b, c) avec refroidissement de la pièce ; (d) avec un isolant ; (e) avec un isolant et refroidissement.

Source: ASM International Handbook online. Vol. 15, 2002.

Dans les alliages coulés Al-Si, le Si prend la forme de cristaux à facettes:

- des grands cristaux formés en premier si l'alliage est hypereutectique;
- des plaquettes fines irrégulières quand le Si fait partie de l'eutectique (notez que ces micrographies n'ont pas d'échelle: grosso modo les clichés font ≈ 100 µm de côté)

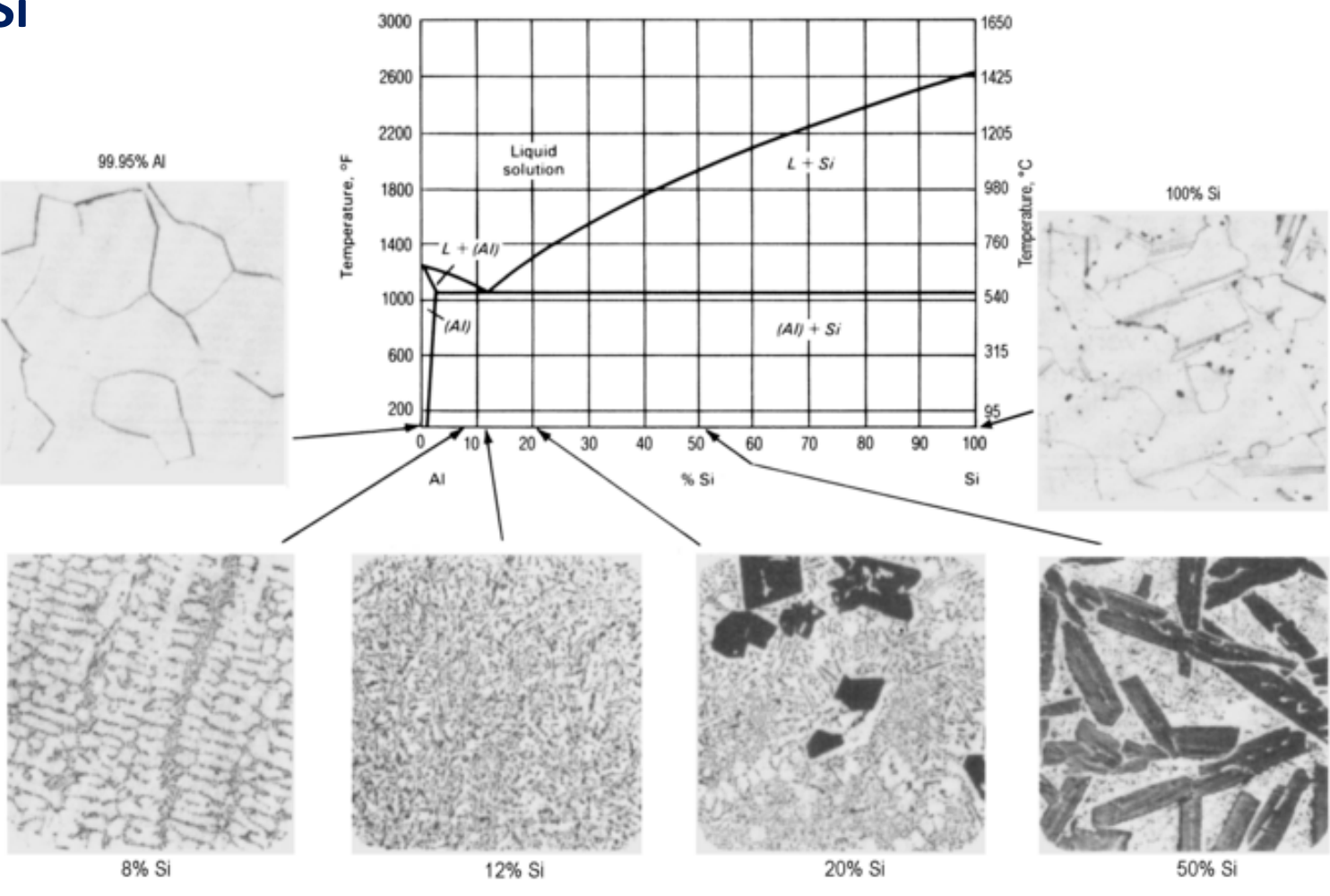


FIGURE II-63 – Phase Si dans les alliages Al-Si selon la composition. Source: ASM International *Handbook online*, Vol. 9, 2010.

Si la vitesse de solidification est élevée, ou si on ajoute de petites quantités de strontium ou de sodium, le silicium de l'eutectique prend la forme de fines branches, au lieu des plaquettes typiquement formées dans l'alliage coulé normalement. Cette modification de la phase Si (Si modification) augmente les propriétés mécaniques de l'alliage.

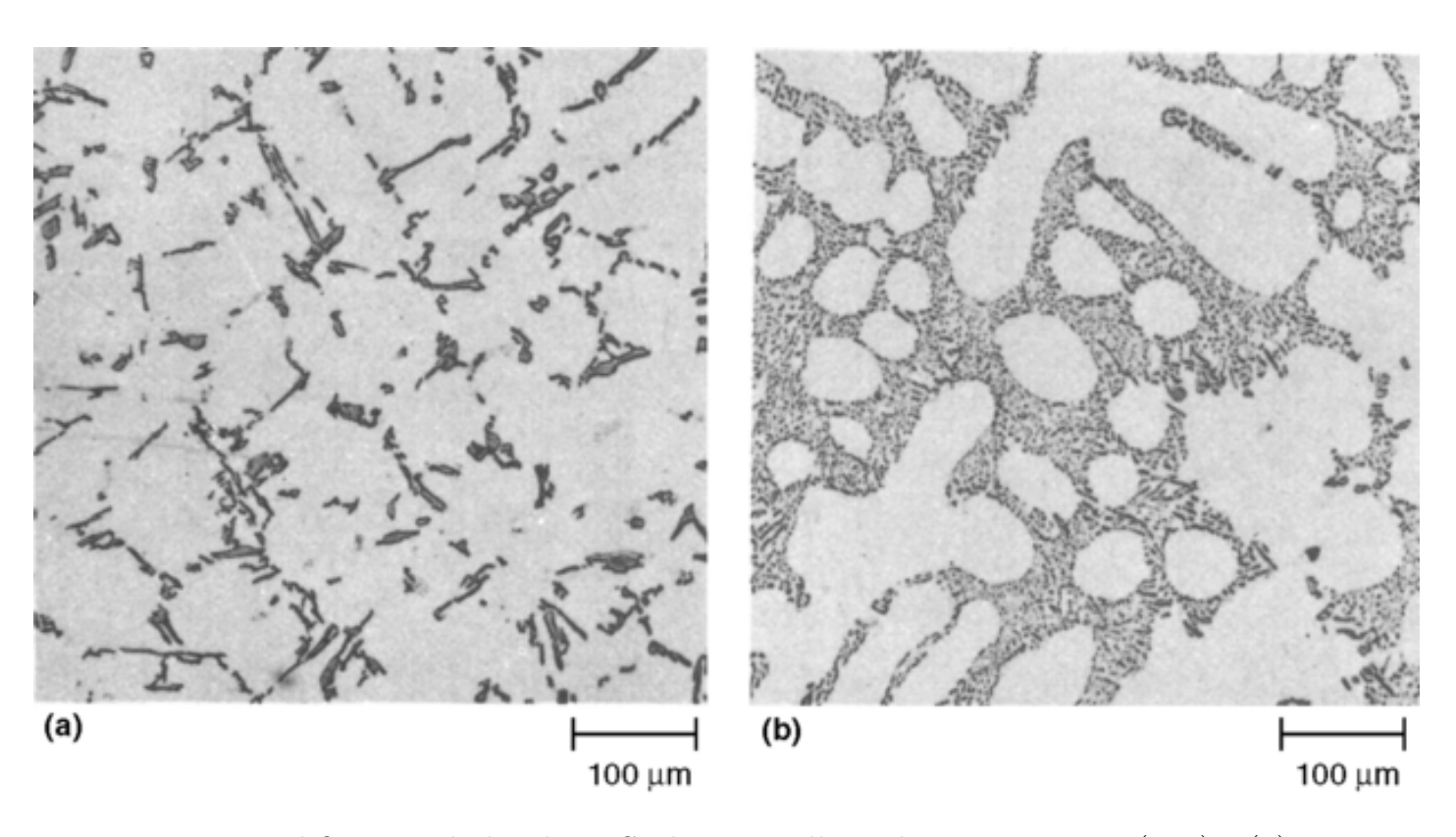


FIGURE II-64 – Modification de la phase Si dans un alliage hypoeutectique (356): (a) sans ajout de sodium; (b) avec ajout de 0.025% pds de sodium. Attaque par 0.5% HF. Source: ASM International *Handbook online*, Vol. 9, 2010.

# **EPFL** Un panorama d'ensemble des alliages de l'aluminium

La désignation internationale des alliages d'aluminium utilise des chiffres:

- 4 chiffres pour les *alliages corroyés* (wrought alloys)
- 3 chiffres pour les *alliages de fonderie* (cast alloys)

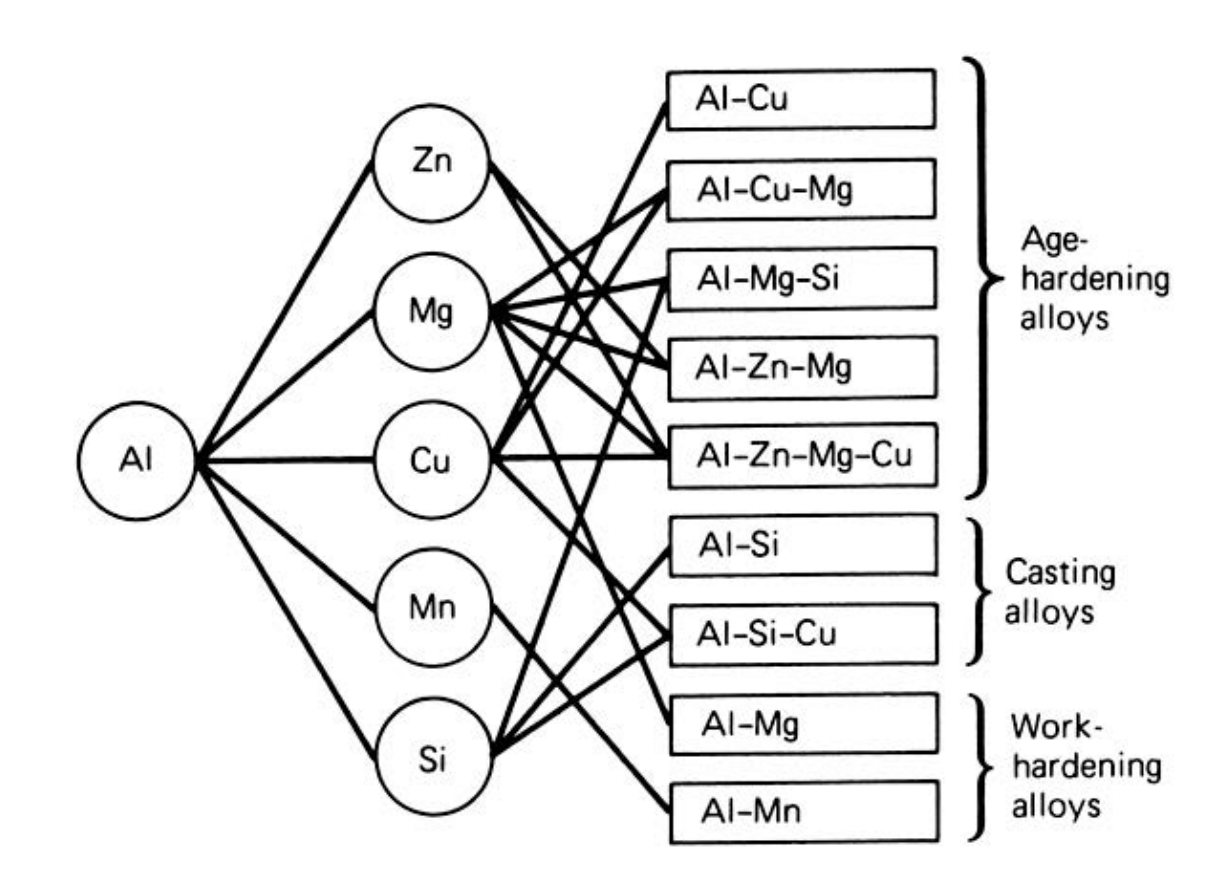


FIGURE II-66 – Les différentes classes d'alliages d'aluminium. Source: ASM International *Handbook online*, Vol. 9, 2011.

## **EPFL** Un panorama d'ensemble des alliages de l'aluminium

Le premier chiffre indique la classe ("series"), voulant dire les éléments d'alliage principaux.

Il est facile de mémoriser les classes que l'on peut durcir par durcissement structural, ou "durcissables" ("age hardening alloys") si on se souvient des **trois précipités durcissants stables principaux:** Al<sub>2</sub>Cu, Mg<sub>2</sub>Si et MgZn<sub>2</sub> (mais c'est une simplification de la réalité car bien d'autres précipités durcissants, mixtes Al-Mg-Cu par exemple, existent).

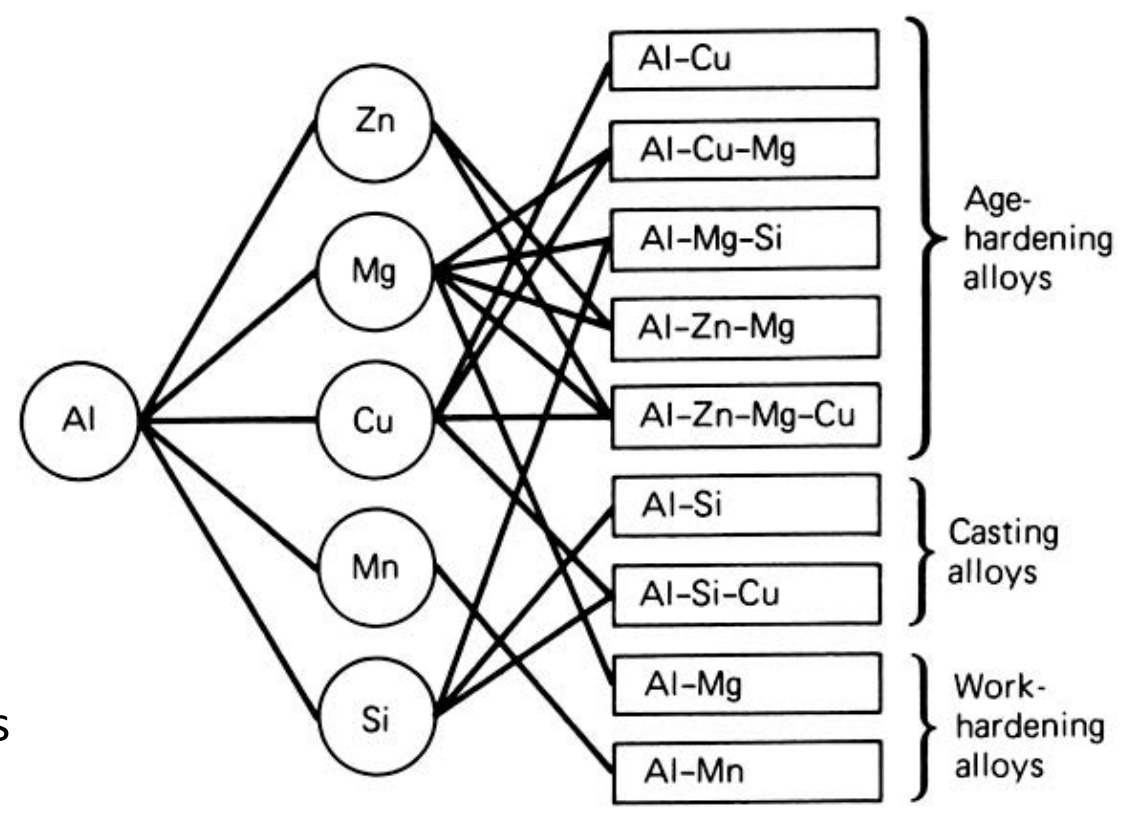


FIGURE II-66 – Les différentes classes d'alliages d'aluminium. Source: ASM International *Handbook online*, Vol. 9, 2011.

# **EPFL** Un panorama d'ensemble des alliages de l'aluminium Alliages de corroyage

1xxx: aluminium non allié, de pureté 99% ou davantage. Dans ce cas les deux derniers chiffres désignent la pureté : 1099 = 99.99% Al pur, 1050 = 99.5% Al pur, 1100 = 4l pureté commerciale.

2xxx : alliages contenant du cuivre comme élément d'alliage principal, souvent aussi du magnésium.

**3xxx** : alliages contenant du manganèse comme élément d'alliage principal, souvent aussi du magnésium.

4xxx : alliages contenant du silicium comme élément d'alliage principal.

5xxx : alliages contenant du magnésium comme élément d'alliage principal.

**6xxx** : alliages contenant du silicium ainsi que du magnésium comme éléments d'alliage principal (et donc formant des précipités de Mg<sub>2</sub>Si).

 ${\bf 7xxx}$ : alliages contenant du zinc comme élément d'alliage principal, avec souvent d'autres éléments, notamment le Mg (pour former du MgZn\_2 et d'autres précipités).

8xxx: tous les autres alliages, par exemple les alliages Al-Li.

# **EPFL** Un panorama d'ensemble des alliages de l'aluminium Alliages de fonderie

1xx.x: aluminium non allié, de pureté 99% ou davantage. Ici aussi, les deux derniers chiffres désignent la pureté : 150 = 99.50% Al pur.

2xx.x : alliages contenant du cuivre comme élément d'alliage principal, souvent aussi du magnésium.

3xx.x: alliages contenant du silicium, ainsi que du magnésium ou du cuivre comme éléments d'alliage principal (et donc formant du  $Mg_2Si$ , ou d'autres précipités pour durcissement structural).

4xx.x: alliages contenant du silicium comme élément d'alliage principal.

5xx.x: alliages contenant du magnésium comme élément d'alliage principal.

6xx.x: non utilisé, sauf en Australie où les 6xx remplace les 3xx.

7xx.x: alliages contenant du zinc comme élément d'alliage principal, et souvent d'autres éléments, notamment le Mg (pour former du MgZn<sub>2</sub>, et d'autres précipités).

8xx.x : alliages contenant de l'étain comme élément d'alliage principal.

9xx.x: tous les autres alliages, par exemple les alliages Al-Li.

Chapitre 3 - Métaux et Alliages - Al & Cu -

# **EPFL** Un panorama d'ensemble des alliages de l'aluminium

En outre des préfixes et suffixes précisent certaines caractéristiques ou (pour les suffixes) le traitement thermique

#### ALUMINIUM ALLOY AND TEMPER DESIGNATION SYSTEMS

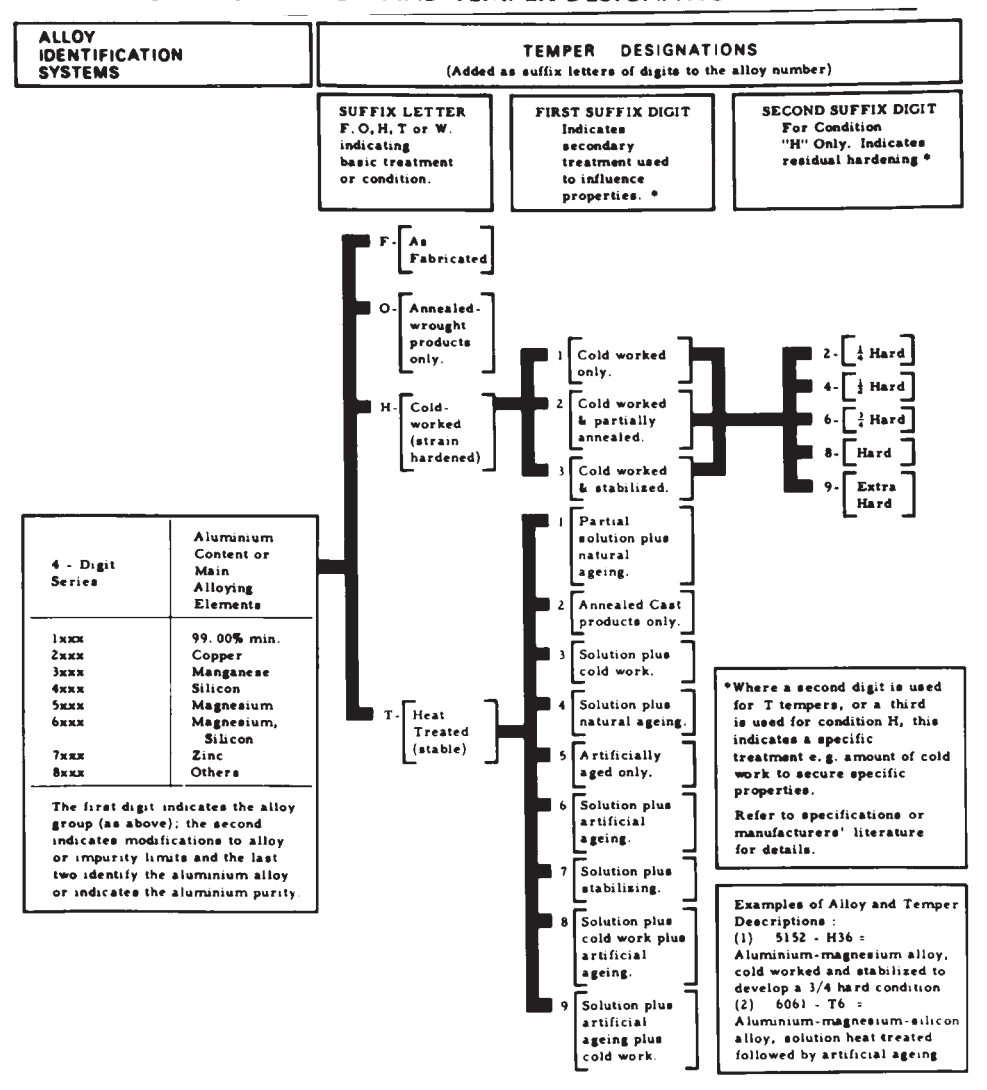


FIGURE II-67 – Nomenclature des alliages d'aluminium.

Source: I.J. Polmear, Light Alloys: from traditional alloys to nanocrystals, Butterworth-Heinemann, 2006; courtesy Institute of Metals and Materials, Australia.

# **EPFL** Un panorama d'ensemble des alliages de l'aluminium

Table 11.4 Yield Strengths of Heat Treatable Alloys

	Typical Composition	$\sigma_{\rm y}$ (MN m $^{-2}$ )			
Alloy Series	(wt%)	Slowly Cooled	Quenched and Aged		
2000	Al + 4 Cu + Mg, Si, Mn	130	465		
6000	Al + 0.5 Mg 0.5 Si	85	210		
7000	AI + 6 Zn + Mg, Cu, Mn	300	570		

**Table 11.5** Yield Strengths of Work Hardened Aluminum Alloys

		$\sigma_{\rm y}$ (MN m $^{-2}$ )			
Alloy Number	Annealed	Half Hard	Hard		
1100	35	115	145		
3005	65	140	185		
5456	140	300	370		

Source: M.F. Ashby & D.R.H. Jones, Engineering Materials Vol. 2, 4<sup>th</sup> Ed., 2006, Elsevier Butterworth.

# **EPFL** Les alliages légers (Al, Mg, Ti)

Table 11.2 Mechanical Properties of Structural Light Alloys

Alloy	Density ρ (Mg m <sup>-3</sup> )	Youngs Modulus E (GN m <sup>-2</sup> )	Yield Strength σ <sub>y</sub> (MN m <sup>-2</sup> )	Ε/ρ	<b>Ε</b> <sup>½</sup> /ρ	<b>Ε</b> <sup>½</sup> /ρ	σ <sub>y</sub> /ρ	Creep Temperature (°C)
Al alloys	2.7	71	25-600	26	3.1	1.5	9-220	150-250
Mg alloys	1.7	45	70-270	25	4.0	2.1	41-160	150-250
Ti alloys	4.5	120	170-1280	27	2.4	1.1	38-280	400-600
(Steels)	(7.9)	(210)	(220—1600)	27	1.8	0.75	28-200	(400—600)

Source: M.F. Ashby & D.R.H. Jones, Engineering Materials Vol. 2, 4<sup>th</sup> Ed., 2006, Elsevier Butterworth.